

Usporedba kompresijske i apsorpcijske dizalice topline na primjeru grijanja obiteljske kuće

Radoš, Ivan

Master's thesis / Diplomski rad

2021

Degree Grantor / Ustanova koja je dodijelila akademski / stručni stupanj: **University of Zagreb, Faculty of Mechanical Engineering and Naval Architecture / Sveučilište u Zagrebu, Fakultet strojarstva i brodogradnje**

Permanent link / Trajna poveznica: <https://urn.nsk.hr/urn:nbn:hr:235:544097>

Rights / Prava: [In copyright/Zaštićeno autorskim pravom.](#)

Download date / Datum preuzimanja: **2024-04-25**

Repository / Repozitorij:

[Repository of Faculty of Mechanical Engineering and Naval Architecture University of Zagreb](#)



SVEUČILIŠTE U ZAGREBU
FAKULTET STROJARSTVA I BRODOGRADNJE

DIPLOMSKI RAD

Ivan Radoš

Zagreb, 2021.

SVEUČILIŠTE U ZAGREBU
FAKULTET STROJARSTVA I BRODOGRADNJE

DIPLOMSKI RAD

Mentor:

Prof. dr.sc. Vladimir Soldo, dipl. ing.

Student:

Ivan Radoš

Zagreb, 2021.

Izjavljujem da sam ovaj rad izradio samostalno koristeći znanja stečena tijekom studija i navedenu literaturu.

Zahvaljujem se prof. dr. sc. Vladimiru Soldo na ukazanom povjerenju za izradu diplomskog rada u njegovom mentorstvu te na svoj pruženoj pomoći i ustupljenom vremenu.

Zahvaljujem se tvrtki Tehnokom d.o.o. na susretljivosti i ustupljenim podacima potrebnim za izradu ovog rada.

Također se zahvaljujem svojoj obitelji i priateljima na podršci i pomoći tijekom studiranja.

Ivan Radoš



SVEUČILIŠTE U ZAGREBU
FAKULTET STROJARSTVA I BRODOGRADNJE



Središnje povjerenstvo za završne i diplomske ispite

Povjerenstvo za diplomske ispite studija strojarstva za smjerove:
procesno-energetski, konstrukcijski, brodostrojarski i inženjersko modeliranje i računalne simulacije

| | |
|--|----------------------------|
| Sveučilište u Zagrebu Fakultet strojarstva i brodogradnje | |
| Datum: | Prilog: |
| Klasa: 602 - 04 / 21 - 6 / 1 | Ur. broj: 15 - 1703 - 20 - |

DIPLOMSKI ZADATAK

Student:

Ivan Radoš

Mat. br.: 0035195812

Naslov rada na hrvatskom jeziku:

Usporedba kompresijske i apsorpcijske dizalice topline na primjeru grijanja obiteljske kuće

Naslov rada na engleskom jeziku:

Comparison of compression and absorption heat pump for heating of family house

Opis zadatka:

Dizalice topline već su desetljećima u razvijenom svijetu prepoznate kao visokoučinkovita tehnologija u proizvodnji rashladne i toplinske energije. S obzirom na toplinske spremnike dizalice topline dijele se na izvedbe: voda-voda, tlo-voda, zrak-voda, zrak-zrak. Prema principu rada najčešće su u primjeni kompresijske i apsorpcijske dizalice topline.

Za obiteljsku kuću na području grada Zagreba korisne površine 220 m² potrebno je projektirati sustav grijanja i hlađenja dizalicom topline zrak-voda, kompresijske i apsorpcijske izvedbe.

Za ogrjevno/rashladna tijela po prostorijama koristiti ventilokonvektore. Projektom je potrebno predvidjeti rad dizalice topline u rashladno-ogrjevnem načinu rada. Temperaturni režim grijanja iznosi 45/40 °C. Dizalica topline pokriva sve potrebe ptereočlane obitelji za potrošnom topлом vodom.

Rad treba sadržavati:

1. Osnovne principe rada apsorpcijskih dizalica topline.
2. Izračun toplinskog i rashladnog opterećenja obiteljske kuće.
3. Dimenzioniranje komponenti dizalice topline, izmjenjivača topline, cjevovoda, akumulacijskih spremnika i cirkulacijskih pumpi.
4. Tehnoekonomsku i energetsku analizu primjene kompresijske i apsorpcijske dizalice topline u režimu grijanja i hlađenja.
5. Hidrauličku shemu spajanja sustava s dizalicom topline.
6. Dispozicijski crtež apsorpcijske dizalice topline.

U radu je potrebno navesti korištenu literaturu i eventualno dobivenu pomoć.

Zadatak zadan:

12. studenoga 2020.

Datum predaje rada:

14. siječnja 2021.

Predviđeni datum obrane:

18. – 22. siječnja 2021.

Zadatak zadao:

V Soldo

Prof. dr. sc. Vladimir Soldo

Predsjednica Povjerenstva:

T. Jurčević Lulić

Prof. dr. sc. Tanja Jurčević Lulić

Sadržaj

| | |
|---|-----|
| Popis slika | IV |
| Popis tablica | VI |
| Popis oznaka | VII |
| SAŽETAK | 1 |
| SUMMARY | 2 |
| 1. UVOD | 3 |
| 1.1. Općenito o dizalicama topline | 3 |
| 1.2. Apsorpcijske dizalice topline | 3 |
| 1.2.1. Apsorpcijska dizalica topline zrak-voda | 7 |
| 2. PRORAČUN TOPLINSKOG OPTEREĆENJA | 10 |
| 2.1. Opis građevine | 10 |
| 2.2. Projektni toplinski gubici [4] | 12 |
| 2.2.1. Projektni transmisijski gubici | 12 |
| 2.2.2. Projektni ventilacijski gubici | 14 |
| 2.2.3. Gubici zbog prekida grijanja | 15 |
| 2.3. Postavke i rezultati proračuna | 16 |
| 3. PRORAČUN RASHLADNOG OPTEREĆENJA [6] | 19 |
| 3.1. Unutarnji izvori topline | 19 |
| 3.2. Vanjski izvori topline | 20 |
| 3.3. Postavke i rezultati proračuna | 21 |
| 4. PRORAČUN POTREBNE ENERGIJE ZA ZAGRIJAVANJE PTV-a | 22 |
| 5. DIMENZIONIRANJE KOMPONENTI DIZALICE TOPLINE | 23 |
| 5.1. Kompresijska dizalica topline zrak-voda | 23 |

| | |
|--|----|
| 5.2. Apsorpcijska dizalica topline zrak-voda | 27 |
| 6. PRORAČUN GODIŠNJE POTREBNE TOPLINSKE ENERGIJE ZA GRIJANJE I HLAĐENJE..... | 35 |
| 6.1. Godišnja potrebna toplinska energija za grijanje [11] | 35 |
| 6.1.1. Izmijenjena toplinska energija transmisijom | 36 |
| 6.1.2. Potrebna toplinska energija za ventilaciju | 37 |
| 6.1.3. Ukupni toplinski dobici..... | 39 |
| 6.2. Rezultati proračuna potrebne toplinske energije za grijanje | 41 |
| 6.3. Godišnja potrebna toplinska energija za hlađenje..... | 45 |
| 7. DIMENZIONIRANJE KOMPONENTI APSORPCIJSKE DIZALICE TOPLINE | 48 |
| 7.1. Kondenzator | 48 |
| 7.1.1. Proračun zone I | 53 |
| 7.1.2. Proračun zone II..... | 55 |
| 7.1.3. Proračun pada tlaka..... | 59 |
| 7.2. Isparivač | 59 |
| 7.2.1. Prijelaz topline na strani radne tvari | 62 |
| 7.2.2. Prijelaz topline na strani zraka..... | 63 |
| 7.2.3. Proračun pada tlaka..... | 70 |
| 7.3. Spremnik ogrjevne vode..... | 71 |
| 7.4. Spremnik PTV-a..... | 72 |
| 7.5. Cjevovodi dizalice topline (krug radne tvari) | 73 |
| 7.6. Cjevovod kruga ogrjevne vode | 75 |
| 7.6.1. Spremnik ogrjevne vode – razdjelnik dizalice topline..... | 76 |
| 7.6.2. Razdjelnik dizalice topline – kondenzator | 76 |
| 7.6.3. Razdjelnik dizalice topline –apsorber..... | 77 |

| | | |
|------|--|----|
| 7.7. | Cirkulacijska pumpa ogrjevne vode..... | 78 |
| 7.8. | Solucijska pumpa | 80 |
| 7.9. | Opis sustava..... | 81 |
| 8. | TEHNOEKONOMSKA I ENERGIJSKA ANALIZA PRIMJENE KOMPRESIJSKE I APSORPCIJSKE DIZALICE TOPLINE U REŽIMU GRIJANJA I HLAĐENJA | 83 |
| 9. | POPIS MATERIJALA..... | 90 |
| 10. | ZAKLJUČAK | 92 |
| | Literatura..... | 93 |
| | Prilozi | 96 |

Popis slika

| | |
|---|----|
| Slika 1. Shema jednostupanjskog apsorpcijskog uređaja [2] | 4 |
| Slika 2. Shema apsorpcijskog uređaja s ugrađenim međuizmjenjivačem [2] | 5 |
| Slika 3. Shema dvostupanjskog apsorpcijskog uređaja – paralelna izvedba [2] | 6 |
| Slika 4. Shema dvostupanjskog apsorpcijskog uređaja - serijska izvedba [2] | 6 |
| Slika 5. Termodinamički ciklus plinske apsorpcijske dizalice topline zrak-voda [3] | 7 |
| Slika 6. Ovisnost učinka grijanja plinske apsorpcijske dizalice topline zrak-voda o temperaturi vanjskog zraka [3] | 8 |
| Slika 7. Tlocrt podruma | 10 |
| Slika 8. Tlocrt prizemlja | 11 |
| Slika 9. Tlocrt kata..... | 11 |
| Slika 10. Temperaturni režim na isparivaču | 24 |
| Slika 11. Temperaturni režim na kondenzatoru | 24 |
| Slika 12. T-s dijagram procesa..... | 25 |
| Slika 13. log(p)-h dijagram procesa..... | 26 |
| Slika 14. Pojednostavljena shema apsorpcijske dizalice topline | 27 |
| Slika 15. Jednadžbe bilance mase i energije (računalni program "EES") | 29 |
| Slika 16. Ovisnost toplinskog učina apsorpcijske dizalice topline o temperaturi generatora i temperaturi polaza ogrjevnog medija..... | 30 |
| Slika 17. Ovisnost toplinskog odnosa apsorpcijske dizalice topline o temperaturi generatora i temperaturi polaza ogrjevnog medija..... | 31 |
| Slika 18. Ovisnost toplinskog učina apsorpcijske dizalice topline o temperaturi vanjskog zraka i temperaturi polaza ogrjevnog medija..... | 32 |
| Slika 19. Ovisnost toplinskog učina apsorpcijske dizalice topline o temperaturi vanjskog zraka i temperaturi polaza ogrjevnog medija..... | 32 |
| Slika 20. Usporedba toplinskog odnosa dobivenog proračunom i toplinskog odnosa preuzetog iz kataloga proizvođača „Robur“ | 33 |
| Slika 21. Usporedba toplinskog učina dobivenog proračunom i toplinskog učina preuzetog iz kataloga proizvođača „Robur“ | 34 |
| Slika 22. Transmisijski toplinski gubici za karakteristični dan mjeseca siječnja | 42 |

| | |
|--|----|
| Slika 23. Izmjenjena toplina s tlom i koeficijent transmisijskih gubitaka prema tlu za mjesec siječanj | 42 |
| Slika 24. Ventilacijski toplinski gubici za karakteristični dan mjeseca siječnja..... | 43 |
| Slika 25. Solarni toplinski dobici za karakteristični dan mjeseca siječnja | 43 |
| Slika 26. Unutarnji toplinski dobici za mjesec siječanj | 44 |
| Slika 27. Transmisijski toplinski gubici za karakteristični dan mjeseca srpnja..... | 45 |
| Slika 28. Izmjenjena toplina s tlom i koeficijent transmisijskih gubitaka prema tlu za mjesec srpanj..... | 46 |
| Slika 29. Ventilacijski toplinski gubici za karakteristični dan mjeseca srpnja | 46 |
| Slika 30. Solarni toplinski dobici za karakteristični dan mjeseca srpnja..... | 46 |
| Slika 31. Unutarnji toplinski dobici za mjesec srpanj..... | 47 |
| Slika 32. Kondenzator "shell and tube" [12] | 48 |
| Slika 33. Temperaturni režim na kondenzatoru apsorpcijske dizalice topline | 49 |
| Slika 34. 3D prikaz kondenzatora (računalni program "SolidWorks") | 58 |
| Slika 35. Prikaz konstrukcijskih parametara lamelnog isparivača [16] | 60 |
| Slika 36. 3D prikaz isparivača (računalni program "SolidWorks")..... | 71 |
| Slika 37. Spremnik "Centrometal CAS 501" | 72 |
| Slika 38. Spremnik "Centrometal TB 120"..... | 73 |
| Slika 39. Cirkulacijska pumpa „Grundfos MAGNA3 25-60“ [20] | 79 |
| Slika 40. Karakteristika cirkulacijske pumpe "Grundfos MAGNA3 25-60" [20] | 80 |
| Slika 41. Solucijska pumpa "Lowara 1SV" [21] | 80 |
| Slika 42. 3D prikaz sklopa dizalice topline (računalni program „SolidWorks“)..... | 81 |
| Slika 43. Toplinska energija na izlazu iz podsustava proizvodnje bez uračunatih gubitaka | 83 |
| Slika 44. Potrebna električna energija za pogon kompresijske dizalice topline u sezoni grijanja | 84 |
| Slika 45. Sezonska učinkovitost kompresijske dizalice topline i proizvedena obnovljiva energija | 84 |
| Slika 46. Usporedba godišnjih pogonskih troškova kompresijske i apsorpcijske dizalice topline | 87 |
| Slika 47. Usporedba troškova kompresijske i apsorpcijske dizalice topline za razdoblje od 15 godina..... | 89 |

Popis tablica

| | |
|--|----|
| Tablica 1. Korekcijski faktor f_{RH} za stambene zgrade, noćni prekid maksimalno 8h | 15 |
| Tablica 2. Koeficijenti prolaza topline [5] | 16 |
| Tablica 3. Unutarnje projektne temperature prostorija [4] | 17 |
| Tablica 4. Parametri korišteni pri proračunu ventilacijskih toplinskih gubitaka [4] | 17 |
| Tablica 5. Projektni toplinski gubici za obiteljsku kuću | 17 |
| Tablica 6. Projektni toplinski dobici za obiteljsku kuću | 21 |
| Tablica 7. Radne točke kružnog procesa kompresijske dizalice topline | 25 |
| Tablica 8. Radne točke kružnog procesa apsorpcijske dizalice topline | 29 |
| Tablica 9. Iznosi toplinskih učina komponenti apsorpcijske dizalice topline | 30 |
| Tablica 10. Proračunske vrijednosti n_{50} za netestirane zgrade | 38 |
| Tablica 11. Broj dana i sati u mjesecu | 39 |
| Tablica 12. Srednje mjesечne temperature zraka (klimatska postaja Zagreb-Maksimir) | 41 |
| Tablica 13. Potrebna toplinska energija za grijanje | 44 |
| Tablica 14. Potrebna toplinska energija za hlađenje | 47 |
| Tablica 15. Dimenzije cjevovoda u krugu apsorber-pumpa-generator-apSORBER | 74 |
| Tablica 16. Dimenzije cjevovoda u krugu generator-kondenzator-isparivač-apSorber | 75 |
| Tablica 17. Proračun pada tlaka u cjevovodu ogrjevne vode | 79 |
| Tablica 18. Cijena električne energije | 85 |
| Tablica 19. Cijena plina | 85 |
| Tablica 20. Godišnja potrošnja energije kompresijske dizalice topline po mjesecima | 86 |
| Tablica 21. Godišnja potrošnja energije plinske apsorpcijske dizalice topline po mjesecima | 86 |
| Tablica 22. Troškovnik plinske apsorpcijske dizalice topline "Robur GAHP-AR" [24] | 87 |
| Tablica 23. Troškovnik reverzibilne dizalice topline zrak/voda "Viessmann ENERGYCAL 27" [25] | 88 |
| Tablica 24. Ostali troškovi | 88 |
| Tablica 25. Usporedba troškova kompresijske i apsorpcijske dizalice topline | 89 |

Popis oznaka

| Oznaka | Jedinica | Opis |
|------------------|----------------------|--|
| ξ_{hl} | [-] | rashladni odnos |
| ξ_{gr} | [-] | toplinski odnos |
| Φ_i | [W] | projektni toplinski gubici prostorije |
| $\Phi_{T,i}$ | [W] | projektni transmisijski gubici topline prostorije |
| $\Phi_{V,i}$ | [W] | projektni ventilacijski gubici topline prostorije |
| $H_{T,ie}$ | [W/K] | koeficijent transmisijskog gubitka od grijanog prostora prema vanjskom okolišu |
| $H_{T,iue}$ | [W/K] | koeficijent transmisijskog gubitka od grijanog prostora kroz negrijani prostor prema vanjskom okolišu |
| $H_{T,ig}$ | [W/K] | stacionarni koeficijent transmisijskog gubitka od grijanog prostora prema tlu |
| $H_{T,ij}$ | [W/K] | koeficijent transmisijskog gubitka od grijanog prostora prema susjednom grijanom prostoru različite temperature |
| $\theta_{int,i}$ | [°C] | unutarnja projektna temperatura grijanog prostora |
| θ_e | [°C] | vanska projektna temperatura |
| A_k | [m ²] | površina plohe „k“ kroz koju prolazi toplina |
| U_k | [W/m ² K] | koeficijent prolaza topline elementa građevine „k“ |
| l_l | [m] | dužina linjskog toplinskog mosta između vanjskog okoliša i prostorije |
| b_u | [-] | faktor smanjenja temperaturne razlike koji uzima u obzir temperaturu negrijanog prostora i vanskiju projektnu temperaturu |
| θ_u | [°C] | temperatura negrijanog prostora |
| f_{g1} | [-] | korekcijski faktor za utjecaj godišnje oscilacije vanske temperature |
| f_{g2} | [-] | faktor smanjenja temperaturne razlike koji uzima u obzir razliku između godišnje srednje vanske i vanske projektne temperature |
| $U_{equiv,k}$ | [W/m ² K] | ekvivalentni koeficijent prolaza topline prema tipologiji poda |
| G_w | [-] | korekcijski faktor za utjecaj podzemne vode |

| | | |
|------------------|------------------------|--|
| f_{ij} | [-] | faktor smanjenja temperaturne razlike koji uzima u obzir razliku između temperature susjednog prostora i vanjske projektne temperature |
| $H_{V,i}$ | [W/K] | koeficijent ventilacijskih toplinskih gubitaka |
| V_i | [m ³ /h] | protok zraka u grijani prostor |
| ρ | [kg/m ³] | gustoća |
| c_p | [J/(kgK)] | specifični toplinski kapacitet |
| $V_{inf,i}$ | [m ³ /h] | maksimalni protok zraka u prostoriju uslijed infiltracije kroz zazore |
| $V_{min,i}$ | [m ³ /h] | minimalni higijenski protok zraka |
| n_{min} | [h ⁻¹] | minimalni broj izmjena zraka |
| V_{int} | [m ³] | volumen prostorije |
| n_{50} | [-] | broj izmjena zraka u prostoriji pri razlici tlaka od 50 Pa između prostorije i vanjskog okoliša |
| e_i | [-] | koeficijent zaštićenosti |
| ε_i | [-] | korekcijski faktor za visinu |
| $V_{su,i}$ | [m ³ /h] | količina zraka dovođena mehaničkim sustavom ventilacije |
| $V_{mech,inf,i}$ | [m ³ /h] | višak odvedenog zraka iz prostorije |
| $f_{V,i}$ | [-] | faktor smanjenja temperaturne razlike |
| $\Theta_{su,i}$ | [°C] | temperatura dobavnog zraka |
| Φ_{RH} | [W] | potrebni toplinski tok zbog prekida grijanja |
| A_i | [m ²] | površina poda grijanog prostora |
| f_{RH} | [-] | korekcijski faktor ovisan o vremenu zagrijavanja i pretpostavljenom padu temperature za vrijeme prekida grijanja |
| ΔU_{TM} | [W/(m ² K)] | dodatak za toplinske mostove |
| \dot{Q}_I | [W] | toplinski tok unutarnjih izvora topline |
| \dot{Q}_P | [W] | toplinski tok koji odaju ljudi |
| \dot{Q}_M | [W] | toplinski tok koji odaju različiti električni uređaji |
| \dot{Q}_B | [W] | toplinski tok od rasvjete |
| q_p | [W] | ukupni toplinski tok koji odaje jedna osoba |

| | | |
|-----------------------|------------------------|--|
| S_i | [-] | koeficijent rashladnog opterećenja za unutarnje dobitke |
| l | [-] | faktor istovremenosti |
| P_j | [W] | snaga uređaja |
| η | [-] | efikasnost uređaja |
| μ_a | [-] | faktor opterećenja uređaja |
| μ_b | [-] | faktor opterećenja od rasvjete |
| \dot{Q}_A | [W] | toplinski tok vanjskih izvora topline |
| \dot{Q}_W | [W] | transmisijski dobici topline kroz vanjske zidove i krovove |
| \dot{Q}_T | [W] | transmisijski dobici topline kroz staklene površine |
| \dot{Q}_S | [W] | dobici topline zračenjem kroz staklene površine |
| $\Delta\theta_{eq}$ | [K] | ekvivalentna temperaturna razlika |
| k_f | [W/(m ² K)] | koeficijent prolaza topline kroz ostakljene površine |
| A_M | [m ²] | ukupna površina otvora |
| A_1 | [m ²] | površina stakla izložena Suncu |
| I_{max} | [W/m ²] | maksimalni iznos ukupnog zračenja za promatrani mjesec |
| $I_{diff,max}$ | [W/m ²] | maksimalni iznos difuznog zračenja za promatrani mjesec |
| b | [-] | faktor propusnosti stakla i naprava za zaštitu od sunčeva zračenja |
| S_a | [-] | koeficijent rashladnog opterećenja |
| Φ_{CL} | [W] | ukupni projektni toplinski dobici |
| φ | [-] | faktor istovremenosti |
| Φ_{PTV} | [kW] | kapacitet izvora topline za pripremu PTV-a |
| Φ_{DT} | [kW] | nazivni toplinski učin dizalice topline |
| Φ_{HL} | [W] | ukupni projektni toplinski gubici |
| Φ_k | [kW] | toplinski učin kondenzatora |
| θ_{isp} | [°C] | temperatura isparavanja |
| $\Delta\theta_{preg}$ | [°C] | temperaturna razlika pregrijanja |
| p_{isp} | | tlak isparavanja |
| $\theta_{w,ul}$ | [°C] | temperatura vode na ulazu u kondenzator (temperatura povrata grijanja) |

| | | |
|-----------------------|--------|---|
| $\theta_{w,izl}$ | [°C] | temperatura vode na izlazu iz kondenzatora (temperatura polaza grijanja) |
| θ_k | [°C] | temperatura kondenzacije |
| $\Delta\theta_{poth}$ | [°C] | temperaturna razlika pothlađenja |
| p_k | [bar] | tlak kondenzacije |
| η_{is} | [-] | izentropski stupanj djelovanja kompresora |
| Φ_{isp} | [kW] | toplinski učin isparivača |
| P_{KOMP} | [kW] | snaga kompresora |
| $q_{m,RT}$ | [kg/s] | maseni protok radne tvari |
| COP | [-] | faktor grijanja |
| Φ_{aps} | [kW] | toplinski učin apsorbera |
| η_P | [-] | stupanj djelovanja pumpe |
| Φ_{gen} | [kW] | toplinski tok doveden generatoru |
| P_P | [kW] | snaga pumpe |
| $Q_{H,nd,cont}$ | [kWh] | potrebna toplinska energija za grijanje pri kontinuiranom radu |
| $Q_{H,ht}$ | [kWh] | ukupno izmijenjena toplinska energija u periodu grijanja |
| $\eta_{H,gn}$ | [-] | faktor iskorištenja toplinskih dobitaka |
| $Q_{H,gn}$ | [kWh] | ukupni toplinski dobici zgrade u periodu grijanja |
| Q_{Tr} | [kWh] | izmijenjena toplinska energija transmisijom za proračunsku zonu |
| Q_{Ve} | [kWh] | potrebna toplinska energija za ventilaciju/klimatizaciju za proračunsku zonu |
| Q_{int} | [kWh] | unutarnji toplinski dobici zgrade |
| Q_{sol} | [kWh] | toplinski dobici od Sunčeva zračenja |
| $\theta_{int,H}$ | [°C] | unutarnja postavna temperatura grijane zone |
| $\theta_{e,m}$ | [°C] | srednja vanjska temperatura za proračunski period |
| t | [h] | trajanje proračunskog razdoblja |
| H_D | [W/K] | koeficijent transmisijске izmjene topline prema vanjskom okolišu |
| H_U | [W/K] | koeficijent transmisijске izmjene topline kroz negrijani/nehlađeni prostor prema vanjskom okolišu |
| H_A | [W/K] | koeficijent transmisijске izmjene topline prema susjednoj zgradi |

| | | |
|----------------------|----------------------|--|
| $H_{g,m}$ | [W/K] | koeficijent transmisijske izmjene topline prema tlu za proračunski mjesec |
| Φ_m | [W] | toplinski tok izmjene topline s tlom za proračunski mjesec |
| $\theta_{int,m}$ | [°C] | unutarnja postavna temperatura za proračunski mjesec |
| $\theta_{e,m}$ | [°C] | srednja vanjska temperatura za proračunski mjesec |
| H_g | [W/K] | stacionarni koeficijent transmisijske izmjene topline prema tlu |
| H_{pi} | [W/K] | unutarnji periodički koeficijent transmisijske izmjene topline |
| H_{pe} | [W/K] | vanjski periodički koeficijent transmisijske izmjene topline |
| $\bar{\theta}_{int}$ | [°C] | srednja godišnja unutarnja temperatura |
| $\bar{\theta}_e$ | [°C] | srednja godišnja vanjska temperatura |
| Q_{Ve} | [kWh] | potrebna toplinska energija za ventilaciju/klimatizaciju zgrade |
| $Q_{Ve,inf}$ | [kWh] | potrebna toplinska energija uslijed infiltracije vanjskog zraka |
| $Q_{Ve,win}$ | [kWh] | potrebna toplinska energija uslijed prozračivanja otvaranjem prozora |
| $Q_{H,Ve,mech}$ | [kWh] | potrebna toplinska energija u GVik sustavu kod zagrijavanja zraka |
| $Q_{H,gn}$ | [kWh] | ukupni toplinski dobici za proračunski period |
| q_{spec} | [W/m ²] | specifični unutarnji dobitak po m ² korisne površine |
| Q_{sol} | [kWh] | toplinski dobici od Sunčeva zračenja |
| $Q_{sol,k}$ | [kWh] | srednja dozračena energija sunčevog zračenja kroz k-ti građevni dio u grijani prostor |
| $Q_{sol,u,l}$ | [kWh] | srednja dozračena energija sunčevog zračenja kroz l-ti građevni dio u susjedni negrijani prostor |
| $b_{tr,l}$ | [-] | faktor smanjenja za susjedni negrijani prostor s unutarnjim toplinskim izvorom |
| $F_{sh,ob}$ | [-] | faktor zasjenjena od vanjskih prepreka direktnom upadu sunčevog zračenja |
| $S_{S,k}$ | [MJ/m ²] | srednja dozračena energija sunčevog zračenja na površinu građevnog dijela k za promatrani period |

| | | |
|------------------|------------------------|---|
| $A_{sol,k}$ | [m ²] | efektivna površina građevnog elementa (otvora, zida) k na koju upada sunčeve zračenje |
| $F_{r,k}$ | [-] | faktor oblika između otvora k i neba |
| $\Phi_{r,k}$ | [kWh] | toplinski tok zračenjem od površine otvora k prema nebu |
| $Q_{C,nd}$ | [kWh] | potrebna toplinska energija za hlađenje |
| $Q_{C,gn}$ | [kWh] | ukupni toplinski dobici zgrade u periodu hlađenja |
| $Q_{C,ht}$ | [kWh] | ukupno izmijenjena toplinska energija u periodu hlađenja |
| $\eta_{C,ls}$ | [-] | faktor iskorištenja toplinskih gubitaka kod hlađenja |
| h | [kJ/kg] | specifična entalpija |
| Φ_{lat} | [kW] | toplinski tok u području kondenzacije |
| D | [m] | promjer plašta |
| d_e | [m] | vanjski promjer cijevi |
| δ_1 | [m] | debljina stijenke cijevi |
| d_i | [m] | unutarnji promjer cijevi |
| s | [m] | razmak između cijevi |
| n_t | [-] | približan broj cijevi koji se može smjestiti u poprečni presjek kondenzatora |
| $\Delta\theta_m$ | [°C] | srednja logaritamska temperaturna razlika |
| n_p | [-] | broj prolaza |
| n_{t1} | [-] | broj cijevi u jednom prolazu |
| w | [m/s] | brzina |
| Re | [-] | Reynolds-ov broj |
| α | [W/(m ² K)] | koeficijent prijelaza topline |
| λ | [W/(mK)] | toplinska vodljivost |
| k | [W/(m ² K)] | koeficijent prolaza topline |
| μ | [Pas] | dinamička viskoznost |
| ν | [m ² /s] | kinematička viskoznost |
| $q_{e,tr}$ | [W/m ²] | transformirana specifična gustoća toplinskog toka |
| L | [m] | aktivna duljina cijevi kondenzatora |
| A_s | [m ²] | uzdužni presjek između cijevi kondenzatora |

| | | |
|---------------|---------------------|--|
| q_v | [m ³ /s] | volumni protok |
| Pr | [-] | Prandtl-ov broj |
| Nu | [-] | Nusselt-ov broj |
| Δp | [Pa] | pad tlaka |
| ξ | [-] | faktor linijskog otpora cijevi |
| s_1 | [m] | vertikalni razmak cijevi isparivača |
| s_2 | [m] | horizontalni razmak cijevi isparivača |
| s_f | [m] | razmak između lamela isparivača |
| f_t | [m] | debljina lamela isparivača |
| i_r | [-] | broj redova cijevi isparivača |
| i_t | [-] | broj cijevi u jednom redu |
| i_{in} | [-] | broj ulaznih cijevi isparivača |
| A_{mt} | [m ² /m] | površina na vanjskoj stijenci cijevi između rebara |
| A_f | [m ² /m] | površina rebra po metru cijevi |
| A_{e1} | [m ² /m] | vanjska površina prijelaza topline za 1m cijevi |
| A_{i1} | [m ² /m] | unutarnja površina prijelaza topline za 1m cijevi |
| β | [-] | omjer vanjske i unutarnje površine prijelaza topline |
| x | [kg/kg] | sadržaj vlage zraka |
| d_m | [m] | srednji promjer cijevi |
| d_{ekv} | [m] | ekvivalentni promjer |
| E | [-] | učinkovitost rebra |
| h_f | [m] | izvedena visina rebra |
| V_{spr} | [l] | volumen spremnika |
| $d_{u,potr.}$ | [m] | potrebni promjer cijevi |

SAŽETAK

U ovom diplomskom radu napravljena je usporedba kompresijske i apsorpcijske dizalice topline zrak-voda na primjeru grijanja obiteljske kuće.

Najprije je za obiteljsku kuću na području grada Zagreba, korisne površine cca. 220 m^2 izračunato toplinsko opterećenje prema normi HRN EN 12831 te rashladno opterećenje prema VDI 2078. Također je napravljen proračun potrebne energije za zagrijavanje potrošne tople vode. Na temelju izračunatog opterećenja postavljeni su procesi kompresijske i apsorpcijske dizalice topline, a detaljnije je analiziran apsorpcijski ciklus. Zatim je proveden proračun potrebne godišnje energije za grijanje i hlađenje prema Algoritmu HRN EN ISO 13790. Dimenzionirane su komponente apsorpcijske dizalice topline zrak-voda, a dimenzioniranje obuhvaća termodinamički proračun isparivača i kondenzatora, proračun cjevovoda, akumulacijskih spremnika i cirkulacijskih pumpi.

Na kraju je napravljena teehnoekonomksa i energijska analiza dva spomenuta sustava.

Ključne riječi: dizalica topline zrak-voda, apsorpcijska dizalica topline, kompresijska dizalica topline, dimenzioniranje sustava, teehnoekonomksa analiza

SUMMARY

This thesis covers a comparsion of compression and absorption air to water heat pump on the example of heating a family house.

First, for a family house located in Zagreb, usable area approx. 220 m², the calculation of thermal load according to HRN EN 12831 and the calculation of cooling load according to VDI 2078 is carried out. Also, the calculation of the energy required to heat domestic hot water is carried out. Based on the calculated heat load, the processes of compression and absorption pumps are set, and the absorption cycle is analyzed in more detail. Then, the annual required thermal energy for heating and cooling of the family house is calculated according to Algorith, HRN EN ISO 13790. The sizing of the components of the air to water absorption heat pumpi s made. It includes the thermodynamic calculation of evaporator and condenser, pipelines, storage tanks and cirkulation pumps sizing.

Finally, a techno-economic and energy analysis of the two mentioned systems is made.

Key words: air to water heat pump, absorption heat pump, compression heat pump, system sizing, techno-economic analysis

1. UVOD

1.1. Općenito o dizalicama topline

Dizalice topline su uređaji koji omogućuju prijenos toplinske energije iz sustava niže temperaturne razine na sustav više temperaturne razine korištenjem dodatne energije (rada), a rade na principu ljevokretnog kružnog procesa. Za odvijanje procesa, uz dodatnu dovedenu energiju, potrebna su dva spremnika: niskotemperaturni, kojem se topline odvodi (toplinski izvor) i visokotemperaturni, kojem se toplina dovodi (toplinski ponor). Kao izvor topline mogu se koristiti različiti obnovljivi izvori energije, npr. zrak, tlo, površinske i podzemne vode, itd. Prostor ili medij kojemu se toplina dovodi naziva se toplinski ponor, a to je najčešće zrak u prostoriji, ogrjevna voda, potrošna topla voda i sl. Prijenosu topline između toplinskih spremnika posreduje radna tvar.

Zbog spomenutog svojstva da prenesu toplinsku energiju iz sustava niže u sustav više temperaturne razine, dizalice topline mogu se koristiti i za grijanje i za hlađenje. Primjenjuju se u sustavima svih veličina, od najmanjih, npr. za grijanje i hlađenje stanova, pa sve do sustava daljinskog grijanja. Uglavnom se koriste za niskotemperaturne sustave grijanja s temperaturom polaznog voda do 55°C , ali moguća je primjena i u visokotemperaturnom režimu. [1]

U ovisnosti o vrsti dodatne energije potrebne za ostvarivanje kružnog procesa, dizalice topline mogu se podijeliti na:

- kompresijske – kružni proces se ostvaruje dovođenjem mehaničkog rada;
- apsorpcijske – kružni proces se ostvaruje dovođenjem toplinske energije.

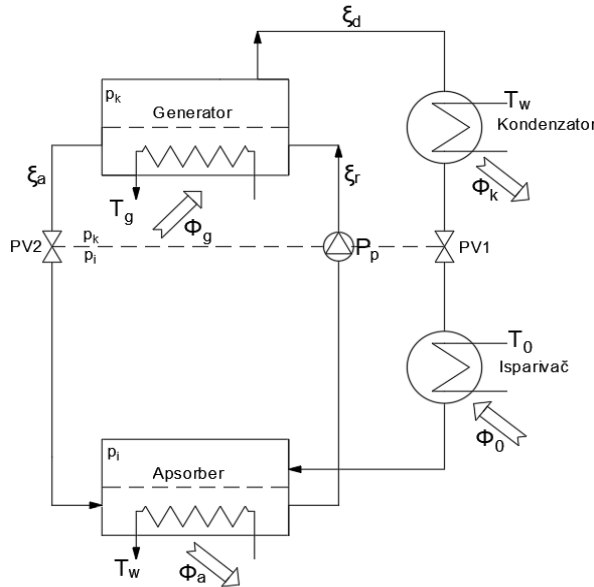
1.2. Apsorpcijske dizalice topline

Apsorpcijske dizalice topline čine savršenu mješavinu između dvije značajne tehnologije za grijanje: kondenzacijski kotlovi i kompresijske dizalice topline. Za razliku od kompresijskih dizalica za čiji pogon je potreban kompresor (električna energija), za pogon apsorpcijskih dizalica topline koristi se toplinska energija. Apsorpcijski uređaji koriste tzv. termički kompresor, koji se sastoji od generatora i apsorbera, a proces u njemu se može opisati u tri glavne faze:

1. spontana reakcija apsorpcije – para radne tvari se apsorbira u kapljevinu pri niskom tlaku
2. pumpa podiže tlak kapljevite otopine

3. otopina visokog tlaka zagrijava se u generatoru do točke isparavanja radne tvari

Kao prijenosnik energije u apsorpcijskim uređajima najčešće se koriste smjese amonijaka i vode ($\text{NH}_3/\text{H}_2\text{O}$) te litij-bromida i vode ($\text{LiBr}/\text{H}_2\text{O}$).



Slika 1. Shema jednostupanjskog apsorpcijskog uređaja [2]

Energetska bilanca apsorpcijske dizalice topline prikazana je sljedećim izrazom:

$$\Phi_g + \Phi_0 + P_p = \Phi_k + \Phi_a \quad (1)$$

Φ_g – toplinski tok doveden generatoru [W]

Φ_0 – toplinski tok na isparivaču [W]

P_p – snaga cirkulacijske pumpe [W]

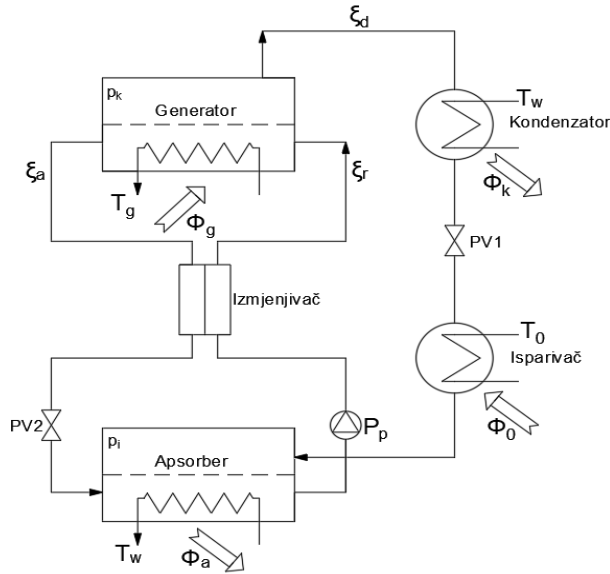
Φ_k – toplinski tok na kondenzatoru [W]

Φ_a – toplinski tok oslobođen apsorpcijom [W]

Dovođenjem topline zagrijava se otopina u generatoru te iz nje isparava radna tvar, koja zatim odlazi u kondenzator, gdje predaje toplinu ogrjevnom mediju. Prolaskom kroz prigušni ventil tlak se radnoj tvari reducira na tlak isparavanja te ona nakon prolaska kroz isparivač odlazi u apsorber. Isparavanjem radne tvari iz otopine na početku procesa snižava se koncentracija radne tvari u otopini te ona sa smanjenom koncentracijom, nakon prolaska kroz prigušni ventil, odlazi u apsorber, gdje se obogaćuje apsorbirajući radnu tvar koja je nakon prolaska kroz isparivač ušla u

apsorber. Ovaj proces detaljnije će biti opisan u nastavku na primjeru apsorpcijske dizalice topline zrak-voda.

Kako bi se povećala učinkovitost procesa, često se ugrađuje dodatni izmjenjivač topline između generatora i apsorbera, a njegova uloga je da se otopina visoke koncentracije na izlazu iz apsorbera zagrije pomoću otopine niske koncentracije na izlazu iz generatora, koja se pritom hlađi.



Slika 2. Shema apsorpcijskog uređaja s ugrađenim međuizmjenjivačem [2]

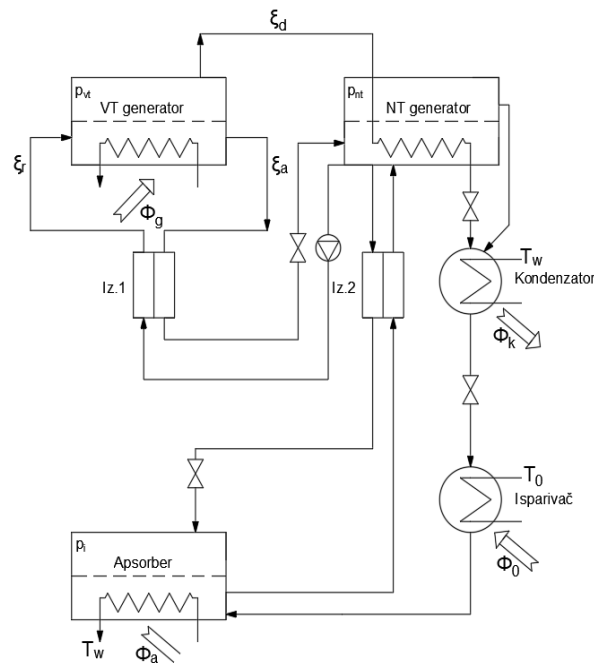
Rashladni odnos jednostupanjske apsorpcijske dizalice topline definiran je izrazom:

$$\xi_{hl} = \frac{\Phi_0}{\Phi_g + P_p} \approx 0,5 - 0,8 \quad (2)$$

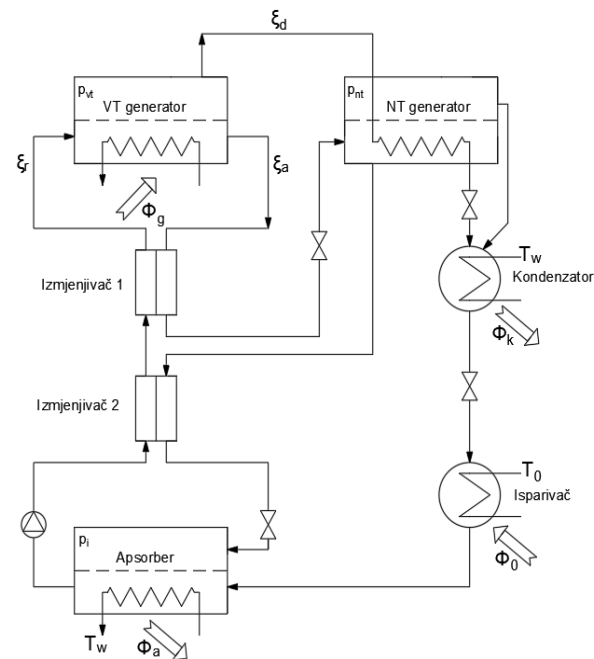
Toplinski odnos jednostupanjske apsorpcijske dizalice topline definiran je izrazom:

$$\xi_{gr} = \frac{\Phi_a + \Phi_k}{\Phi_g + P_p} \approx 1,2 - 1,5 \quad (3)$$

Osim jednostupanjskih u praksi se primjenjuju i dvostupanjski apsorpcijski uređaji. Njihov princip rada je isti kao kod jednostupanjskih. Umjesto jednog generatora, dvostupanjski uređaji se sastoje od visoko i niskotemperaturnog generatora te visoko i niskotemperaturnog izmjenjivača topline. Mogu biti serijske ili paralelne izvedbe, a u praksi se češće primjenjuje serijska izvedba.



Slika 3. Shema dvostupanjskog apsorpcijskog uređaja – paralelna izvedba [2]



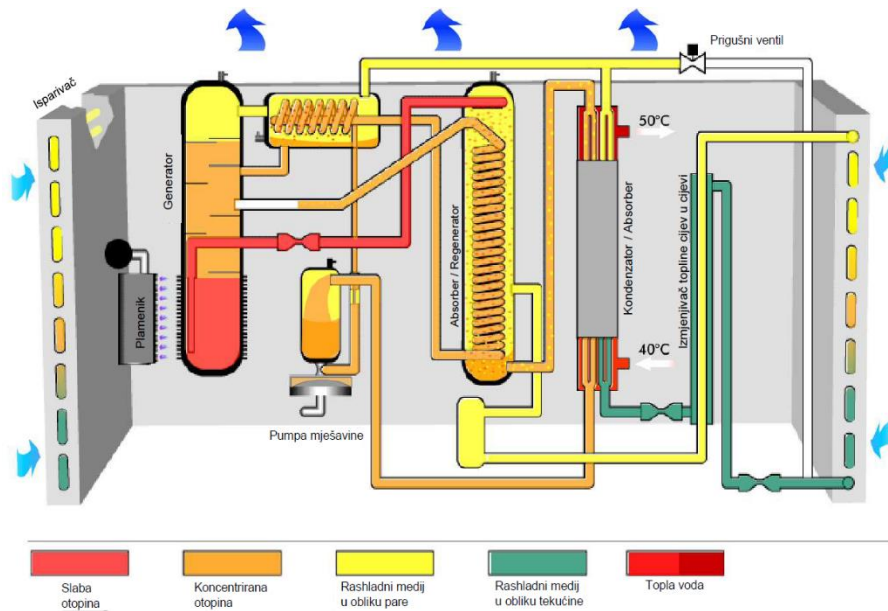
Slika 4. Shema dvostupanjskog apsorpcijskog uređaja - serijska izvedba [2]

Neke od glavnih prednosti apsorpcijskih dizalica topline su:

- niska potrošnja električne energije (oko 10% potrošnje električne energije u odnosu na kompresijske dizalice topline)
- koriste se voda i amonijak kao prirodna radna tvar ($GWP=0$; $ODP=0$)
- smanjena emisija CO_2 , NO_x i ostalih polutanata
- odlična integracija s postojećim instalacijama
- kompletno zavarena konstrukcija koja ne zahtijeva održavanje
- malo pokretnih dijelova
- korištenje obnovljivih izvora energije u udjelu do 40%

1.2.1. Apsorpcijska dizalica topline zrak-voda

Tijek apsorpcijskog ciklusa detaljnije je pojašnjen na primjeru rada plinske apsorpcijske dizalice topline zrak-voda u režimu grijanja, koja za radnu tvar koristi otopinu vode i amonijaka. Shema uređaja prikazana je na slici.



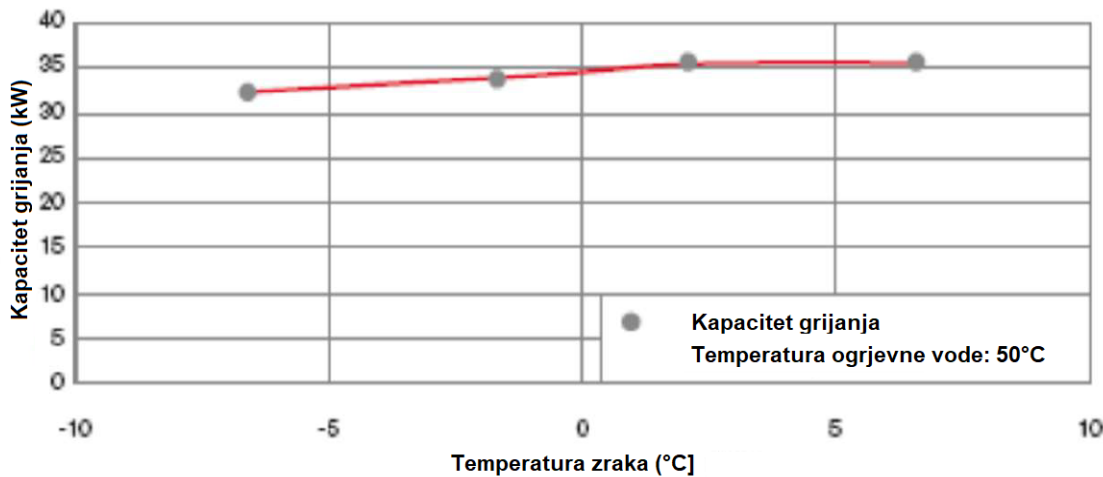
Slika 5. Termodinamički ciklus plinske apsorpcijske dizalice topline zrak-voda [3]

Na početku procesa u generatoru se nalazi otopina vode i amonijaka s visokom koncentracijom amonijaka. Izgaranjem prirodnog plina otopina u generatoru se zagrijava do točke isparavanja amonijaka te dolazi do razdvajanja komponenti. Otopina s niskom koncentracijom amonijaka

prolazi kroz prigušni ventil te pri niskom tlaku odlazi u apsorber. S druge strane para amonijaka visokog tlaka nakon izlaska iz generatora prolazi kroz separator kako bi se izdvojila eventualno preostala voda, koja se vraća u generator. Para dalje odlazi u kondenzator gdje predajući latentnu toplinu ogrjevnoj vodi kondenzira. Kondenzat prolazi kroz prigušni ventil kako bi se snizio tlak te nakon prolaska kroz izmjenjivač topline odlazi u isparivač. U isparivaču amonijak preuzima toplinu od vanjskog zraka i isparava. Prolazi kroz isti izmjenjivač topline kroz koji je prošao kondenzat. Uloga toga izmjenjivača je da se osigura pregrijanje pare odnosno pothlađenje kondenzata. Pregrijana para amonijaka ulazi u apsorber te započinje proces apsorpcije i otopina s niskom koncentracijom amonijaka, koja je nastala nakon isparavanja amonijaka u generatoru, otapa amonijak, prilikom čega se oslobađa korisna toplina za zagrijavanje ogrjevne vode. Pumpa podiže tlak kapljivoj otopini amonijaka i vode i ona se vraća u generator. Kako bi se povećala učinkovitost procesa, između generatora i apsorbera ugrađuje se izmjenjivač topline kako bi se otopina niže temperature (nakon izlaska iz apsorbera) predgrijala.

U slučaju pojave leda na isparivaču, vruće pare amonijaka umjesto prolaska kroz kondenzator odlaze u isparivač kako bi se otopile naslage leda. Time je omogućen brz proces odleđivanja uz istovremeni rad kruga grijanja s 50% učinka, što znači da ne postoji potreba za dodatnim izvorom topline.

Kao i kompresijske dizalice topline, apsorpcijske dizalice topline mogu biti opremljene prekretnim ventilom koji omogućava rad dizalice i u režimu grijanja i u režimu hlađenja.



Slika 6. Ovisnost učinka grijanja plinske apsorpcijske dizalice topline zrak-voda o temperaturi vanjskog zraka [3]

Za razliku od kompresijskih dizalica topline zrak-voda čija učinkovitost uvelike ovisi o temperaturi vanjskog zraka, apsorpcijske dizalice topline zrak-voda nisu u značajnijoj mjeri osjetljive na promjene temperature vanjskog zraka.

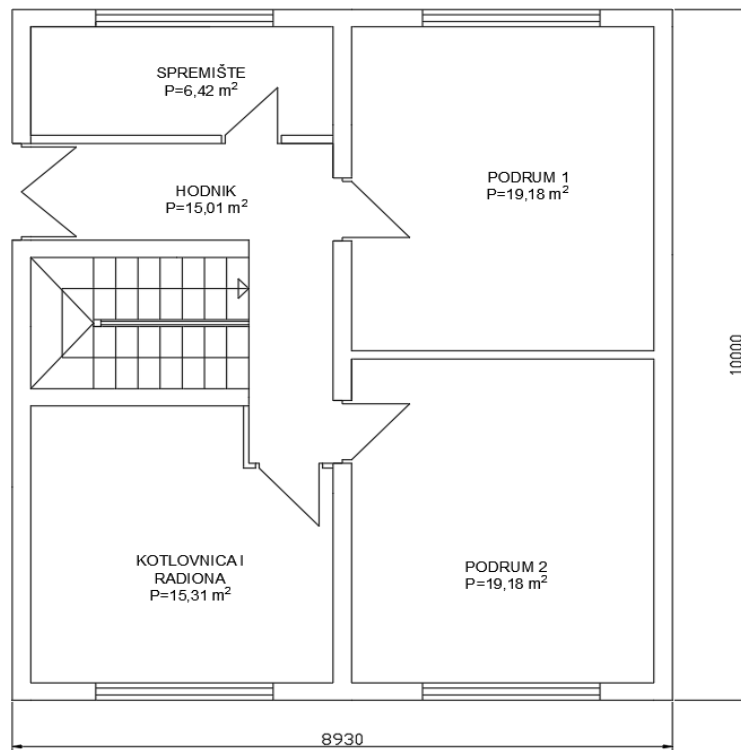
Na jednakom principu kao opisana dizalica topline zrak-voda rade i apsorpcijske dizalice topline tlo-voda te voda-voda. Zbog mogućnosti rada pri znatno nižim temperaturama, apsorpcijske dizalice topline tlo-voda zahtijevaju do 60% manju dubinu bušotine nego kompresijske dizalice.

2. PRORAČUN TOPLINSKOG OPTEREĆENJA

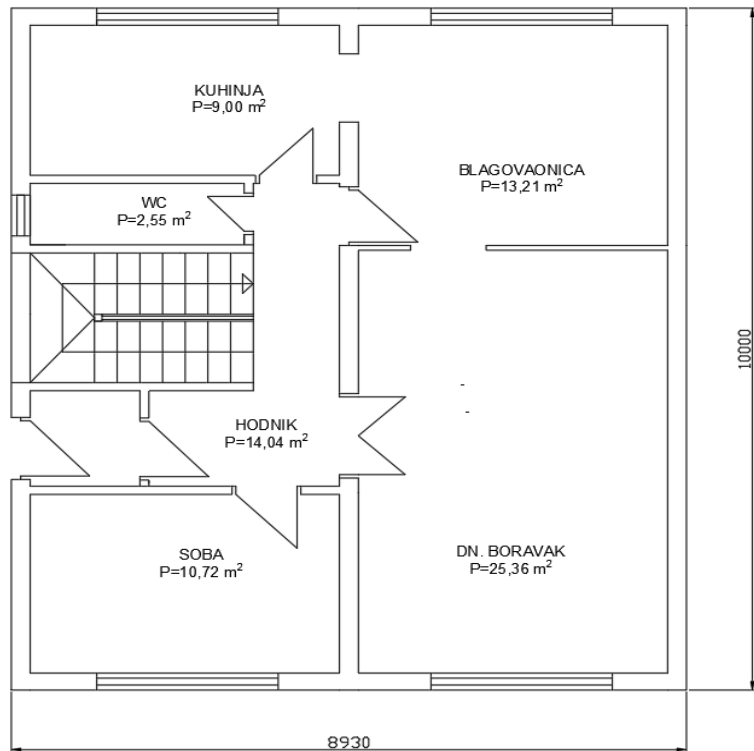
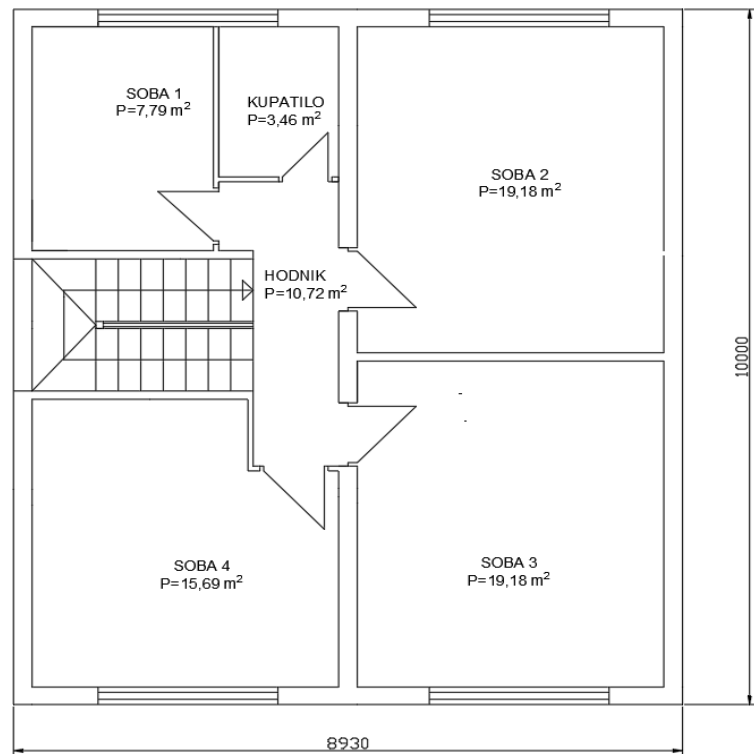
2.1. Opis građevine

Predmet ovog diplomskog rada bila je obiteljska kuća na području grada Zagreba, korisne površine približno 220 m^2 . Kuća se sastoji od podruma, prizemlja i kata, a svi prostori su grijani.

Kuća je izgrađena 1973. godine te shodno godini izgradnje nema adekvatnu toplinsku izolaciju. Vanjski zidovi izvedeni su od fasadne opeke debljine 25 cm, obostrano ožbukani, dok je stolarija drvena. Podovi na tlu kao i krov nisu toplinski izolirani.



Slika 7. Tlocrt podruma

**Slika 8. Tlocrt prizemlja****Slika 9. Tlocrt kata**

2.2. Projektni toplinski gubici [4]

Proračun projektnog toplinskog opterećenja proveden je prema normi HRN EN 12831 u računalnom programu „Excel“. U nastavku je prikazana metoda proračuna prema navedenoj normi.

Projektni toplinski gubici prostorije računaju se kao:

$$\Phi_i = \Phi_{T,i} + \Phi_{V,i} \quad [W] \quad (4)$$

$\Phi_{T,i}$ – projektni transmisijski gubici topline prostorije [W]

$\Phi_{V,i}$ – projektni ventilacijski gubici topline prostorije [W]

2.2.1. Projektni transmisijski gubici

$$\Phi_{T,i} = (H_{T,ie} + H_{T,iue} + H_{T,ig} + H_{T,ij})(\theta_{int,i} - \theta_e) \quad [W] \quad (5)$$

$H_{T,ie}$ – koeficijent transmisijskog gubitka od grijanog prostora prema vanjskom okolišu [W/K]

$H_{T,iue}$ – koeficijent transmisijskog gubitka od grijanog prostora kroz negrijani prostor prema vanjskom okolišu [W/K]

$H_{T,ig}$ – stacionarni koeficijent transmisijskog gubitka od grijanog prostora prema tlu [W/K]

$H_{T,ij}$ – koeficijent transmisijskog gubitka od grijanog prostora prema susjednom grijanom prostoru različite temperature [W/K]

$\theta_{int,i}$ – unutarnja projektna temperatura grijanog prostora [°C]

θ_e – vanjska projektna temperatura [°C]

2.2.1.1. Transmisijski gubici prema vanjskom okolišu

$$H_{T,ie} = \sum_k A_k U_k e_k + \sum_l \psi_l l_l e_l \quad [W/K] \quad (6)$$

A_k – površina plohe „k“ kroz koju prolazi topline [m^2]

e_k, e_l – korekcijski faktori izloženosti koji uzimaju u obzir klimatske utjecaje kao vlažnost, temperatura, brzina vjetra. Određuju se na nacionalnoj razini. Ako vrijednosti nisu određene na nacionalnoj razini, uzeti 1.

U_k – koeficijent prolaza topline elementa građevine „k“ [W/m^2K]

l_l – dužina linijskog toplinskog mosta između vanjskog okoliša i prostorije [m]

ψ_l – linearni koeficijent prolaza topline linearog toplinskog mosta „l“ [W/mK]

2.2.1.2. Transmisijski gubici kroz negrijane prostore

$$H_{T,iue} = \sum_k A_k U_k b_u + \sum_l \psi_l l_l e_l \quad [\text{W/K}] \quad (7)$$

b_u – faktor smanjenja temperaturne razlike koji uzima u obzir temperaturu negrijanog prostora i vanjsku projektnu temperaturu

Ako je temperatura negrijanog prostora poznata, faktor smanjenja temperaturne razlike računa se kao:

$$b_u = \frac{\theta_{int,i} - \theta_u}{\theta_{int,i} - \theta_e}$$

θ_u – temperatura negrijanog prostora [°C]

Ako temperatura negrijanog prostora nije poznata, za faktor smanjenja temperaturne razlike uzima se preporučena vrijednost prema normi.

2.2.1.3. Transmisijski gubici prema tlu

$$H_{T,ig} = f_{g1} f_{g2} \left(\sum_k A_k U_{equiv,k} \right) G_w \quad [\text{W/K}] \quad (8)$$

f_{g1} – korekcijski faktor za utjecaj godišnje oscilacije vanjske temperature; predložena vrijednost 1.45

f_{g2} – faktor smanjenja temperaturne razlike koji uzima u obzir razliku između godišnje srednje vanjske i vanjske projektne temperature

$U_{equiv,k}$ – ekvivalentni koeficijent prolaza topline iz tablica i dijagrama prema tipologiji poda

G_w – korekcijski faktor za utjecaj podzemne vode, za udaljenost pod do vode $\leq 1\text{m}$ uzeti 1.15; inače 1.00

2.2.1.4. Gubici topline prema susjednim prostorijama grijanim na različitu temperaturu

$$H_{T,ij} = \sum_k f_{ij} A_k U_k \quad [\text{W/K}] \quad (9)$$

f_{ij} – faktor smanjenja temperaturne razlike koji uzima u obzir razliku između temperature susjednog prostora i vanjske projektne temperature

$$f_{ij} = \frac{\theta_{int,i} - \theta_{ads}}{\theta_{int,i} - \theta_e}$$

2.2.2. Projektni ventilacijski gubici

$$\Phi_{V,i} = H_{V,i} \cdot (\theta_{int,i} - \theta_e) \quad [W] \quad (10)$$

$H_{V,i}$ – koeficijent ventilacijskih toplinskih gubitaka [W/K]

$\theta_{int,i}$ – unutarnja projektna temperatura grijanog prostora [$^{\circ}\text{C}$]

θ_e – vanjska projektna temperatura [$^{\circ}\text{C}$]

$$H_{V,i} = V_i \cdot \rho \cdot c_p \quad [\text{W/K}] \quad (11)$$

V_i – protok zraka u grijani prostor [m^3/s]

ρ – gustoća zraka pri $\theta_{int,i}$ [kg/m^3]

c_p – specifični toplinski kapacitet zraka pri $\theta_{int,i}$ [$\text{kJ}/(\text{kgK})$]

Protok zraka za prostorije bez ventilacijskog sustava određuje se prema:

$$V_i = \max (V_{inf,i}, V_{min,i}) \quad [\text{m}^3/\text{h}] \quad (12)$$

$V_{inf,i}$ – maksimalni protok zraka u prostoriju uslijed infiltracije kroz zazore [m^3/h]

$V_{min,i}$ – minimalni higijenski protok zraka

$$V_{min,i} = n_{min} \cdot V_{int} \quad [\text{m}^3/\text{h}] \quad (13)$$

n_{min} – minimalni broj izmjena zraka (nacionalni dodatak) [h^{-1}]

V_{int} – volumen prostorije [m^3]

Infiltracija kroz zazore računa se prema:

$$V_{inf,i} = 2 \cdot V_{int} \cdot n_{50} \cdot e_i \cdot \varepsilon_i \quad [\text{m}^3/\text{h}] \quad (14)$$

n_{50} – broj izmjena zraka u prostoriji pri razlici tlaka od 50 Pa između prostorije i vanjskog okoliša

e_i – koeficijent zaštićenosti, uzima u obzir utjecaj vjetra odnosno zaštićenost zgrade i broj otvora prema okolišu

ε_i – korekcijski faktor za visinu, uzima u obzir različit odnos tlakova s visinom iznad tla

Protok zraka s ventilacijskim sustavom određuje se prema:

$$V_i = V_{inf,i} + V_{su,i} \cdot f_{V,i} + V_{mech,inf,i} \quad [\text{m}^3/\text{h}] \quad (15)$$

$V_{inf,i}$ - protok zraka u prostoriju uslijed infiltracije kroz zazore [m^3/h]

$V_{su,i}$ - količina zraka dovođena mehaničkim sustavom ventilacije [m^3/h]

$V_{mech,inf,i}$ - višak odvedenog zraka iz prostorije [m^3/h]

$f_{V,i}$ - faktor smanjenja temperaturne razlike

Protok zraka s ventilacijskim sustavom određuje se prema:

$$f_{V,i} = \frac{\theta_{int,i} - \theta_{su,i}}{\theta_{int,i} - \theta_e} \quad [-] \quad (16)$$

$\theta_{su,i}$ – temperatura dobavnog zraka [$^\circ\text{C}$]

2.2.3. Gubici zbog prekida grijanja

Prostori s prekidima grijanja zahtijevaju dodatnu toplinu za zagrijavanje do projektne temperature prostorije nakon što ona u periodu prekida grijanja padne. Toplina za zagrijavanje ovisi o toplinskom kapacitetu elemenata građevine, vremenu zagrijavanja, temperaturnom padu tijekom prekida grijanja i svojstvima sustava regulacije.

Potrebna toplina zbog prekida grijanja računa se prema:

$$\Phi_{RH} = A_i \cdot f_{RH} \quad [\text{W}] \quad (17)$$

A_i – površina poda grijanog prostora s $\frac{1}{2}$ debljine zidova [m^2]

f_{RH} – korekcijski faktor ovisan o vremenu zagrijavanja i prepostavljenom padu temperature za vrijeme prekida grijanja [W/m^2]

Vrijednosti korekcijskog faktora f_{RH} za stambene zgrade prikazane su u tablici ispod.

Tablica 1. Korekcijski faktor f_{RH} za stambene zgrade, noćni prekid maksimalno 8h

| Vrijeme zagrijavanja [h] | f_{RH} [W/m^2] | | |
|--------------------------------|---|----|----|
| | Prepostavljeni pad temperature za vrijeme prekida | | |
| | 1K | 2K | 3K |
| 1 | 11 | 22 | 45 |
| 2 | 6 | 11 | 22 |
| 3 | 4 | 9 | 16 |
| 4 | 2 | 7 | 13 |

2.3. Postavke i rezultati proračuna

Radi pojednostavljenja postupka, ali i nedovoljno podataka o toplinskim mostovima, transmisijski toplinski gubici mogu se računati na način da se koeficijentu prolaza topline dodaje dodatak za toplinske mostove ΔU_{TM} iznosa $0,10 \text{ W}/(\text{m}^2\text{K})$, pa jednadžbe (6) – (9) poprimaju oblik:

$$H_{T,ie} = \sum_k A_k e_k (U_k + \Delta U_{TM}) \quad [\text{W/K}] \quad (18)$$

$$H_{T,iue} = \sum_k A_k b_u (U_k + \Delta U_{TM}) \quad [\text{W/K}] \quad (19)$$

$$H_{T,ig} = f_{g1} f_{g2} \left(\sum_k A_k (U_{equiv,k} + \Delta U_{TM}) \right) G_w \quad [\text{W/K}] \quad (20)$$

$$H_{T,ij} = \sum_k f_{ij} A_k (U_k + \Delta U_{TM}) \quad [\text{W/K}] \quad (21)$$

U nastavku su prikazane vrijednosti parametara potrebnih za proračun projektnih toplinskih gubitaka.

Tablica 2. Koeficijenti prolaza topline [5]

| Građevni dio | Oznaka | $U_k \text{ [W}/(\text{m}^2\text{K})]$ |
|-----------------|--------|--|
| Vanjski zid | VZ | 1,55 |
| Unutarnji zid | UZ1 | 1,55 |
| Unutarnji zid | UZ2 | 2,46 |
| Unutarnji zid | UZ3 | 3,16 |
| Prozor | P1 | 2,9 |
| Vanjska vrata | VV | 2,9 |
| Unutarnja vrata | UV | 2,2 |
| Strop | S | 1,66 |
| Pod na tlu | POD | 0,86 |

Vanjska projektna temperatura određena iznosi:

$$\theta_e = -12,8 \quad [\text{°C}] \quad (22)$$

Tablica 3. Unutarnje projektne temperature prostorija [4]

| Prostorija | Unutarnja projektna temperatura [°C] |
|---|--------------------------------------|
| Dnevni boravak, kuhinja, blagovaonica, sobe | 20 |
| Kupatilo, WC | 24 |
| Hodnik | 15 |

Tablica 4. Parametri korišteni pri proračunu ventilacijskih toplinskih gubitaka [4]

| | | | | |
|---|-----------------------|------------------------|-------|---------------------------|
| minimalni broj izmjena zraka | za kuhinju i kupatilo | n_{min} | 1,5 | [h⁻¹] |
| | za ostatak | n_{min} | 0,5 | |
| koeficijent zaštićenosti | e_i | | 0,03 | [-] |
| korekcijski faktor za visinu | ε_i | | 1 | [-] |
| broj izmjena zraka pri razlici tlaka 50 Pa | n₅₀ | | 6 | [h⁻¹] |
| gustoća zraka | ρ | | 1,189 | [kg/m³] |
| specifični toplinski kapacitet zraka | c_p | | 1006 | [J/(kgK)] |

Korekcijski faktor za vrijeme prekida grijanja odabran je iz tablice 1., za vrijeme zagrijavanja od 2h i pad temperature od 2K:

$$f_{RH} = 11 \quad [-] \quad (23)$$

Nakon što su definirani svi potrebni parametri izračunati su projektni toplinski gubici za obiteljsku kuću i isti su prikazani u sljedećim tablicama.

Tablica 5. Projektni toplinski gubici za obiteljsku kuću

| Etaža | Prostorija | Unutarnja projektna temperatura [°C] | Transmisijski toplinski gubici [W] | Ventilacijski toplinski gubici [W] | Gubici prekida grijanja [W] | Ukupni toplinski gubici [W] |
|---------------|------------|--------------------------------------|------------------------------------|------------------------------------|-----------------------------|-----------------------------|
| Podrum | Podrum 1 | 20 | 1577 | 287 | 211 | 2075 |
| | Podrum 2 | 20 | 1543 | 287 | 211 | 2041 |

| | | | | | | |
|------------------------------------|---------------|----|--------------|-------------|------------|--------------|
| | Spremište | 20 | 1127 | 96 | 71 | 1294 |
| | Kotlovnica | 20 | 1548 | 229 | 168 | 1946 |
| | Hodnik | 15 | 572 | 191 | 165 | 928 |
| | Ukupno | | 6366 | 1091 | 826 | 8283 |
| Prizemlje | Dn. boravak | 20 | 1849 | 380 | 279 | 2508 |
| | Blagovaonica | 20 | 1326 | 198 | 145 | 1669 |
| | Kuhinja | 20 | 1176 | 405 | 99 | 1680 |
| | Soba | 20 | 1354 | 161 | 118 | 1632 |
| | Hodnik | 15 | 453 | 178 | 154 | 785 |
| | WC | 24 | 501 | 128 | 28 | 658 |
| | Ukupno | | 6659 | 1450 | 824 | 8932 |
| Kat | Soba 1 | 20 | 1558 | 117 | 86 | 1760 |
| | Soba 2 | 20 | 2689 | 287 | 211 | 3188 |
| | Soba 3 | 20 | 2678 | 287 | 211 | 3177 |
| | Soba 4 | 20 | 2565 | 235 | 173 | 2973 |
| | Kupatilo | 24 | 779 | 136 | 118 | 1033 |
| | Hodnik | 15 | 807 | 174 | 38 | 1019 |
| | Ukupno | | 11076 | 1237 | 836 | 13149 |
| | | | | | | |
| Ukupno – cijela kuća [W] | | | 24100 | 3778 | 2486 | 30364 |

Ukupni projektni toplinski gubici za obiteljsku kuću iznose:

$$\Phi_{HL} = \sum \Phi_{T,i} + \sum \Phi_{V,i} + \sum \Phi_{RH,i} \quad [W] \quad (24)$$

$$\Phi_{HL} = 24100 + 3778 + 2486 = 30364 \text{ W}$$

3. PRORAČUN RASHLADNOG OPTEREĆENJA [6]

Proračun projektnog rashladnog opterećenja proveden je prema VDI 2078 korištenjem računalnog programa „IntegraCAD“.

3.1. Unutarnji izvori topline

Unutarnji izvori topline koji se javljaju u obiteljskoj kući prikazani su jednadžbom:

$$\dot{Q}_I = \dot{Q}_P + \dot{Q}_M + \dot{Q}_B \quad [W] \quad (25)$$

\dot{Q}_P – toplinski tok koji odaju ljudi [W]

\dot{Q}_M – toplinski tok koji odaju različiti električni uređaji [W]

\dot{Q}_B – toplinski tok od rasvjete [W]

Toplinski tok koji odaju ljudi:

$$\dot{Q}_P = n \cdot q_p \cdot S_i \quad [W] \quad (26)$$

n – broj osoba [-]

q_p – ukupni toplinski tok koji odaje jedna osoba [W]

S_i – koeficijent rashladnog opterećenja za unutarnje dobitke [-]

Toplinski tok koji odaju različiti električni uređaji:

$$\dot{Q}_M = S_i \cdot l \cdot \sum_{j=1}^n \left(\frac{P_j}{\eta} \cdot \mu_{aj} \right) \quad [W] \quad (27)$$

l – faktor istovremenosti [-]

P_j – snaga uređaja [W]

η – efikasnost uređaja [-]

μ_{aj} – faktor opterećenja uređaja [-]

Toplinski tok od rasvjete:

$$\dot{Q}_B = P \cdot S_i \cdot l \cdot \mu_b \quad [W] \quad (28)$$

P – ukupna instalirana snaga rasvjete [W]

μ_b – faktor opterećenja od rasvjete [-]

3.2. Vanjski izvori topline

Vanjski izvori toplinskog toka koji se odnose na promatranu obiteljsku kuću prikazani su jednadžbom:

$$\dot{Q}_A = \dot{Q}_W + \dot{Q}_T + \dot{Q}_S \quad [W] \quad (29)$$

\dot{Q}_W – transmisijski dobici toplinskog toka kroz vanjske zidove i krovove [W]

\dot{Q}_T – transmisijski dobici toplinskog toka kroz staklene površine [W]

\dot{Q}_S – dobici toplinskog toka zračenjem kroz staklene površine [W]

Transmisijski dobici toplinskog toka kroz vanjske zidove i krovove:

$$\dot{Q}_W = k \cdot A \cdot \Delta\theta_{eq} \quad [W] \quad (30)$$

k – koeficijent prolaza topline [$W/(m^2K)$]

A – površina plohe [m^2]

$\Delta\theta_{eq}$ – ekvivalentna temperaturna razlika [K]

Transmisijski dobici toplinskog toka kroz staklene površine:

$$\dot{Q}_T = k_f \cdot A_M \cdot \Delta\theta \quad [W] \quad (31)$$

k_f – koeficijent prolaza topline kroz ostakljene površine [$W/(m^2K)$]

A_M – ukupna površina otvora [m^2]

$\Delta\theta$ – razlika trenutačne vanjske temperature i unutarnje temperature prostorije [K]

Dobici toplinskog toka zračenjem kroz staklene površine:

$$\dot{Q}_S = [A_1 \cdot I_{max} + (A - A_1) \cdot I_{diff,max}] \cdot b \cdot S_a \quad [W] \quad (32)$$

A_1 – površina stakla izložena Suncu [m^2]

A – ukupna površina stakla [m^2]

I_{max} – maksimalni iznos ukupnog zračenja za promatrani mjesec [W/m^2]

$I_{diff,max}$ – maksimalni iznos difuznog zračenja za promatrani mjesec [W/m^2]

b – faktor propusnosti stakla i naprava za zaštitu od sunčeva zračenja [-]

S_a – koeficijent rashladnog opterećenja [-]

3.3. Postavke i rezultati proračuna

Unutarnja projektna temperatura za sve prostorije iznosi 26 °C. Vrijednosti potrebne za proračun unutarnjih toplinskih dobitaka, kao što su snaga rasvjete, snaga električnih uređaja te broj i fizička aktivnost osoba u pojedinoj prostoriji su pretpostavljene. [7]

Tablica 6. Projektni toplinski dobici za obiteljsku kuću

| Etaža | Prostorija | Ukupni toplinski dobici [W] |
|---------------------------------|---------------|-----------------------------|
| Podrum | Podrum 1 | 1086 |
| | Podrum 2 | 614 |
| | Spremište | 492 |
| | Kotlovnica | 1122 |
| | Hodnik | 431 |
| | Ukupno | 3745 |
| Prizemlje | Dn. boravak | 582 |
| | Blagovaonica | 509 |
| | Kuhinja | 3144 |
| | Soba | 1012 |
| | Hodnik | 322 |
| | WC | 135 |
| | Ukupno | 5704 |
| Kat | Soba 1 | 849 |
| | Soba 2 | 1385 |
| | Soba 3 | 1372 |
| | Soba 4 | 1240 |
| | Kupatilo | 947 |
| | Hodnik | 1057 |
| | Ukupno | 6850 |
| Ukupno – cijela kuća [W] | | 16299 |

Ukupni projektni toplinski dobici za obiteljsku kuću iznose:

$$\Phi_{CL} = 16299 \text{ W} \quad (33)$$

4. PRORAČUN POTREBNE ENERGIJE ZA ZAGRIJAVANJE PTV-a

Budući da se dizalica topline osim za grijanje prostora koristi i za pripremu PTV-a, potrebno je proračunati potrebni ogrjevni učin za zagrijavanje PTV-a da bi mogli dimenzionirati komponente dizalice topline. Zagrijavanje PTV-a provodi se pomoću hladnjaka pregrijanih para, tzv. „desuperheater-a“, koji se ugrađuje iza kompresora.

Potrebna energija za zagrijavanje PTV-a izračunata je prema [8].

Pri potrošnji vode od 50 l po jednom tuširanju i 2 tuširanja po satu, potrebni toplinski tok za zagrijavanje PTV-a može se izračunati kao:

$$\Phi = 3,5 \cdot \varphi \cdot n \quad [\text{kW}] \quad (34)$$

φ – faktor istovremenosti [-]

n – broj izljevnih mjesto [-]

Faktor istovremenosti iznosi :

$$\varphi = 1,15 \quad [-] \quad (35)$$

Broj izljevnih mjesto:

$$n = 1 \quad [-] \quad (36)$$

Potrebni toplinski tok za zagrijavanje PTV-a:

$$\Phi = 3,5 \cdot 1,15 \cdot 1 = 4,025 \text{ kW} \quad (37)$$

Potrebni kapacitet izvora topline računa se prema:

$$\Phi_{PTV} = \frac{\Phi \cdot Z_b}{Z_a + Z_b} \quad [\text{kW}] \quad (38)$$

Z_a – broj sati zagrijavanja [h]

Z_b - broj trajanja najveće potrošnje [h]

Vrijednosti Z_a i Z_b iznose 2h.

Kapacitet izvora topline za pripremu PTV-a iznosi:

$$\Phi_{PTV} = \frac{4,025 \cdot 2}{2 + 2} = 2,013 \text{ kW} \quad (39)$$

5. DIMENZIONIRANJE KOMPONENTI DIZALICE TOPLINE

Nazivni učin dizalice topline odabire se prema izračunatom toplinskom opterećenju te vrijedi:

$$\Phi_{DT} \geq \Phi_{HL} + \Phi_{PTV} = 30364 + 2013 = 32377 \text{ W} \quad (40)$$

Odabrani učinak dizalice topline:

$$\Phi_{DT} = 33000 \text{ W} \quad (41)$$

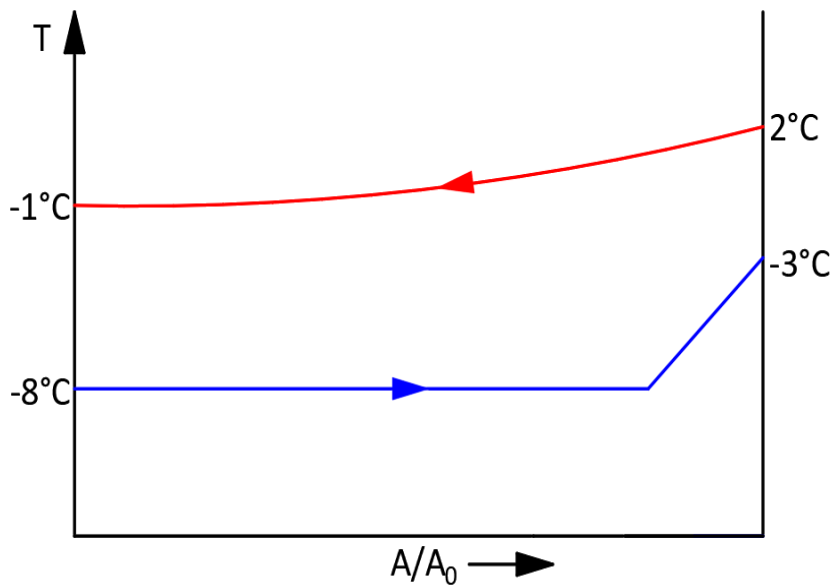
5.1. Kompresijska dizalica topline zrak-voda

Odabrani učinak dizalice topline odnosi se na učinak na kondenzatoru:

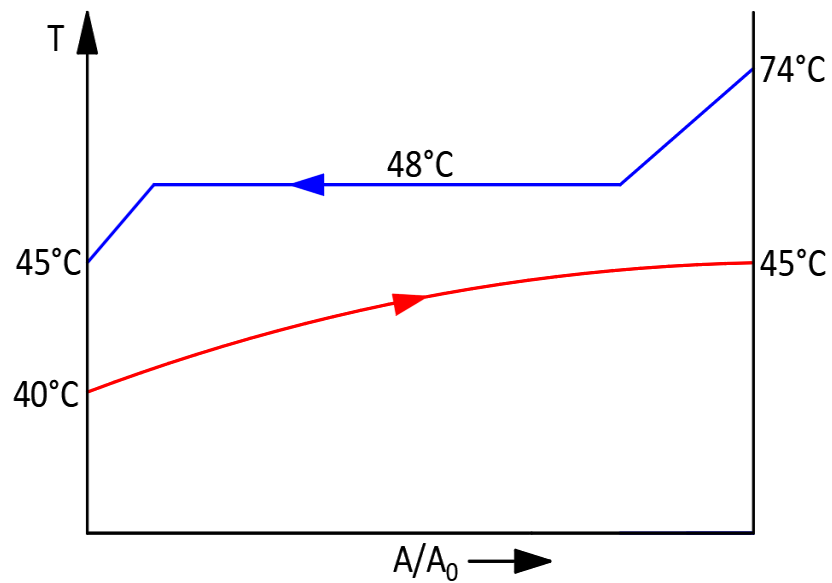
$$\Phi_k = 33 \text{ kW} \quad (42)$$

Za projektnu radnu točku A2/W45 i poznati temperaturni režim ogrjevne vode određeni su parametri potrebni za proračun:

- Temperatura isparavanja: $\theta_{isp} = -8 \text{ }^{\circ}\text{C}$
- Pregrijanje radne tvari na isparivaču: $\Delta\theta_{preg} = 5 \text{ }^{\circ}\text{C}$
- Tlak isparavanja: $p_{isp} = 2,17 \text{ bar}$
- Temperatura ogrjevne vode na ulazu u kondenzator: $\theta_{w,ul} = 40 \text{ }^{\circ}\text{C}$
- Temperatura ogrjevne vode na izlazu iz kondenzatora: $\theta_{w,izl} = 45 \text{ }^{\circ}\text{C}$
- Temperatura kondenzacije: $\theta_k = 48 \text{ }^{\circ}\text{C}$
- Pothlađenje radne tvari na kondenzatoru: $\Delta\theta_{poth} = 3 \text{ }^{\circ}\text{C}$
- Tlak kondenzacije: $p_k = 12,53 \text{ bar}$
- Izentropski stupanj djelovanja kompresora: $\eta_{is} = 0,7$



Slika 10. Temperaturni režim na isparivaču

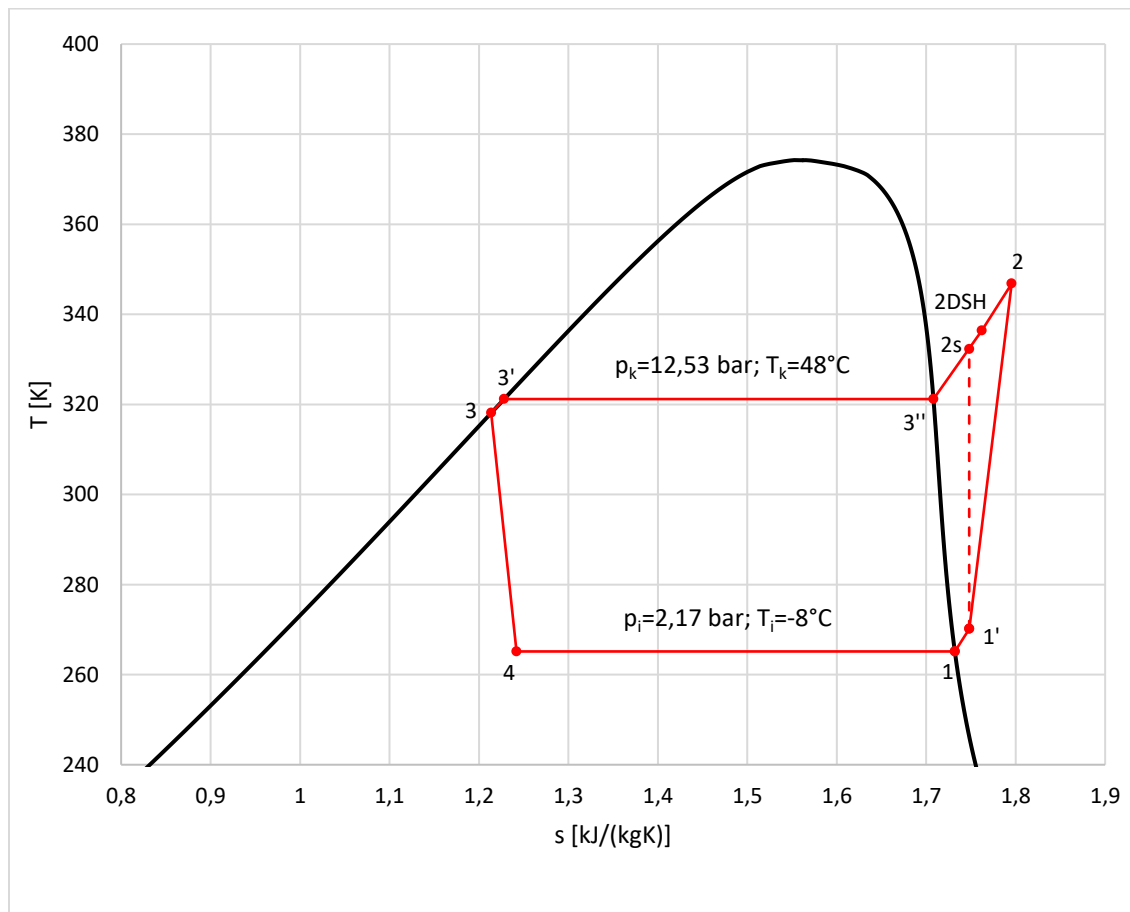


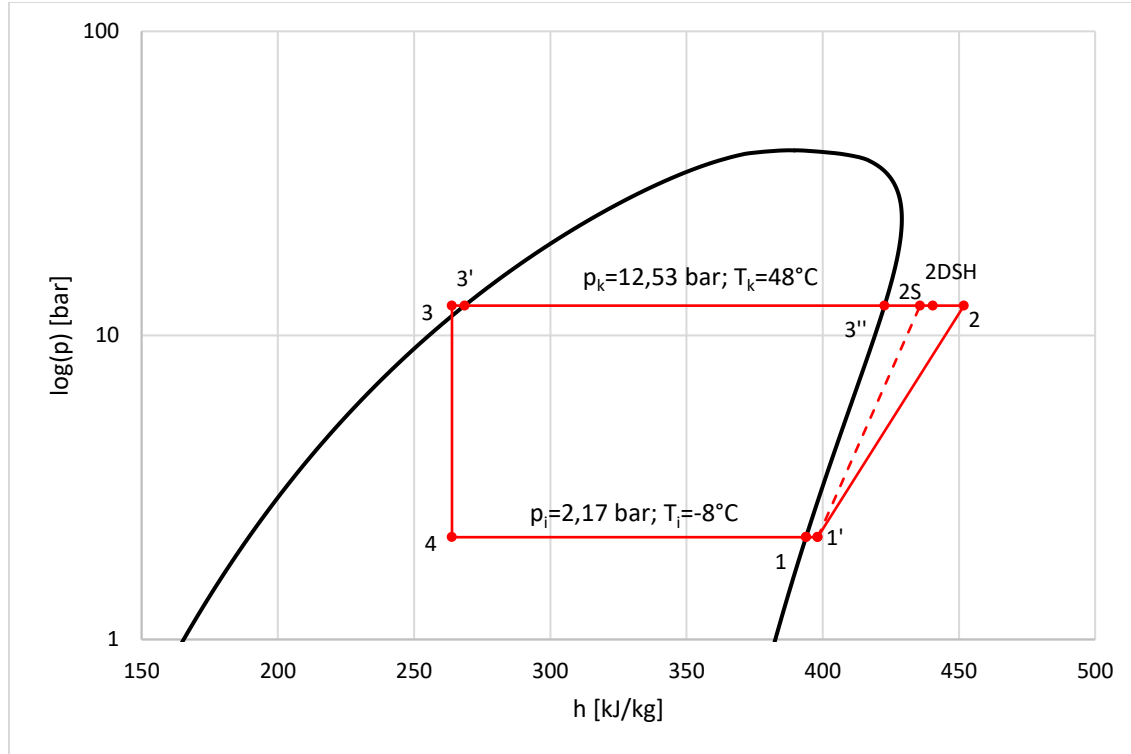
Slika 11. Temperaturni režim na kondenzatoru

Za radnu tvar odabrana je R134a, svojstva radne tvari pri definiranim radnim parametrima dobivena su u računalnom programu „Excel“ pomoću dodatka „CoolProp“, a u tablici 7. prikazana su termodinamička stanja karakterističnih radnih točaka procesa.

Tablica 7. Radne točke kružnog procesa kompresijske dizalice topline

| Radna točka | p [bar] | T [°C] | h [kJ/kg] | s [kJ/(kgK)] |
|-------------|---------|--------|-----------|--------------|
| 1 | 2,17 | -8 | 393,87 | 1,732 |
| 1' | 2,17 | -3 | 398,17 | 1,748 |
| 2s | 12,53 | 59,1 | 435,75 | 1,748 |
| 2 | 12,53 | 73,7 | 451,86 | 1,795 |
| 2DSH | 12,53 | 63,3 | 440,39 | 1,762 |
| 3'' | 12,53 | 48 | 422,69 | 1,708 |
| 3' | 12,53 | 48 | 268,53 | 1,228 |
| 3 | 12,53 | 45 | 263,92 | 1,214 |
| 4 | 2,17 | -8 | 263,92 | 1,242 |

**Slika 12. T-s dijagram procesa**



Slika 13. log(p)-h dijagram procesa

Potrebni maseni protok radne tvari u sustavu iznosi:

$$q_{m,RT} = \frac{\Phi_k}{(h_2 - h_3)} = \frac{33}{(451,86 - 263,92)} = 0,1756 \frac{kg}{s} \quad (43)$$

Učin isparivača:

$$\Phi_{isp} = q_{m,RT} \cdot (h_{1'} - h_4) \quad [kW] \quad (44)$$

$$\Phi_{isp} = 0,1756 \cdot (398,17 - 263,92) = 23,57 kW$$

Potrebna snaga kompresora:

$$P_{KOMP} = q_{m,RT} \cdot (h_2 - h_{1'}) \quad [kW] \quad (45)$$

$$P_{KOMP} = 0,1734 \cdot (451,86 - 398,17) = 9,43 kW$$

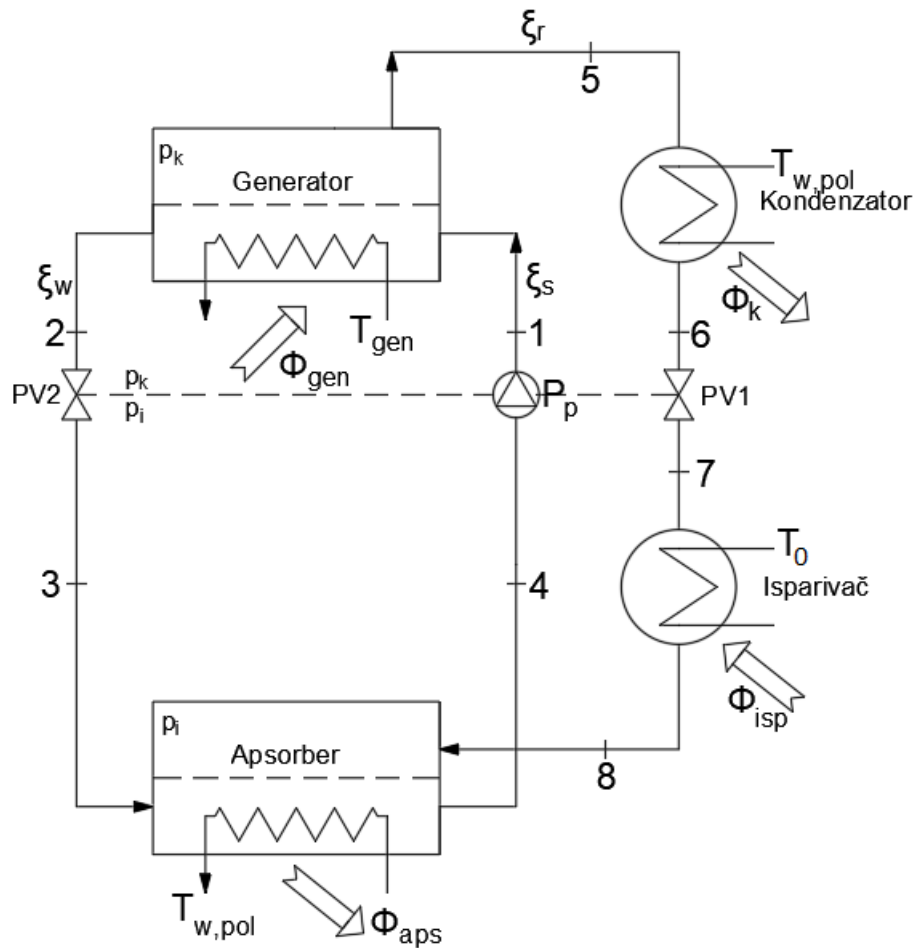
Faktor grijanja za odabranu projektnu radnu točku A2/W45 iznosi:

$$COP = \frac{\Phi_k}{P_{KOMP}} = \frac{33}{9,43} = 3,50 \quad (46)$$

5.2. Apsorpcijska dizalica topline zrak-voda

Proračun apsorpcijske dizalice topline proveden je pomoću računalnog programa „Engineering Equation Solver (EES)“ koji omogućava rješavanje sustava povezanih nelinearnih algebarskih i diferencijalnih jednadžbi [2]. Glavna značajka programa je što sadrži bazu podataka termodinamičkih svojstava različitih radnih tvari, kao i funkcije za izračun istih.

Pojednostavljena shema apsorpcijske dizalice topline jednaka je onoj prikazanoj na slici 1., a radi lakšeg praćenja ista je s označenim radnim točkama procesa prikazana ispod.



Slika 14. Pojednostavljena shema apsorpcijske dizalice topline

Pri modeliranju uvedene su određene prepostavke [9]:

- nema gubitaka topline
- na izlazu iz apsorbera (točka 4) otopina je u stanju vrele kapljevine
- na izlazu iz generatora prema apsorberu (točka 2) otopina je u stanju vrele kapljevine
- na ulazu u kondenzator (točka 5) otopina je u stanju pregrijane pare
- na izlazu iz kondenzatora (točka 6) otopina je u stanju vrele kapljevine
- na izlazu iz isparivača (točka 8) otopina je u stanju suhozasićene pare

Za radnu tvar odabrana je smjesa amonijaka i vode ($\text{NH}_3/\text{H}_2\text{O}$).

Toplinski tok kondenzatora i apsorbera predaje se ogrjevnoj vodi. U slučaju spajanja ove dvije komponente u seriju, ogrjevna voda najprije prolazi kroz apsorber te zatim odlazi u kondenzator. Dakle, temperatura ogrjevne vode na izlazu iz apsorbera jednaka je temperaturi na ulazu u kondenzator. U ovom slučaju razmatran je paralelni spoj kondenzatora i apsorbera, što znači da je temperatura ogrjevne vode na ulazu u kondenzator i apsorber jednaka.

Potrebni toplinski učin iznosi:

$$\Phi_k + \Phi_{aps} = 33 \quad [\text{kW}]$$

Temperature procesa određene su na temelju prepostavki prema [9]:

- temperatura u točki 4 jednaka je temperaturi apsorbera:

$$\theta_4 = \theta_{aps} = \theta_{w,pol} + 1 \quad [\text{°C}] \quad (47)$$

- temperature na ulazu i izlazu iz isparivača su jednake
- temperatura u točki 2 jednaka je temperaturi generatora

Na temelju svih navedenih pojednostavljenja i prepostavki za temperaturu vanjskog zraka od 2°C i temperaturu polaza ogrjevne vode od 45°C proračunate su vrijednosti točaka procesa.

Ulagani podaci za proračun:

- Temperatura isparavanja: $\theta_{isp} = -8^\circ\text{C}$
- Temperatura polaza ogrjevne vode $\theta_{w,pol} = 45^\circ\text{C}$
- Temperatura kondenzacije: $\theta_k = 48^\circ\text{C}$

- Temperatura generatora: $\theta_{gen} = 150 \text{ } ^\circ C$
- Temperatura apsorbera: $\theta_{aps} = 46 \text{ } ^\circ C$
- Stupanj djelovanja cirkulacijske pumpe: $\eta_p = 0,8$

Tablica 8. Radne točke kružnog procesa apsorpcijske dizalice topline

| Radna točka | p [bar] | T [$^\circ C$] | ξ [kg/kg] | h [kJ/kg] | q_m [kg/s] |
|-------------|---------|------------------|---------------|-----------|--------------|
| 1 | 19,30 | 46,24 | 0,3791 | -16,82 | 0,03012 |
| 2 | 19,30 | 150 | 0,2357 | 502,7 | 0,02348 |
| 3 | 3,15 | 94,7 | 0,2357 | 502,7 | 0,02348 |
| 4 | 3,15 | 46 | 0,3791 | -19,18 | 0,03012 |
| 5 | 19,30 | 132,3 | 0,8863 | 1662 | 0,006644 |
| 6 | 19,30 | 48 | 0,8863 | 146,1 | 0,006644 |
| 7 | 3,15 | -8 | 0,8863 | 146,1 | 0,006644 |
| 8 | 3,15 | -8 | 0,8863 | 1590 | 0,006644 |

Bilance mase i energije korištene prilikom proračuna prikazane su na slici ispod.

APSORBER

$$m_8 + m_3 = m_4$$

$$m_8 \cdot x_8 + m_3 \cdot x_3 = m_4 \cdot x_4$$

$$m_3 \cdot h_3 + m_8 \cdot h_8 = Q_{aps} + m_4 \cdot h_4$$

GENERATOR

$$m_1 = m_2 + m_5$$

$$m_1 \cdot x_1 = m_2 \cdot x_2 + m_5 \cdot x_5$$

$$m_1 \cdot h_1 + Q_{gen} = m_2 \cdot h_2 + m_5 \cdot h_5$$

KONDENZATOR

$$m_5 = m_6$$

$$Q_{kond} = m_5 \cdot (h_5 - h_6)$$

ISPARIVAC

$$m_7 = m_6$$

$$Q_{isp} = m_7 \cdot (h_8 - h_7)$$

PUMPA

$$P_p = m_4 \cdot (h_1 - h_4)$$

Slika 15. Jednadžbe bilance mase i energije (računalni program "EES")

Za ovako postavljen proces dobiveni su sljedeći iznosi:

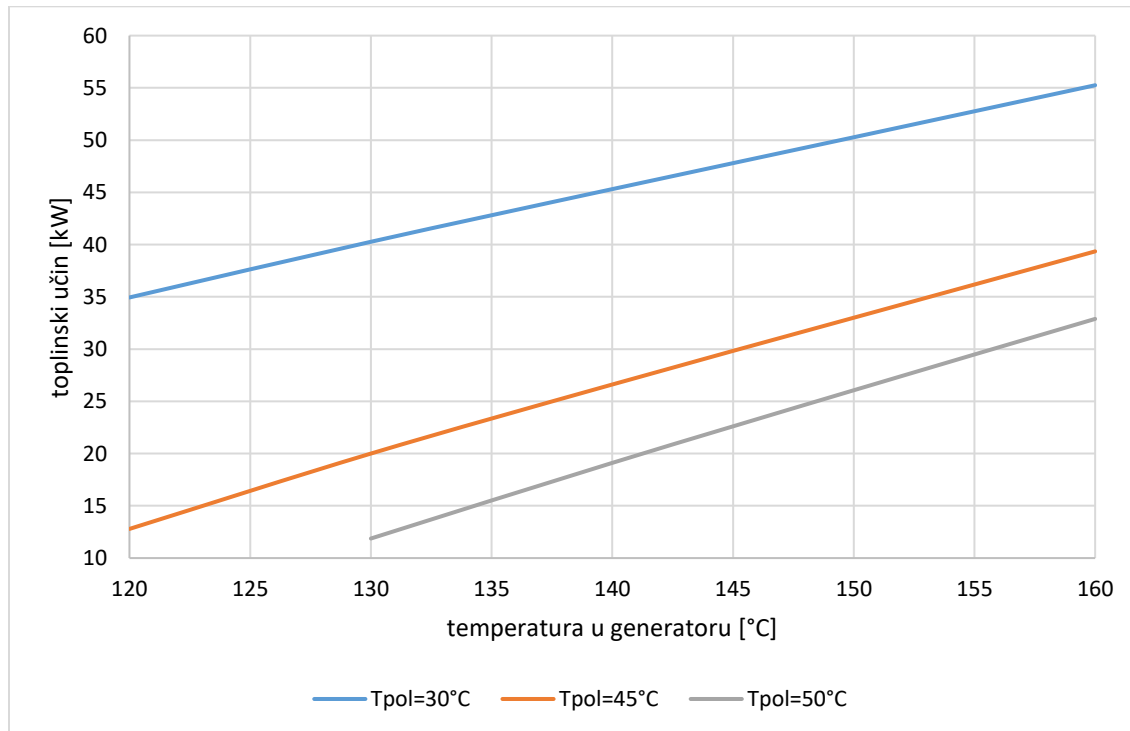
Tablica 9. Iznosi toplinskih učina komponenti apsorpcijske dizalice topline

| Toplinski tok doveden generatoru | Toplinski tok preuzet od vanjskog zraka | Snaga pumpe | Toplinski tok predan ogrjevnoj vodi na kondenzatoru | Toplinski tok predan ogrjevnoj vodi u apsorberu | Toplinski odnos |
|----------------------------------|---|-------------|---|---|-----------------|
| Φ_{gen} [kW] | Φ_{isp} [kW] | P_p [kW] | Φ_k [kW] | Φ_{aps} [kW] | ξ_{gr} [kW] |
| 23,35 | 9,59 | 0,071 | 10,06 | 22,94 | 1,41 |

Toplinski odnos računa se prema jednadžbi (3) kao:

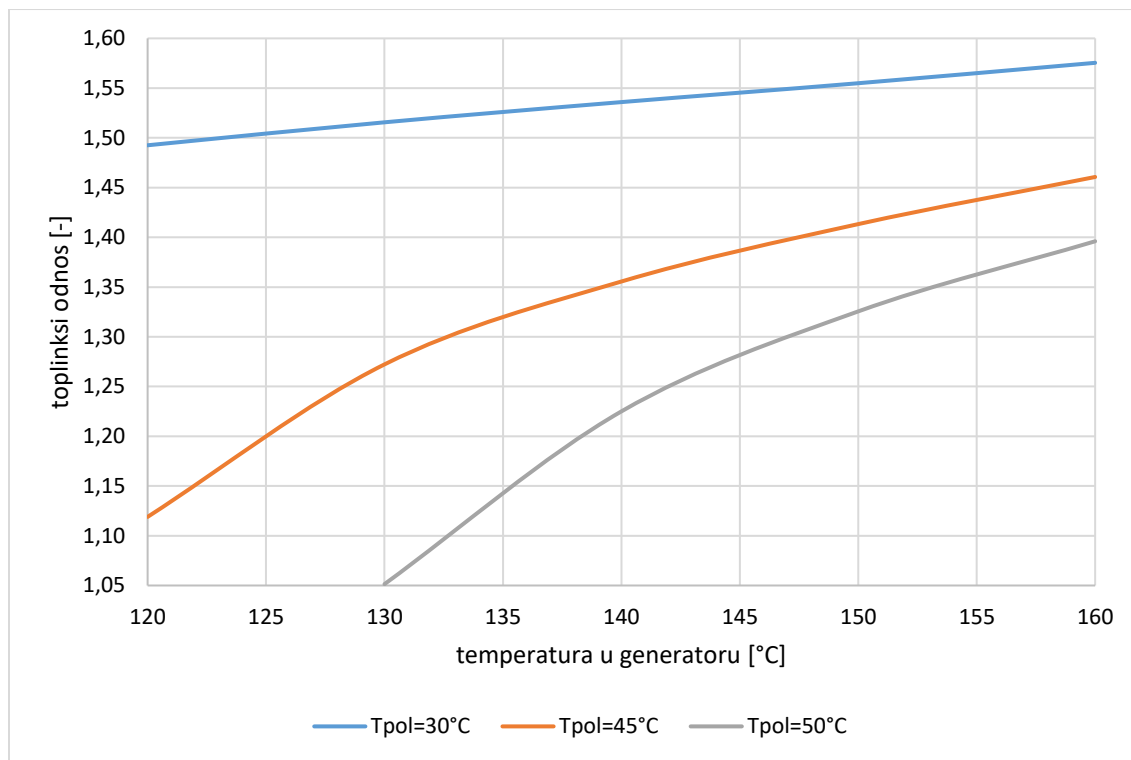
$$\xi_{gr} = \frac{\Phi_{aps} + \Phi_k}{\Phi_{gen} + P_p}$$

Napravljena je analiza ovisnosti toplinskog učina i toplinskog odnosa o temperaturi u generatoru, kao i temperaturi polaza ogrjevnog medija. Analiza je provedena za temperaturu vanjskog zraka od 2°C.



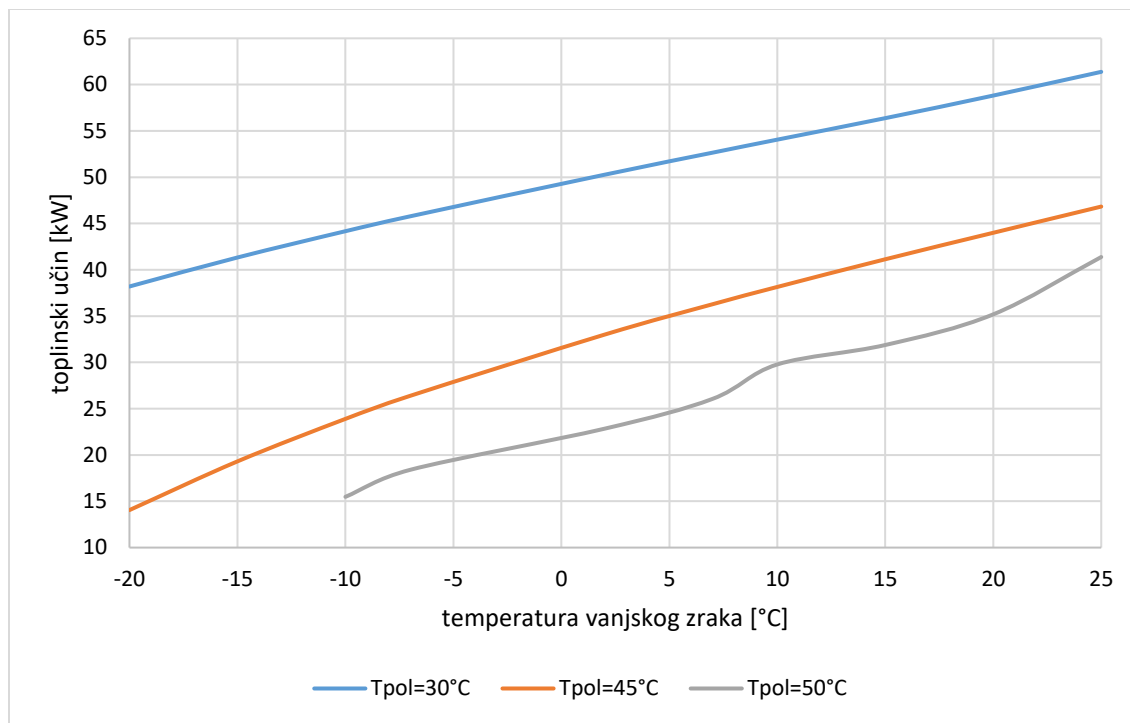
Slika 16. Ovisnost toplinskog učina apsorpcijske dizalice topline o temperaturi generatora i temperaturi polaza ogrjevnog medija

S porastom temperature u generatoru dakako raste i toplinski učin dizalice topline. Ustanovljeno je da za temperaturu polaza ogrjevne vode od 45°C minimalna temperatura u generatoru mora biti oko 117°C kako bi se proces mogao odvijati. Pri nižim temperaturama dolazi do toga da je koncentracija otopine na ulazu u apsorber viša od koncentracije na izlazu pa se može zaključiti da proces apsorpcije nije moguć. Minimalna potrebna temperatura u generatoru povećava se s porastom temperature polaza ogrjevnog medija, tj. s porastom temperature u apsorberu.

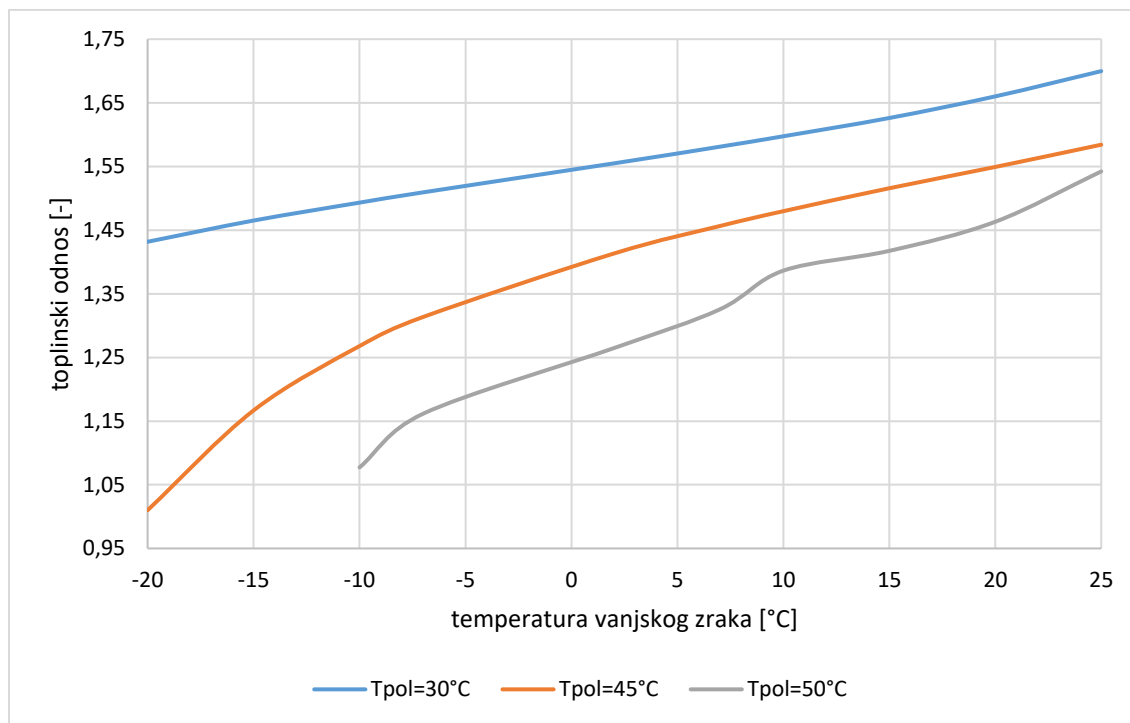


Slika 17. Ovisnost toplinskog odnosa apsorpcijske dizalice topline o temperaturi generatora i temperaturi polaza ogrjevnog medija

Nadalje, za temperaturu u generatoru od 150°C ispitana je promjena toplinskog učina i toplinskog odnosa s promjenom temperature vanjskog zraka i temperature polaza ogrjevnog medija.



Slika 18. Ovisnost toplinskog učina apsorpcijske dizalice topline o temperaturi vanjskog zraka i temperaturi polaza ogrjevnog medija

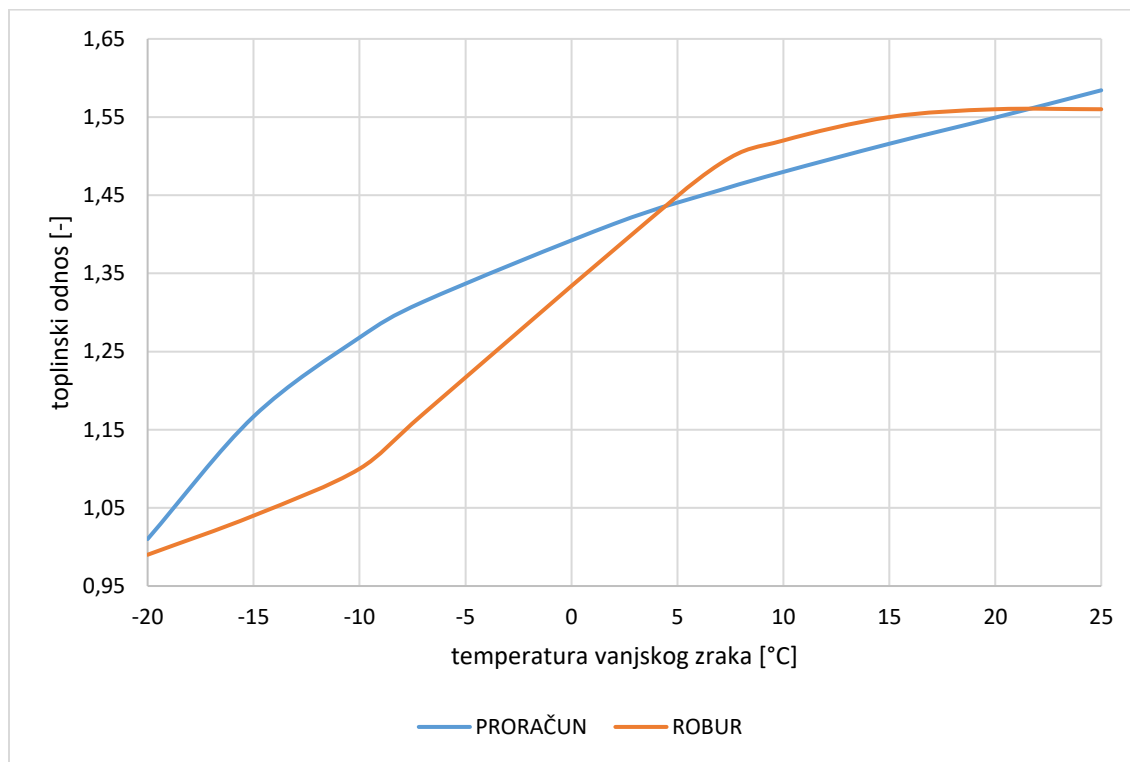


Slika 19. Ovisnost toplinskog učina apsorpcijske dizalice topline o temperaturi vanjskog zraka i temperaturi polaza ogrjevnog medija

Proračunate vrijednosti uspoređene su s vrijednostima proizvođača apsorpcijskih dizalica topline „Robur“. Za usporedbu su uzeti podaci apsorpcijske reverzibilne dizalice topline „Robur GAHP-AR“ na prirodni plin/UNP, nazivnog toplinskog učina 35,3 kW [10].

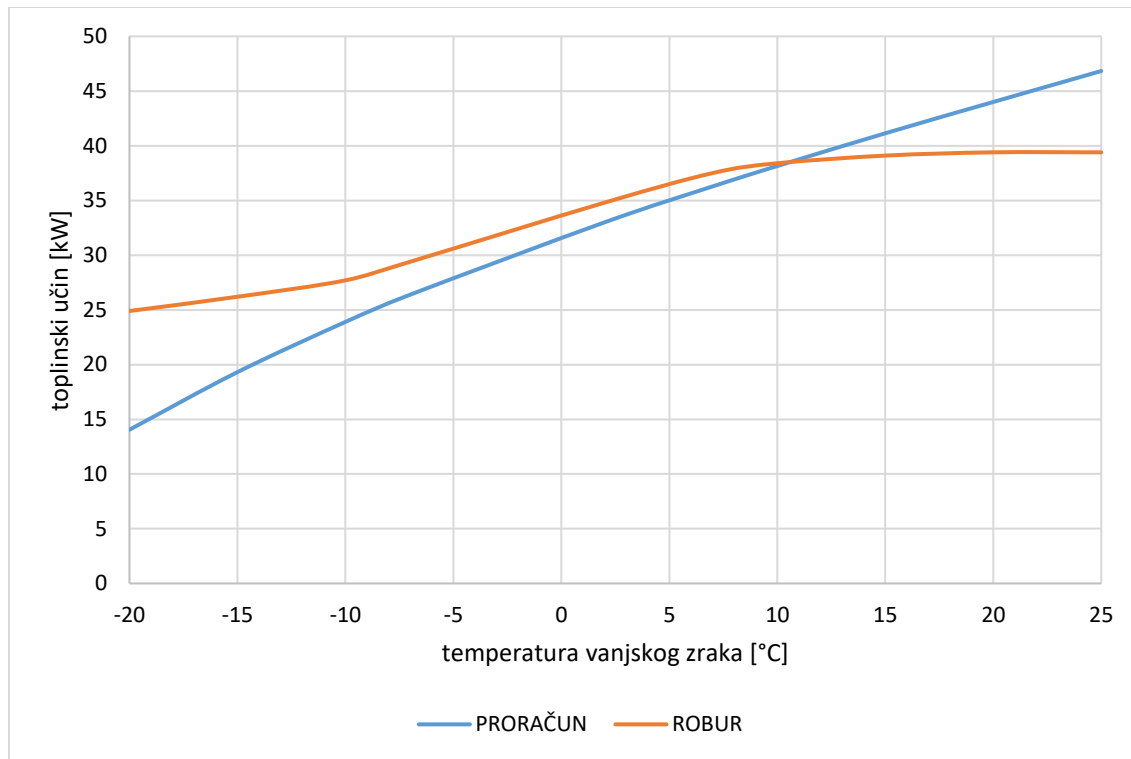
Vrijednosti su uspoređene za temperaturu polaza ogrjevnog medija od 45°C, a u proračunskom modelu temperatura generatora iznosi 150°C.

Pri temperaturama vanjskog zraka nižim od 0°C proračunski model daje više vrijednosti toplinskog odnosa u odnosu na vrijednosti proizvođača, dok su vrijednosti pri višim temperaturama približno jednake uz odstupanja do oko 3%, što je vidljivo iz sljedećeg dijagrama.



Slika 20. Usporedba toplinskog odnosa dobivenog proračunom i toplinskog odnosa preuzetog iz kataloga proizvođača „Robur“

S druge strane, toplinski učin dobiven proračunom je pri niskim temperaturama daleko niži nego onaj naveden od strane proizvođača. Najbolje podudaranje vrijednosti postignuto je za interval temperature vanjskog zraka od 2°C do 15°C gdje odstupanja iznose do $\pm 5\%$.



Slika 21. Usporedba toplinskog učina dobivenog proračunom i toplinskog učina preuzetog iz kataloga proizvođača „Robur“

Radi točnije analize, prilikom teehnoekonomiske analize u nastavku rada korišteni su podaci iz kataloga proizvođača.

6. PRORAČUN GODIŠNJE POTREBNE TOPLINSKE ENERGIJE ZA GRIJANJE I HLAĐENJE

Proračun potrebne toplinske energije za grijanje i hlađenje proveden je koristeći algoritam prema HRN EN ISO 13790 koji je prikazan u nastavku.

6.1. Godišnja potrebna toplinska energija za grijanje [11]

Godišnja potrebna toplinska energija za grijanje jest računski određena količina topline koju sustavom grijanja treba tijekom jedne godine dovesti u zgradu za održavanje unutarnje projektne temperature u zgradi tijekom razdoblja grijanja zgrade.

Potrebna toplinska energija za grijanje računa se kao:

$$Q_{H,nd,cont} = Q_{H,ht} - \eta_{H,gn} \cdot Q_{H,gn} \quad [\text{kWh}] \quad (48)$$

$Q_{H,nd,cont}$ – potrebna toplinska energija za grijanje pri kontinuiranom radu [kWh]

$Q_{H,ht}$ – ukupno izmijenjena toplinska energija u periodu grijanja [kWh]

$\eta_{H,gn}$ – faktor iskorištenja toplinskih dobitaka [-]

$Q_{H,gn}$ – ukupni toplinski dobici zgrade u periodu grijanja (ljudi, uređaji, rasvjeta i sunčev zračenje) [kWh]

Sumiranje se provodi za sve mjesecce u godini ako su vrijednosti mjesecne potrebne toplinske energije za grijanje pozitivne.

Proračun $Q_{H,nd,cont}$ uključuje sljedeći izraz:

$$Q_{H,nd,cont} = Q_{Tr} + Q_{Ve} - \eta_{H,gn} \cdot (Q_{int} + Q_{sol}) \quad [\text{kWh}] \quad (49)$$

Q_{Tr} – izmijenjena toplinska energija transmisijom za proračunsku zonu [kWh]

Q_{Ve} – potrebna toplinska energija za ventilaciju/klimatizaciju za proračunsku zonu [kWh]

Q_{int} – unutarnji toplinski dobici zgrade (ljudi, uređaji, rasvjeta) [kWh]

Q_{sol} – toplinski dobici od Sunčeva zračenja [kWh]

Izmjenjena toplinska energija transmisijom i ventilacijom proračunske zone za promatrani period računa se pomoću koeficijenta toplinske izmjene topline H (W/K):

$$Q_{Tr} = \frac{H_{Tr}}{1000} \cdot (\theta_{int,H} - \theta_{e,m}) \cdot t \quad [\text{kWh}] \quad (50)$$

$$Q_{Ve} = \frac{H_{Ve}}{1000} \cdot (\theta_{int,H} - \theta_{e,m}) \cdot t \quad [\text{kWh}] \quad (51)$$

H_{Tr} – koeficijent transmisijske izmjene topline proračunske zone [W/K]

H_{Ve} – koeficijent ventilacijske izmjene topline proračunske zone [W/K]

$\theta_{int,H}$ – unutarnja postavna temperatura grijane zone [°C]

$\theta_{e,m}$ – srednja vanjska temperatura za proračunski period (sat ili mjesec) [°C]

t – trajanje proračunskog razdoblja [h]

6.1.1. Izmjenjena toplinska energija transmisijom

Koeficijent transmisijske izmjene topline H_{Tr} određuje se za svaki mjesec prema normi HRN EN ISO 13789 iz sljedećeg izraza:

$$H_{Tr} = H_D + H_U + H_A + H_{g,m} \quad [\text{W/K}] \quad (52)$$

H_D – koeficijent transmisijske izmjene topline prema vanjskom okolišu [W/K]

H_U – koeficijent transmisijske izmjene topline kroz negrijani/nehlađeni prostor prema vanjskom okolišu [W/K]

H_A – koeficijent transmisijske izmjene topline prema susjednoj zgradi [W/K]

$H_{g,m}$ – koeficijent transmisijske izmjene topline prema tlu za proračunski mjesec [W/K]

Koeficijent transmisijske izmjene topline od grijanog prostora prema vanjskom okolišu H_D računa se pojednostavljenim postupkom gdje se uzima dodatak na koeficijent prolaza topline $\Delta U_{TM} = 0,1$ (W/(m²K)), a izraz glasi:

$$H_D = \sum_k A_k \cdot (U_k + \Delta U_{TM}) \quad [\text{W/K}] \quad (53)$$

A_k – površina građevnog dijela [m²]

U_k – koeficijent prolaza topline građevnog dijela [W/(m²K)]

Koefficijent transmisijske izmjene topline prema tlu za proračunski period (mjesec), $H_{g,m}$, iznosi:

$$H_{g,m} = \frac{\Phi_m}{\Theta_{int,m} - \Theta_{e,m}} \quad [\text{W/K}] \quad (54)$$

Φ_m – toplinski tok izmjene topline s tlom za proračunski mjesec [W]
 $\Theta_{int,m}$ – unutarnja postavna temperatura za proračunski mjesec [$^{\circ}\text{C}$]

$\Theta_{e,m}$ – srednja vanjska temperatura za proračunski mjesec [$^{\circ}\text{C}$]

Za poznate srednje mjesečne temperature vanjskog zraka toplinski tok izmjene topline s tlom za proračunski mjesec može se pojednostavljeno računati prema sljedećem izrazu:

$$\Phi_m = H_g(\bar{\Theta}_{int} - \bar{\Theta}_e) + H_{pi}(\bar{\Theta}_{int} - \Theta_{int,m}) + H_{pe}(\bar{\Theta}_e - \Theta_{e,m}) \quad [\text{W/K}] \quad (55)$$

H_g – stacionarni koeficijent transmisijske izmjene topline prema tlu [W/K]

H_{pi} – unutarnji periodički koeficijent transmisijske izmjene topline [W/K]

H_{pe} – vanjski periodički koeficijent transmisijske izmjene topline [W/K]

$\bar{\Theta}_{int}$ – srednja godišnja unutarnja temperatura [$^{\circ}\text{C}$]

$\bar{\Theta}_e$ – srednja godišnja vanjska temperatura [$^{\circ}\text{C}$]

$\Theta_{int,m}$ – unutarnja temperatura za proračunski mjesec m [$^{\circ}\text{C}$]

$\Theta_{e,m}$ – vanjska temperatura za proračunski mjesec m [$^{\circ}\text{C}$]

m – broj mjeseca (od $m = 1$ za siječanj do $m = 12$ za prosinac)

Opis izračuna koeficijenata gornje jednadžbe dan je u [11].

6.1.2. Potrebna toplinska energija za ventilaciju

Potrebna toplinska energija za ventilaciju Q_{Ve} računa se prema Algoritmu za ventilaciju/klimatizaciju. Potrebna toplinska energija za ventilaciju/klimatizaciju zgrade može se iskazati kao:

$$Q_{Ve} = Q_{Ve,inf} + Q_{Ve,win} + Q_{H,ve,mech} \quad [\text{kWh}] \quad (56)$$

$Q_{Ve,inf}$ – potrebna toplinska energija uslijed infiltracije vanjskog zraka [kWh]

$Q_{Ve,win}$ – potrebna toplinska energija uslijed prozračivanja otvaranjem prozora [kWh]

$Q_{H,ve,mech}$ – potrebna toplinska energija u GVik sustavu kod zagrijavanja zraka [kWh]

Budući da u promatranoj kući nema sustava mehaničke ventilacije, član $Q_{H,ve,mech}$ se zanemaruje.

Potrebna toplinska energija uslijed infiltracije:

$$Q_{Ve,inf} = \frac{H_{Ve,inf}}{1000} \cdot (\theta_{int} - \theta_e) \cdot t \quad [\text{kWh}] \quad (57)$$

Koeficijent izmjene topline uslijed infiltracije $H_{Ve,inf}$:

$$H_{Ve,inf} = n_{inf} \cdot V \cdot \rho_a \cdot c_{p,a} \quad [\text{W/K}] \quad (58)$$

n_{inf} – broj izmjena zraka uslijed infiltracije [h^{-1}]

V – volumen zraka u zoni [m^3]

ρ_a – gustoća zraka [kg/m^3]

$c_{p,a}$ – specifični toplinski kapacitet zraka [J/(kgK)]

Broj izmjena zraka uslijed infiltracije ako nema mehaničke ventilacije:

$$n_{inf} = e_{wind} \cdot n_{50} \quad [\text{h}^{-1}] \quad (59)$$

n_{50} – broj izmjena zraka pri narinutoj razlici tlaka od 50 Pa [h^{-1}]

e_{wind}, f_{wind} – faktori zaštićenosti zgrade od vjetra [-]

Tablica 10. Proračunske vrijednosti n_{50} za netestirane zgrade

| Kategorije za općenito određivanje zrakopropusnosti zgrade | Proračunske vrijednosti za n_{50} [h^{-1}] |
|---|--|
| I | a) 2 ; b) 1 |
| II | 4 |
| III | 6 |
| IV | 10 |

Proračunska vrijednost n_{50} uzeta je za kategoriju III i iznosi 6 h^{-1} .

| Koeficijent e_{wind} za klasu zaklonjenosti: | Izloženo više od jedne fasade | Izložena jedna fasada |
|---|----------------------------------|--------------------------|
| Nezaklonjene: zgrade na otvorenom, visoke zgrade u gradskim centrima | 0,1 | 0,03 |
| Srednje zaklonjene: zgrade okružene drvećem ili drugim zgradama, predgrađa | 0,07 | 0,02 |
| Jako zaklonjene: zgrade prosječnih visina u gradskim centrima, zgrade u šumama | 0,04 | 0,01 |
| Koeficijent f_{wind} | 15 | 20 |

Potrebna toplinska energija uslijed prozračivanja:

$$Q_{ve,win} = \frac{H_{ve,win}}{1000} \cdot (\theta_{int} - \theta_e) \cdot t \quad [\text{kWh}] \quad (60)$$

Koeficijent izmjene topline uslijed prozračivanja:

$$H_{ve,win} = n_{win} \cdot V \cdot \rho_a \cdot c_{p,a} \quad [\text{W/K}] \quad (61)$$

n_{win} – broj izmjena zraka uslijed otvaranja prozora [h^{-1}]

U slučaju kad nema mehaničke ventilacije mora vrijediti:

$$n_{inf} + n_{win} = \max\{n_{inf} + n_{win}; 0,5\} \quad [\text{h}^{-1}] \quad (62)$$

Napomena: gornji uvjet potrebno zadovoljiti samo u periodu korištenja zgrade

6.1.3. *Ukupni toplinski dobici*

Ukupni toplinski dobici za proračunski period mogu se iskazati kao:

$$Q_{H,gn} = Q_{int} + Q_{sol} \quad [\text{kWh}] \quad (63)$$

Unutarnji toplinski dobici Q_{int} od ljudi i uređaja računaju se s vrijednošću 5 W/m^2 ploštine korisne površine za stambene prostore.

$$Q_{int} = \frac{q_{spec} \cdot A_K \cdot t}{1000} \quad [\text{kWh}] \quad (64)$$

q_{spec} – specifični unutarnji dobitak po m^2 korisne površine [W/m^2]

A_K – korisna površina [m^2]

t – proračunsko vrijeme [h]

Tablica 11. Broj dana i sati u mjesecu

| Mjesec | Broj dana | Vrijeme [h] |
|--------|-----------|-------------|
| I | 31 | 744 |
| II | 28 | 672 |
| III | 31 | 744 |
| IV | 30 | 720 |
| V | 31 | 744 |
| VI | 30 | 720 |

| | | |
|---------------|------------|-------------|
| VII | 31 | 744 |
| VIII | 31 | 744 |
| IX | 30 | 720 |
| X | 31 | 744 |
| XI | 30 | 720 |
| XII | 31 | 744 |
| Godina | 365 | 8760 |

Toplinski dobici od Sunčeva zračenja:

$$Q_{sol} = \sum_k Q_{sol,k} + \sum_l (1 - b_{tr,l}) Q_{sol,u,l} \quad [\text{kWh}] \quad (65)$$

$Q_{sol,k}$ – srednja dozračena energija sunčevog zračenja kroz k-ti građevni dio u grijani prostor [kWh]

$Q_{sol,u,l}$ – srednja dozračena energija sunčevog zračenja kroz l-ti građevni dio u susjedni negrijani prostor [kWh]

$b_{tr,l}$ – faktor smanjenja za susjedni negrijani prostor s unutarnjim toplinskim izvorom [-]

Budući da u kući nema negrijanih prostora drugi član u jednadžbi se zanemaruje.

Srednja dozračena energija sunčevog zračenja kroz k-ti građevni dio zgrade računa se kao:

$$Q_{sol} = \frac{F_{sh,ob} \cdot S_{S,k} \cdot A_{sol,k}}{3,6} - \frac{F_{r,k} \cdot \Phi_{r,k} \cdot t}{1000} \quad [\text{kWh}] \quad (66)$$

$F_{sh,ob}$ – faktor zasjenjena od vanjskih prepreka direktnom upadu sunčevog zračenja [-]

$S_{S,k}$ – srednja dozračena energija sunčevog zračenja na površinu građevnog dijela k za promatrani period [MJ/m²]

$A_{sol,k}$ – efektivna površina građevnog elementa (otvora, zida) k na koju upada sunčev zračenje [m²]

$F_{r,k}$ – faktor oblika između otvora k i neba (za nezasjenjeni vodoravni krov $F_{r,k} = 1$, za nezasjenjeni okomiti zid $F_{r,k} = 0,5$)

$\Phi_{r,k}$ – toplinski tok zračenjem od površine otvora k prema nebu [kWh]

Detaljan opis gornje jednadžbe može se pronaći u [11].

6.2. Rezultati proračuna potrebne toplinske energije za grijanje

Proračun je proveden u računalnom programu „KI Expert Plus“. Pri proračunu korišteni su klimatski podaci za meteorološku postaju Zagreb-Maksimir.

Tablica 12. Srednje mjesecne temperature zraka (klimatska postaja Zagreb-Maksimir)

| Mjesec | I | II | III | IV | V | VI | VII | VIII | IX | X | XI | XII |
|--------------------------|------|-----|-----|------|------|------|------|------|------|------|-----|-----|
| Srednja temperatura [°C] | -1,2 | 2,3 | 7,4 | 12,7 | 16,8 | 20,8 | 22,1 | 23,4 | 18,4 | 12,6 | 2,9 | 2,0 |

Cijela kuća tretira se kao jedna zona, a u nastavku su prikazani ulazni podaci korišteni u proračunu.

Ulagani podaci za proračun:

- Unutarnja projektna temperatura u sezoni grijanja: $\theta_{int} = 20 \text{ } ^\circ\text{C}$
- Površina kondicionirane zone računate s vanjskim dimenzijama: $A_f = 267,90 \text{ } m^2$
- Ploština korisne površina grijanog dijela zgrade: $A_k = 226,00 \text{ } m^2$
- Oplošje grijanog dijela zgrade: $A = 476,75 \text{ } m^2$
- Ukupna površina pročelja: $A_{pročelja} = 312,34 \text{ } m^2$
- Ukupna površina otvora zgrade: $A_{prozora} = 35,83 \text{ } m^2$
- Učešće površine otvora u ukupnoj površini pročelja: $f = 11,47 \text{ \%}$
- Obujam grijanog dijela zgrade: $V_e = 763,73 \text{ } m^3$
- Neto obujam grijanog zraka: $V = 576,31 \text{ } m^3$
- Vrsta prostora: *abiteljska kuća*
- Vrijeme rada sustava: *sustavi s prekidom rada noću*
- Broj sati rada sustava grijanja u danu: 17 h
- Broj dana korištenja sustava grijanja u tjednu: 7
- Vrsta ventilacije: *prirodna*

Za karakteristični dan mjeseca siječnja prikazani su toplinski gubici i dobici izračunati pomoću spomenutog računalnog programa.

| | $H_{Tr,W}$ [W/K] | $H_{Tr,op}$ [W/K] | H_{Tr} [W/K] | θ_e [°C] | $\theta_{int,H}$ [°C] | $Q_{Tr,H}$ [kWh] |
|-----|------------------|-------------------|----------------|-----------------|-----------------------|------------------|
| ► 0 | 103,907 | 613,404 | 717,311 | -0,60 | 20,00 | 14,78 |
| 1 | 103,907 | 613,404 | 717,311 | -1,10 | 20,00 | 15,14 |
| 2 | 103,907 | 613,404 | 717,311 | -1,30 | 20,00 | 15,28 |
| 3 | 103,907 | 613,404 | 717,311 | -1,50 | 20,00 | 15,42 |
| 4 | 103,907 | 613,404 | 717,311 | -1,50 | 20,00 | 15,42 |
| 5 | 103,907 | 613,404 | 717,311 | -1,50 | 20,00 | 15,42 |
| 6 | 103,907 | 613,404 | 717,311 | -1,50 | 20,00 | 15,42 |
| 7 | 103,907 | 613,404 | 717,311 | -1,50 | 20,00 | 15,42 |
| 8 | 103,907 | 613,404 | 717,311 | -0,60 | 20,00 | 14,78 |
| 9 | 103,907 | 613,404 | 717,311 | 0,80 | 20,00 | 13,77 |
| 10 | 103,907 | 613,404 | 717,311 | 2,10 | 20,00 | 12,84 |
| 11 | 103,907 | 613,404 | 717,311 | 3,50 | 20,00 | 11,84 |
| 12 | 103,907 | 613,404 | 717,311 | 4,40 | 20,00 | 11,19 |
| 13 | 103,907 | 613,404 | 717,311 | 4,80 | 20,00 | 10,90 |
| 14 | 103,907 | 613,404 | 717,311 | 5,30 | 20,00 | 10,54 |
| 15 | 103,907 | 613,404 | 717,311 | 4,40 | 20,00 | 11,19 |
| 16 | 103,907 | 613,404 | 717,311 | 3,50 | 20,00 | 11,84 |
| 17 | 103,907 | 613,404 | 717,311 | 2,60 | 20,00 | 12,48 |
| 18 | 103,907 | 613,404 | 717,311 | 1,90 | 20,00 | 12,98 |
| 19 | 103,907 | 613,404 | 717,311 | 1,20 | 20,00 | 13,49 |
| 20 | 103,907 | 613,404 | 717,311 | 0,80 | 20,00 | 13,77 |
| 21 | 103,907 | 613,404 | 717,311 | 0,10 | 20,00 | 14,27 |
| 22 | 103,907 | 613,404 | 717,311 | 0,10 | 20,00 | 14,27 |
| 23 | 103,907 | 613,404 | 717,311 | -0,20 | 20,00 | 14,49 |

Slika 22. Transmisijski toplinski gubici za karakteristični dan mjeseca siječnja

| Mjesec | $\sum \Phi_m$ [W] | $\sum H_{g,m}$ [W/K] |
|--------|-------------------|----------------------|
| ► I | 758,70 | 35,79 |

Slika 23. Izmjenjena toplina s tlom i koeficijent transmisijskih gubitaka prema tlu za mjesec siječanj

Ukupni transmisijski gubici za karakteristični dan mjeseca siječnja iznose 343,26 kWh.

Kod proračuna ventilacijskih gubitaka korištene su sljedeće vrijednosti:

- Broj izmjena zraka pri razlici tlaka od 50 Pa: $n_{50} = 6 h^{-1}$
- Faktor zaštićenosti od vjetra: $e_{wind} = 0,07$
- $f_{wind} = 15$

| Sat | H _{Ve,inf,H} [W/K] | H _{Ve,win,H} [W/K] | H _{H,Ve,mech} [W/K] | H _{H,Ve} [W/K] | Theta _{int,H} [°C] | Theta _e [°C] | Q _{Ve,inf,H} [kWh] | Q _{Ve,win,H} [kWh] | Q _{H,Ve,mech} [kWh] | Q _{Ve} [kWh] |
|-------|-----------------------------|-----------------------------|------------------------------|-------------------------|-----------------------------|-------------------------|-----------------------------|-----------------------------|------------------------------|-----------------------|
| 0-1 | 82,30 | 19,59 | 0,00 | 101,89 | 20,00 | -0,60 | 1,70 | 0,40 | 0,00 | 2,10 |
| 1-2 | 82,30 | 19,59 | 0,00 | 101,89 | 20,00 | -1,10 | 1,74 | 0,41 | 0,00 | 2,15 |
| 2-3 | 82,30 | 19,59 | 0,00 | 101,89 | 20,00 | -1,30 | 1,75 | 0,42 | 0,00 | 2,17 |
| 3-4 | 82,30 | 19,59 | 0,00 | 101,89 | 20,00 | -1,50 | 1,77 | 0,42 | 0,00 | 2,19 |
| 4-5 | 82,30 | 19,59 | 0,00 | 101,89 | 20,00 | -1,50 | 1,77 | 0,42 | 0,00 | 2,19 |
| 5-6 | 82,30 | 19,59 | 0,00 | 101,89 | 20,00 | -1,50 | 1,77 | 0,42 | 0,00 | 2,19 |
| 6-7 | 82,30 | 19,59 | 0,00 | 101,89 | 20,00 | -1,50 | 1,77 | 0,42 | 0,00 | 2,19 |
| 7-8 | 82,30 | 19,59 | 0,00 | 101,89 | 20,00 | -1,50 | 1,77 | 0,42 | 0,00 | 2,19 |
| 8-9 | 82,30 | 73,28 | 0,00 | 155,58 | 20,00 | -0,60 | 1,70 | 1,51 | 0,00 | 3,20 |
| 9-10 | 82,30 | 73,28 | 0,00 | 155,58 | 20,00 | 0,80 | 1,58 | 1,41 | 0,00 | 2,99 |
| 10-11 | 82,30 | 73,28 | 0,00 | 155,58 | 20,00 | 2,10 | 1,47 | 1,31 | 0,00 | 2,78 |
| 11-12 | 82,30 | 73,28 | 0,00 | 155,58 | 20,00 | 3,50 | 1,36 | 1,21 | 0,00 | 2,57 |
| 12-13 | 82,30 | 73,28 | 0,00 | 155,58 | 20,00 | 4,40 | 1,28 | 1,14 | 0,00 | 2,43 |
| 13-14 | 82,30 | 73,28 | 0,00 | 155,58 | 20,00 | 4,80 | 1,25 | 1,11 | 0,00 | 2,36 |
| 14-15 | 82,30 | 73,28 | 0,00 | 155,58 | 20,00 | 5,30 | 1,21 | 1,08 | 0,00 | 2,29 |
| 15-16 | 82,30 | 73,28 | 0,00 | 155,58 | 20,00 | 4,40 | 1,28 | 1,14 | 0,00 | 2,43 |
| 16-17 | 82,30 | 73,28 | 0,00 | 155,58 | 20,00 | 3,50 | 1,36 | 1,21 | 0,00 | 2,57 |
| 17-18 | 82,30 | 73,28 | 0,00 | 155,58 | 20,00 | 2,60 | 1,43 | 1,28 | 0,00 | 2,71 |
| 18-19 | 82,30 | 73,28 | 0,00 | 155,58 | 20,00 | 1,90 | 1,49 | 1,33 | 0,00 | 2,82 |
| 19-20 | 82,30 | 73,28 | 0,00 | 155,58 | 20,00 | 1,20 | 1,55 | 1,38 | 0,00 | 2,92 |
| 20-21 | 82,30 | 73,28 | 0,00 | 155,58 | 20,00 | 0,80 | 1,58 | 1,41 | 0,00 | 2,99 |
| 21-22 | 82,30 | 73,28 | 0,00 | 155,58 | 20,00 | 0,10 | 1,64 | 1,46 | 0,00 | 3,10 |
| 22-23 | 82,30 | 73,28 | 0,00 | 155,58 | 20,00 | 0,10 | 1,64 | 1,46 | 0,00 | 3,10 |
| 23-24 | 82,30 | 19,59 | 0,00 | 101,89 | 20,00 | -0,20 | 1,66 | 0,40 | 0,00 | 2,06 |
| | 82,30 | 53,15 | 0,00 | 135,45 | 20,00 | 1,01 | 37,51 | 23,16 | 0,00 | 60,68 |

Slika 24. Ventilacijski toplinski gubici za karakteristični dan mjeseca siječnja

Ukupni ventilacijski gubici za karakteristični dan mjeseca siječnja iznose 60,68 kWh.

| Sat | Q _{sol} [kWh] | Q _{sol,u,l} [kWh] | Q _{sol,k} [kWh] | Φ _{sol} [W] |
|-------|------------------------|----------------------------|--------------------------|----------------------|
| 0-1 | -0,52 | 0,00 | -0,52 | -519,14 |
| 1-2 | -0,52 | 0,00 | -0,52 | -519,14 |
| 2-3 | -0,52 | 0,00 | -0,52 | -519,14 |
| 3-4 | -0,52 | 0,00 | -0,52 | -519,14 |
| 4-5 | -0,52 | 0,00 | -0,52 | -519,14 |
| 5-6 | -0,52 | 0,00 | -0,52 | -519,14 |
| 6-7 | -0,52 | 0,00 | -0,52 | -519,14 |
| 7-8 | -0,51 | 0,00 | -0,51 | -513,53 |
| 8-9 | 0,04 | 0,00 | 0,04 | 42,86 |
| 9-10 | 1,01 | 0,00 | 1,01 | 1012,76 |
| 10-11 | 1,85 | 0,00 | 1,85 | 1848,97 |
| 11-12 | 2,59 | 0,00 | 2,59 | 2588,81 |
| 12-13 | 2,78 | 0,00 | 2,78 | 2783,18 |
| 13-14 | 2,89 | 0,00 | 2,89 | 2893,65 |
| 14-15 | 2,76 | 0,00 | 2,76 | 2760,89 |
| 15-16 | 0,30 | 0,00 | 0,30 | 300,81 |
| 16-17 | -0,52 | 0,00 | -0,52 | -519,14 |
| 17-18 | -0,52 | 0,00 | -0,52 | -519,14 |
| 18-19 | -0,52 | 0,00 | -0,52 | -519,14 |
| 19-20 | -0,52 | 0,00 | -0,52 | -519,14 |
| 20-21 | -0,52 | 0,00 | -0,52 | -519,14 |
| 21-22 | -0,52 | 0,00 | -0,52 | -519,14 |
| 22-23 | -0,52 | 0,00 | -0,52 | -519,14 |
| 23-24 | -0,52 | 0,00 | -0,52 | -519,14 |

Slika 25. Solarni toplinski dobici za karakteristični dan mjeseca siječnja

Ukupni solarni toplinski dobici za karakteristični dan mjeseca siječnja iznose 5,91 kWh.

Specifični unutarnji dobitak po kvadratnom metru korisne površine iznosi 5 W/m^2 .

| | | |
|----------------------------------|----------------|-------------------------------|
| $A_k [\text{m}^2]$ | 226,00 | |
| $q_{\text{spec}} [\text{W/m}^2]$ | 5,00 | |
| Mjesec | $t [\text{h}]$ | $Q_{\text{int}} [\text{kWh}]$ |
| Siječanj | 744 | 840,72 |

Slika 26. Unutarnji toplinski dobici za mjesec siječanj

Unutarnji toplinski dobici za karakteristični dan mjeseca siječnja iznose 27,12 kWh.

Za vrijeme rada sustava od 17h dnevno, potrebna toplinska energija za grijanje u mjesecu siječnju iznosi 8725,31 kWh.

Iznosi potrebne toplinske energije za grijanje u ostalim mjesecima prikazani su u tablici.

Tablica 13. Potrebna toplinska energija za grijanje

| Mjesec | Broj dana grijanja | Potrebna toplinska energija za grijanje, $Q_{H,nd} [\text{kWh/mj}]$ |
|--|--------------------|---|
| Siječanj | 31 | 8725,31 |
| Veljača | 28 | 6752,62 |
| Ožujak | 31 | 5043,46 |
| Travanj | 30 | 2355,07 |
| Svibanj | 16 | 229,09 |
| Lipanj | 0 | 0 |
| Srpanj | 0 | 0 |
| Kolovoz | 0 | 0 |
| Rujan | 15 | 0 |
| Listopad | 31 | 3009,87 |
| Studeni | 30 | 5696,35 |
| Prosinac | 31 | 8669,13 |
| $Q_{H,nd} [\text{kWh/god}]$ | 243 | 40480,89 |
| $Q''_{H,nd} [\text{kWh}/(\text{m}^2\text{god})]$ | 243 | 179,12 |

6.3. Godišnja potrebna toplinska energija za hlađenje

Potrebna toplinska energija za hlađenje proračunske zone:

$$Q_{C,nd} = Q_{C,gn} - \eta_{C,ls} \cdot Q_{C,ht} \quad [\text{kWh}] \quad (67)$$

$Q_{C,nd}$ – potrebna toplinska energija za hlađenje [kWh]

$Q_{C,gn}$ – ukupni toplinski dobici zgrade u periodu hlađenja: ljudi, rasvjeta, solarni dobici [kWh]

$Q_{C,ht}$ – ukupno izmijenjena toplinska energija u periodu hlađenja [kWh]

$\eta_{C,ls}$ – faktor iskorištenja toplinskih gubitaka kod hlađenja [-]

Proračun potrebne toplinske energije za hlađenje $Q_{C,nd}$ uključuje sljedeći izraz:

$$Q_{C,nd} = Q_{int} + Q_{sol} - \eta_{C,ls} \cdot (Q_{Tr} + Q_{Ve}) \quad [\text{kWh}] \quad (68)$$

Sve jednadžbe za proračun potrebne toplinske energije za grijanje $Q_{H,nd}$ vrijede i kod proračuna $Q_{C,nd}$, s tim da se proračun provodi s unutarnjom proračunskom temperaturom hlađene zone, koja za ovaj slučaj iznosi 22°C. Razlika u odnosu na proračun $Q_{H,nd}$ je u faktoru smanjenja zbog sjene od pomicnog zasjenjenja koji je kod proračuna hlađenja stalno uključen. Detaljan proračun može se pronaći u [11].

Za karakteristični dan mjeseca srpnja prikazane su proračunate vrijednosti.

| Transmisijski gubici | | | | | | |
|------------------------------|-------------------------|--------------------------|-----------------------|---------------------|-------------------------|-------------------------|
| Karakterističan dan mjeseca: | Srpanj | | | | | |
| | H _{Tr,w} [W/K] | H _{Tr,op} [W/K] | H _{Tr} [W/K] | θ _e [°C] | θ _{int,C} [°C] | Q _{Tr,C} [kWh] |
| ► 0 | 103,907 | 613,404 | 717,311 | 17,90 | 22,00 | 2,94 |
| 1 | 103,907 | 613,404 | 717,311 | 17,10 | 22,00 | 3,51 |
| 2 | 103,907 | 613,404 | 717,311 | 16,60 | 22,00 | 3,87 |
| 3 | 103,907 | 613,404 | 717,311 | 16,20 | 22,00 | 4,16 |
| 4 | 103,907 | 613,404 | 717,311 | 15,60 | 22,00 | 4,59 |
| 5 | 103,907 | 613,404 | 717,311 | 17,00 | 22,00 | 3,59 |
| 6 | 103,907 | 613,404 | 717,311 | 19,00 | 22,00 | 2,15 |
| 7 | 103,907 | 613,404 | 717,311 | 20,70 | 22,00 | 0,93 |
| 8 | 103,907 | 613,404 | 717,311 | 22,30 | 22,00 | -0,22 |
| 9 | 103,907 | 613,404 | 717,311 | 23,70 | 22,00 | -1,22 |
| 10 | 103,907 | 613,404 | 717,311 | 24,90 | 22,00 | -2,08 |
| 11 | 103,907 | 613,404 | 717,311 | 26,10 | 22,00 | -2,94 |
| 12 | 103,907 | 613,404 | 717,311 | 27,10 | 22,00 | -3,66 |
| 13 | 103,907 | 613,404 | 717,311 | 27,40 | 22,00 | -3,87 |
| 14 | 103,907 | 613,404 | 717,311 | 27,50 | 22,00 | -3,95 |
| 15 | 103,907 | 613,404 | 717,311 | 27,20 | 22,00 | -3,73 |
| 16 | 103,907 | 613,404 | 717,311 | 26,90 | 22,00 | -3,51 |
| 17 | 103,907 | 613,404 | 717,311 | 26,20 | 22,00 | -3,01 |
| 18 | 103,907 | 613,404 | 717,311 | 24,90 | 22,00 | -2,08 |
| 19 | 103,907 | 613,404 | 717,311 | 23,00 | 22,00 | -0,72 |
| 20 | 103,907 | 613,404 | 717,311 | 20,90 | 22,00 | 0,79 |
| 21 | 103,907 | 613,404 | 717,311 | 20,00 | 22,00 | 1,43 |
| 22 | 103,907 | 613,404 | 717,311 | 19,10 | 22,00 | 2,08 |
| 23 | 103,907 | 613,404 | 717,311 | 18,30 | 22,00 | 2,65 |

Slika 27. Transmisijski toplinski gubici za karakteristični dan mjeseca srpnja

| Mjesec | $\sum \Phi_m$ [W] | $\sum H_{q,m}$ [W/K] |
|--------|-------------------|----------------------|
| ► VII | 357,96 | -170,45 |

Slika 28. Izmjenjena toplina s tlom i koeficijent transmisijskih gubitaka prema tlu za mjesec srpanj

Ukupni transmisijski gubici za karakteristični dan mjeseca srpnja iznose -6,87 kWh. Negativan predznak označava dobitak topline.

| Sat | $H_{ve,inf,C}$ [W/K] | $H_{ve,win,C}$ [W/K] | $H_{Free cool}$ [W/K] | $H_{C,ve,mech}$ [W/K] | $H_{C,ve}$ [W/K] | $\Theta_{int,C}$ [°C] | $\Theta_{theta,e}$ [°C] | $Q_{ve,inf,C}$ [kWh] | $Q_{ve,win,C}$ [kWh] | $Q_{Free cool}$ [kWh] | $Q_{C,ve,mech}$ [kWh] | $Q_{ve,C}$ [kWh] |
|-------|----------------------|----------------------|-----------------------|-----------------------|------------------|-----------------------|-------------------------|----------------------|----------------------|-----------------------|-----------------------|------------------|
| 0-1 | 82,30 | 19,59 | 0,00 | 0,00 | 101,89 | 22,00 | 17,90 | 0,34 | 0,08 | 0,00 | 0,00 | 0,42 |
| 1-2 | 82,30 | 19,59 | 0,00 | 0,00 | 101,89 | 22,00 | 17,10 | 0,40 | 0,10 | 0,00 | 0,00 | 0,50 |
| 2-3 | 82,30 | 19,59 | 0,00 | 0,00 | 101,89 | 22,00 | 16,60 | 0,44 | 0,11 | 0,00 | 0,00 | 0,55 |
| 3-4 | 82,30 | 19,59 | 0,00 | 0,00 | 101,89 | 22,00 | 16,20 | 0,48 | 0,11 | 0,00 | 0,00 | 0,59 |
| 4-5 | 82,30 | 19,59 | 0,00 | 0,00 | 101,89 | 22,00 | 15,60 | 0,53 | 0,13 | 0,00 | 0,00 | 0,65 |
| 5-6 | 82,30 | 19,59 | 0,00 | 0,00 | 101,89 | 22,00 | 17,00 | 0,41 | 0,10 | 0,00 | 0,00 | 0,51 |
| 6-7 | 82,30 | 19,59 | 0,00 | 0,00 | 101,89 | 22,00 | 19,00 | 0,25 | 0,06 | 0,00 | 0,00 | 0,31 |
| 7-8 | 82,30 | 19,59 | 0,00 | 0,00 | 101,89 | 22,00 | 20,70 | 0,11 | 0,03 | 0,00 | 0,00 | 0,13 |
| 8-9 | 82,30 | 73,28 | 0,00 | 0,00 | 155,58 | 22,00 | 22,30 | -0,02 | -0,02 | 0,00 | 0,00 | -0,05 |
| 9-10 | 82,30 | 73,28 | 0,00 | 0,00 | 155,58 | 22,00 | 23,70 | -0,14 | -0,12 | 0,00 | 0,00 | -0,26 |
| 10-11 | 82,30 | 73,28 | 0,00 | 0,00 | 155,58 | 22,00 | 24,90 | -0,24 | -0,21 | 0,00 | 0,00 | -0,45 |
| 11-12 | 82,30 | 73,28 | 0,00 | 0,00 | 155,58 | 22,00 | 26,10 | -0,34 | -0,30 | 0,00 | 0,00 | -0,64 |
| 12-13 | 82,30 | 73,28 | 0,00 | 0,00 | 155,58 | 22,00 | 27,10 | -0,42 | -0,37 | 0,00 | 0,00 | -0,79 |
| 13-14 | 82,30 | 73,28 | 0,00 | 0,00 | 155,58 | 22,00 | 27,40 | -0,44 | -0,40 | 0,00 | 0,00 | -0,84 |
| 14-15 | 82,30 | 73,28 | 0,00 | 0,00 | 155,58 | 22,00 | 27,50 | -0,45 | -0,40 | 0,00 | 0,00 | -0,86 |
| 15-16 | 82,30 | 73,28 | 0,00 | 0,00 | 155,58 | 22,00 | 27,20 | -0,43 | -0,38 | 0,00 | 0,00 | -0,81 |
| 16-17 | 82,30 | 73,28 | 0,00 | 0,00 | 155,58 | 22,00 | 26,90 | -0,40 | -0,36 | 0,00 | 0,00 | -0,76 |
| 17-18 | 82,30 | 73,28 | 0,00 | 0,00 | 155,58 | 22,00 | 26,20 | -0,35 | -0,31 | 0,00 | 0,00 | -0,65 |
| 18-19 | 82,30 | 73,28 | 0,00 | 0,00 | 155,58 | 22,00 | 24,90 | -0,24 | -0,21 | 0,00 | 0,00 | -0,45 |
| 19-20 | 82,30 | 73,28 | 0,00 | 0,00 | 155,58 | 22,00 | 23,00 | -0,08 | -0,07 | 0,00 | 0,00 | -0,16 |
| 20-21 | 82,30 | 73,28 | 0,00 | 0,00 | 155,58 | 22,00 | 20,90 | 0,09 | 0,08 | 0,00 | 0,00 | 0,17 |
| 21-22 | 82,30 | 73,28 | 0,00 | 0,00 | 155,58 | 22,00 | 20,00 | 0,16 | 0,15 | 0,00 | 0,00 | 0,31 |
| 22-23 | 82,30 | 73,28 | 0,00 | 0,00 | 155,58 | 22,00 | 19,10 | 0,24 | 0,21 | 0,00 | 0,00 | 0,45 |
| 23-24 | 82,30 | 19,59 | 0,00 | 0,00 | 101,89 | 22,00 | 18,30 | 0,30 | 0,07 | 0,00 | 0,00 | 0,38 |
| | 82,30 | 53,15 | 0,00 | 0,00 | 135,45 | 22,00 | 21,90 | 0,20 | -1,95 | 0,00 | 0,00 | -1,75 |

Slika 29. Ventilacijski toplinski gubici za karakteristični dan mjeseca srpnja

Ukupni ventilacijski gubici za karakteristični dan mjeseca srpnja iznose -1,75 kWh, što znači da se ponovno radi o dobitku.

| Karakterističan dan mjeseca: | Span | Q_{sol} [kWh] | $Q_{sol,u,l}$ [kWh] | $Q_{sol,k}$ [kWh] | ϕ_{sol} [W] |
|------------------------------|------|-----------------|---------------------|-------------------|------------------|
| 0-1 | | -0,52 | 0,00 | -0,52 | -519,14 |
| 1-2 | | -0,52 | 0,00 | -0,52 | -519,14 |
| 2-3 | | -0,52 | 0,00 | -0,52 | -519,14 |
| 3-4 | | -0,52 | 0,00 | -0,52 | -519,14 |
| 4-5 | | -0,52 | 0,00 | -0,52 | -519,14 |
| 5-6 | | 0,86 | 0,00 | 0,86 | 864,21 |
| 6-7 | | 2,34 | 0,00 | 2,34 | 2338,47 |
| 7-8 | | 4,21 | 0,00 | 4,21 | 4207,74 |
| 8-9 | | 5,45 | 0,00 | 5,45 | 5447,79 |
| 9-10 | | 5,54 | 0,00 | 5,54 | 5539,53 |
| 10-11 | | 5,81 | 0,00 | 5,81 | 5809,26 |
| 11-12 | | 6,58 | 0,00 | 6,58 | 6578,97 |
| 12-13 | | 7,02 | 0,00 | 7,02 | 7020,07 |
| 13-14 | | 6,96 | 0,00 | 6,96 | 6955,67 |
| 14-15 | | 6,09 | 0,00 | 6,09 | 6086,74 |
| 15-16 | | 5,19 | 0,00 | 5,19 | 5185,25 |
| 16-17 | | 4,36 | 0,00 | 4,36 | 4360,63 |
| 17-18 | | 2,94 | 0,00 | 2,94 | 2939,19 |
| 18-19 | | 0,22 | 0,00 | 0,22 | 222,83 |
| 19-20 | | -0,52 | 0,00 | -0,52 | -519,14 |
| 20-21 | | -0,52 | 0,00 | -0,52 | -519,14 |
| 21-22 | | -0,52 | 0,00 | -0,52 | -519,14 |
| 22-23 | | -0,52 | 0,00 | -0,52 | -519,14 |
| 23-24 | | -0,52 | 0,00 | -0,52 | -519,14 |

Slika 30. Solarni toplinski dobici za karakteristični dan mjeseca srpnja

Ukupni solarni toplinski dobici za karakteristični dan mjeseca srpnja iznose 58,36 kWh.

| Unutarnji dobici | | |
|---------------------------------------|----------------------|------------------------|
| Vrsta proračuna | Proračun unutarnj... | |
| Ak [m ²] | 226,00 | |
| q _{spec} [W/m ²] | 5,00 | |
| Mjesec | t [h] | Q _{int} [kWh] |
| Srpanj | 744 | 840,72 |

Slika 31. Unutarnji toplinski dobici za mjesec srpanj

Unutarnji toplinski dobici za karakteristični dan mjeseca srpnja iznose 27,12 kWh.

Za vrijeme rada sustava od 17h dnevno, potrebna toplinska energija za hlađenje u mjesecu srpnju iznosi 2156,52 kWh.

Iznosi potrebne toplinske energije za hlađenje u ostalim mjesecima prikazani su u tablici.

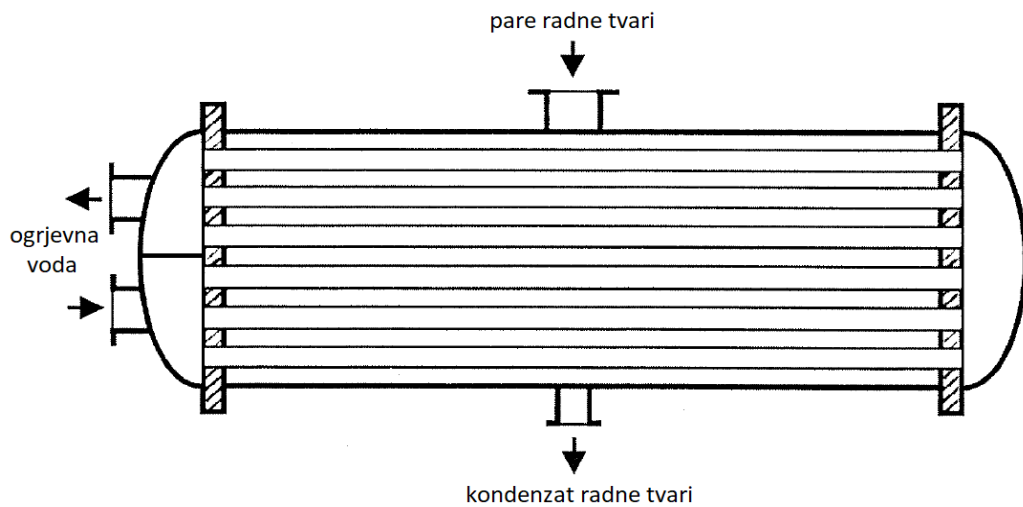
Tablica 14. Potrebna toplinska energija za hlađenje

| Mjesec | Potrebna toplinska energija za hlađenje, Q _{c,nd} [kWh/mj] |
|--|---|
| Siječanj | 0 |
| Veljača | 0 |
| Ožujak | 0 |
| Travanj | 0 |
| Svibanj | 162,80 |
| Lipanj | 1397,10 |
| Srpanj | 2156,52 |
| Kolovoz | 1687,51 |
| Rujan | 13,46 |
| Listopad | 0 |
| Studeni | 0 |
| Prosinac | 0 |
| Q_{c,nd} [kWh/god] | 5417,38 |
| Q''_{c,nd} [kWh/(m²god)] | 23,97 |

7. DIMENZIONIRANJE KOMPONENTI APSORPCIJSKE DIZALICE TOPLINE

7.1. Kondenzator

Odabrana je izvedba kondenzatora s cijevima u plaštu (eng. „shell and tube“) hlađen ogrjevnim vodom koja struji kroz cijevi kondenzatora te nakon prolaska odlazi prema spremniku ogrjevne vode. Proračun je proveden interativno u računalnom programu „Microsoft Excel“ prema [12].

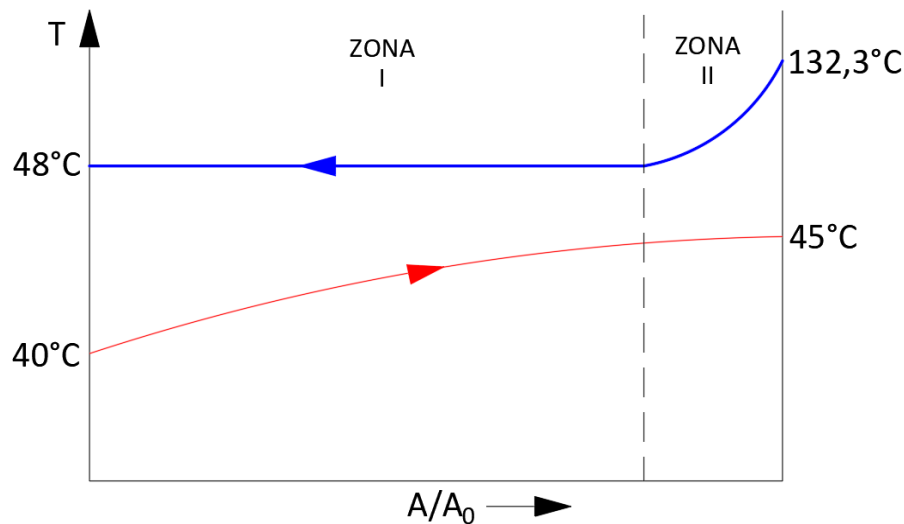


Slika 32. Kondenzator "shell and tube" [12]

Ulagani podaci za proračun:

- Toplinski učin kondenzatora: $\Phi_k = 10,06 \text{ kW}$
- Temperatura ogrjevne vode na ulazu u kondenzator: $\Theta_{w,ul} = 40 \text{ }^{\circ}\text{C}$
- Temperatura ogrjevne vode na izlazu iz kondenzatora: $\Theta_{w,izl} = 45 \text{ }^{\circ}\text{C}$
- Temperatura radne tvari na ulazu u kondenzator: $\Theta_{RT,ul} = 132,3 \text{ }^{\circ}\text{C}$
- Temperatura kondenzacije: $\Theta_k = 48 \text{ }^{\circ}\text{C}$
- Temperatura radne tvari na izlazu iz kondenzatora: $\Theta_{RT,izl} = 48 \text{ }^{\circ}\text{C}$
- Maseni protok radne tvari: $q_{m,RT} = 0,006644 \text{ kg/s}$

Budući da je na ulazu u kondenzator radna tvar (otopina NH₃/H₂O) u stanju pregrijanja, koeficijent prijelaza topline u tom području razlikovat će se od onog u području kondenzacije. Zbog toga se proračun provodi posebno za zonu kondenzacije (Zona I) i zonu pregrijanih para (Zona II).



Slika 33. Temperaturni režim na kondenzatoru apsorpcijske dizalice topline

Entalpija radne tvari na ulazu i izlazu iz kondenzatora izračunate poglavljju 5.2. iznose:

$$h_5 = 1662 \frac{\text{kJ}}{\text{kg}}$$

$$h_6 = 146,1 \frac{\text{kJ}}{\text{kg}}$$

Entalpija otopine NH₃/H₂O na izlazu iz Zone II (suhozasićena para) iznosi prema [13]:

$$h_V = 1337,6 \frac{\text{kJ}}{\text{kg}}$$

Toplinski tok u području pregrijanih para:

$$\Phi_{sup} = q_{m,RT} \cdot (h_5 - h_V) \quad [\text{kW}] \quad (69)$$

$$\Phi_{sup} = 0,006644 \cdot (1662 - 1337,6) = 2,16 \text{ kW}$$

Toplinski tok u području kondenzacije:

$$\begin{aligned}\Phi_{lat} &= q_{m,RT} \cdot (h_V - h_6) & [\text{kW}] & \quad (70) \\ \Phi_{lat} &= 0,006644 \cdot (1337,6 - 146,1) = 7,92 \text{ kW}\end{aligned}$$

Odabrani konstrukcijski parametri:

- Promjer plašta: $D = 0,1593 \text{ m}$
- Vanjski promjer cijevi: $d_e = 0,0102 \text{ m}$
- Debljina stijenke cijevi: $\delta_1 = 0,0012 \text{ m}$
- Unutarnji promjer cijevi: $d_i = 0,0078 \text{ m}$
- Razmak između cijevi: $s = 0,013 \text{ m}$
- Omjer vanjske i unutarnje površine: $A_e/A_i = 1,31$
- Materijal cijevi: čelik

Približan broj cijevi koji se može smjestiti u poprečni presjek kondenzatora:

$$n_t = 0,75 \cdot \left[\left(\frac{D}{s} \right)^2 - 1 \right] = 0,75 \cdot \left[\left(\frac{0,1593}{0,013} \right)^2 - 1 \right] = 112,9 \quad [-] \quad (71)$$

Odarban broj cijevi:

$$n_t = 88 \quad [-]$$

Srednja logaritamska temperaturna razlika:

$$\Delta\theta_m = \frac{(\theta_k - \theta_{w,ul}) - (\theta_k - \theta_{w,izl})}{\ln \left(\frac{\theta_k - \theta_{w,ul}}{\theta_k - \theta_{w,izl}} \right)} \quad [^\circ\text{C}] \quad (72)$$

$$\Delta\theta_m = \frac{(48 - 40) - (48 - 45)}{\ln \left(\frac{48 - 40}{48 - 45} \right)} = 5,10 \text{ } ^\circ\text{C}$$

Srednja temperatura vode:

$$\theta_{w,m} = \Delta\theta_k - \Delta\theta_m = 48 - 5,10 = 42,90 \text{ } ^\circ\text{C} \quad (73)$$

Termodinamička svojstva vode za srednju temperaturu $\theta_{w,m}$:

| | | | |
|--------------------------------|-------------|----------------------|-------------------|
| Gustoća | ρ_w | 991,03 | kg/m ³ |
| Specifični toplinski kapacitet | c_w | 4,180 | kJ/(kgK) |
| Toplinska vodljivost | λ_w | 0,632 | W/(mK) |
| Dinamička viskoznost | μ_w | $6,19 \cdot 10^{-4}$ | Pas |
| Kinematička viskoznost | ν_w | $6,24 \cdot 10^{-7}$ | m ² /s |

Maseni protok vode:

$$q_{m,w} = \frac{\Phi_k}{c_w \cdot (\theta_{w,izl} - \theta_{w,ul})} \quad [\text{kg/s}] \quad (74)$$

$$q_{m,w} = \frac{10,06}{4,18 \cdot (45 - 40)} = 0,481 \frac{\text{kg}}{\text{s}}$$

Broj prolaza vode:

$$n_p = 4 \quad [-]$$

Broj cijevi u jednom prolazu:

$$n_{t1} = \frac{n_t}{n_p} = \frac{88}{4} = 22 \quad [-] \quad (75)$$

Brzina vode u cijevima:

$$w_w = \frac{q_{m,w}}{\frac{d_i^2 \cdot \pi}{4} \cdot n_{t1} \cdot \rho_w} = \frac{0,481}{\frac{0,0078^2 \cdot \pi}{4} \cdot 22 \cdot 991,03} = 0,462 \frac{\text{m}}{\text{s}} \quad (88)$$

Reynolds-ov broj:

$$Re = \frac{w_w \cdot d_i}{\nu_w} = \frac{0,462 \cdot 0,0078}{6,24 \cdot 10^{-7}} = 5773 \quad [-] \quad (76)$$

Koeficijent prijelaza topline na strani vode:

$$\alpha_w = f_w \cdot B_w \cdot \frac{w_w^{0,8}}{d_i^{0,2}} \quad [\text{W}/(\text{m}^2\text{K})] \quad (77)$$

Faktor f_w za vrijednosti $Re < 10000$ iznosi:

$$f_w = -0,0101183 \cdot \left(\frac{Re}{1000}\right)^2 + 0,18978 \cdot \left(\frac{Re}{1000}\right) + 0,106247 \quad [-] \quad (78)$$

$$f_w = -0,0101183 \cdot \left(\frac{5773}{1000}\right)^2 + 0,18978 \cdot \left(\frac{5773}{1000}\right) + 0,106247 = 0,865$$

Faktor B_w ovisi o termodinamičkim svojstvima vode i računa se kao:

$$B_w = 0,023 \cdot \rho_w^{0,8} \cdot c_w^{0,4} \cdot \lambda_w^{0,6} \cdot \mu_w^{-0,4} \quad [-] \quad (79)$$

$$B_w = 0,023 \cdot 991,03^{0,8} \cdot 4180^{0,4} \cdot 0,632^{0,6} \cdot (6,19 \cdot 10^{-4})^{-0,4} = 2349,6$$

Koeficijent prijelaza topline na strani vode iznosi:

$$\alpha_w = 0,865 \cdot 2349,6 \cdot \frac{0,462^{0,8}}{0,0078^{0,2}} = 2892 \frac{W}{m^2 K}$$

Debljina stijenke cijevi:

$$\delta_1 = 0,001 m$$

Toplinska vodljivost materijala cijevi [14]:

$$\lambda_1 = 46,5 \frac{W}{mK} \quad [\text{W}/(\text{mK})]$$

Srednji promjer cijevi:

$$d_m = \frac{d_e + d_i}{2} = \frac{0,0102 + 0,0078}{2} = 0,009 m \quad (80)$$

Toplinski otpor kroz materijal stijenke cijevi:

$$R_1 = \left(\frac{\delta_1}{\lambda_1}\right) \cdot \left(\frac{d_i}{d_m}\right) = \left(\frac{0,0012}{46,5}\right) \cdot \left(\frac{0,0078}{0,009}\right) = 2,24 \cdot 10^{-5} \frac{m^2 K}{W} \quad (81)$$

Debljina sloja vapnenca:

$$\delta_2 = 0,0005 m$$

Toplinska vodljivost vapnenca [12]:

$$\lambda_2 = 2 \frac{W}{mK}$$

Toplinski otpor zbog sloja vapnenca:

$$R_2 = \frac{\delta_2}{\lambda_2} = \frac{0,0005}{2} = 0,00025 \frac{m^2 K}{W} \quad (82)$$

Ukupni toplinski otpor na strani vode:

$$\Sigma R_i = R_1 + R_2 = 2,24 \cdot 10^{-5} + 0,00025 = 0,0002724 \frac{m^2 K}{W} \quad (83)$$

Temperatura vode na izlazu iz zone I, odnosno na ulazu u zonu II:

$$\begin{aligned} \theta_{w,izl,sup} &= \theta_{w,izl} - \frac{\phi_{sup}}{c_w \cdot q_{m,w}} & [\text{°C}] \\ \theta_{w,izl,sup} &= 45 - \frac{2,16}{4,18 \cdot 0,481} = 43,93 \text{ °C} \end{aligned} \quad (84)$$

7.1.1. Proračun zone I

Srednja logaritamska temperaturna razlika u zoni I:

$$\begin{aligned} \Delta\theta_{m,I} &= \frac{(\theta_k - \theta_{w,ul}) - (\theta_k - \theta_{w,izl,sup})}{\ln\left(\frac{\theta_k - \theta_{w,ul}}{\theta_k - \theta_{w,izl,sup}}\right)} & [\text{°C}] \\ \Delta\theta_{m,I} &= \frac{(48 - 40) - (48 - 43,93)}{\ln\left(\frac{48 - 40}{48 - 43,93}\right)} = 5,82 \text{ °C} \end{aligned} \quad (85)$$

Termodinamička svojstva radne tvari za temperaturu kondenzacije [13]:

| | | | |
|-----------------------------|----------------|---------|-------------------|
| Gustoća | ρ_{RT} | 612 | kg/m ³ |
| Specifična latentna toplina | h_c | 1191,5 | kJ/(kg) |
| Toplinska vodljivost | λ_{RT} | 0,48 | W/(mK) |
| Dinamička viskoznost | μ_{RT} | 0,00017 | Pas |

Koeficijent prijelaza topline za kondenzaciju radne tvari unutar plašta:

$$\alpha_{RT} = 0,725 \cdot B \cdot d_e^{-0,25} \cdot f^{\frac{-1}{6}} \cdot \psi_c \cdot (\theta_k - \theta_z)^{-0,25} \quad [\text{W}/(\text{m}^2\text{K})] \quad (86)$$

Faktor B povezuje termodinamička svojstva radne tvari u stanju vrele kapljevine pri temperaturi kondenzacije:

$$B = \left(\frac{g \cdot h_c \cdot \rho_{RT}^2 \cdot \lambda_{RT}^3}{\mu_{RT}} \right)^{0,25} \quad [-] \quad (87)$$

$$B = \left(\frac{9,81 \cdot 1191,5 \cdot 10^3 \cdot 612^2 \cdot 0,15^3}{0,00017} \right)^{0,25} = 7305$$

Približan broj cijevi u vertikalnom stupcu:

$$f = \frac{0,9 \cdot D}{1,732 \cdot s} = \frac{0,9 \cdot 0,1593}{1,732 \cdot 0,013} = 8 \quad [-] \quad (88)$$

Faktor ψ_c za cijevi bez orebrenja iznosi $\psi_c = 1$.

Koeficijent prijelaza topline α_{RT} iznosi:

$$\alpha_{RT} = 0,725 \cdot 7305 \cdot 0,0102^{-0,25} \cdot 8^{\frac{-1}{6}} \cdot 1 \cdot (48 - \theta_z)^{-0,25} \quad [\text{W}/(\text{m}^2\text{K})] \quad (89)$$

$$\alpha_{RT} = 11859,36 \cdot (48 - \theta_z)^{-0,25}$$

Gustoća specifičnog toplinskog toka na strani radne tvari:

$$q_e = \alpha_{RT} \cdot (\theta_k - \theta_z) = 11859,36 \cdot (\theta_k - \theta_z)^{0,75} \quad [\text{W}/\text{m}^2] \quad (90)$$

Srednja temperatura vode u zoni I:

$$\theta_{wm,I} = \theta_k - \Delta\theta_{m,I} = 48 - 5,82 = 42,18 \text{ } ^\circ\text{C} \quad (91)$$

Gustoća specifičnog toplinskog toka na strani vode:

$$q_{i,I} = \frac{\theta_z - \theta_{wm,I}}{\frac{1}{\alpha_w} + \sum R_i} = \frac{\theta_z - 42,18}{\frac{1}{2892} + 0,0002724} \quad [\text{W}/\text{m}^2] \quad (92)$$

$$q_{i,I} = 1617,6 \cdot (\theta_z - 42,18) \quad [\text{W/m}^2]$$

Gustoća specifičnog toplinskog toka na strani vode u odnosu na vanjsku površinu:

$$q_{e,I} = q_{i,I} \cdot \frac{A_i}{A_e} = 1617,6 \cdot (\theta_z - 42,18) \cdot \frac{1}{1,31} \quad [\text{W/m}^2] \quad (93)$$

$$q_{e,I} = 1237 \cdot (\theta_z - 42,18)$$

Budući da sad imamo sustav od dvije jednadžbe s dvije nepoznanice, moguće je izračunati temperaturu stijenke cijevi θ_z :

$$\theta_z = 47,54^\circ\text{C}$$

Koeficijent prijelaza topline za kondenzaciju radne tvari unutar plašta iznosi:

$$\alpha_{RT} = 11859,36 \cdot (48 - 47,54)^{-0,25} = 14400 \frac{\text{W}}{\text{m}^2\text{K}}$$

Gustoća specifičnog toplinskog toka $q_{e,I}$ iznosi:

$$q_{e,I} = 6625 \frac{\text{W}}{\text{m}^2}$$

Koeficijent prolaza topline u zoni I:

$$k_{e,I} = \frac{q_{e,I}}{\theta_{wm,I}} = \frac{6625}{42,18} = 11439 \frac{\text{W}}{\text{m}^2\text{K}} \quad (94)$$

Potrebna površina izmjene topline u zoni I:

$$A_{eI} = \frac{\Phi_{lat}}{q_{e,I}} = \frac{7,92}{6,625} = 1,195 \text{ m}^2 \quad (95)$$

7.1.2. Proračun zone II

Srednja logaritamska temperaturna razlika u zoni II:

$$\Delta\theta_{m,II} = \frac{(\theta_{RT,ul} - \theta_{w,izl}) - (\theta_k - \theta_{w,izl,sup})}{\ln \left(\frac{\theta_{RT,ul} - \theta_{w,izl}}{\theta_k - \theta_{w,izl,sup}} \right)} \quad [\text{°C}] \quad (96)$$

$$\Delta\theta_{m,II} = \frac{(132,3 - 45) - (48 - 43,93)}{\ln \left(\frac{132,3 - 45}{48 - 43,93} \right)} = 27,15 \text{ °C}$$

Termodinamička svojstva [15]:

| | | | |
|--------------------------------|-----------------|----------------------|-------------------|
| Gustoća | ρ_{sup} | 10,45 | kg/m ³ |
| Specifični toplinski kapacitet | c_{sup} | 2,628 | kJ/(kgK) |
| Toplinska vodljivost | λ_{sup} | 0,042 | W/(mK) |
| Dinamička viskoznost | μ_{sup} | $1,41 \cdot 10^{-5}$ | Pas |
| Kinematicka viskoznost | ν_{sup} | $1,35 \cdot 10^{-6}$ | m ² /s |

Za početak, potrebno je prepostaviti transformiranu specifičnu gustoću toplinskog toka koja se odnosi na cijelu površinu kondenzatora:

$$q_{e,tr} = 4400 \frac{W}{m^2}$$

Ukupna vanjska površina izmjene topline:

$$A_e = \frac{\Phi_k}{q_{e,tr}} = \frac{10,06}{4} = 2,286 \text{ m}^2 \quad (97)$$

Ukupna unutarnja površina izmjene topline:

$$A_i = \frac{A_e}{\frac{A_e}{A_i}} = \frac{2,286}{1,31} = 1,748 \text{ m}^2 \quad (98)$$

Aktivna duljina cijevi:

$$L = \frac{A_i}{\pi \cdot d_i \cdot n_t} = \frac{1,748}{\pi \cdot 0,0078 \cdot 88} = 0,811 \text{ m} \quad (99)$$

Broj cijevi u horizontalnim redovima mijenja se kroz poprečni presjek kondenzatora. Ekvivalentni broj za šahovski raspored cijevi u gornjem dijelu kondenzatora, gdje je broj cijevi u redu manji:

$$n_{eqv} = 0,3 \cdot n_t^{0,5} = 0,3 \cdot 88^{-0,5} = 2,81 \quad [-] \quad (100)$$

Uzdužni presjek između cijevi:

$$A_s = n_{eqv} \cdot (s - d_e) \cdot L \quad [\text{m}^2] \quad (101)$$

$$A_s = 2,81 \cdot (0,013 - 0,0078) \cdot 0,811 = 0,00639 \text{ m}^2$$

Volumni protok radne tvari:

$$q_{v,RT} = \frac{q_{m,RT}}{\rho_{sup}} = \frac{0,006644}{10,45} = 0,000636 \frac{m^3}{s} \quad [m^3/s] \quad (102)$$

Brzina radne tvari:

$$w_{sup} = \frac{q_{v,RT}}{A_s} = \frac{0,000636}{0,00956} = 0,0995 \frac{m}{s} \quad [m/s] \quad (103)$$

Reynolds-ov broj:

$$Re = \frac{w_{sup} \cdot d_e}{\nu_{sup}} = \frac{0,0995 \cdot 0,0102}{1,35 \cdot 10^{-6}} = 750,9 \quad [-] \quad (104)$$

Prandtl-ov broj:

$$Pr = \frac{\mu_{sup} \cdot c_{sup}}{\lambda_{sup}} = \frac{1,41 \cdot 10^{-5} \cdot 2,628}{0,042} = 0,895 \quad [-] \quad (105)$$

Za vrijednost $100 < Re < 1000$ Nusselt-ov broj računa se prema izrazu:

$$Nu = 0,71 \cdot Re^{0,5} \cdot Pr^{0,36} \quad [-] \quad (106)$$

$$Nu = 0,71 \cdot 750,9^{0,5} \cdot 0,895^{0,36} = 18,69$$

Koeficijent prijelaza topline:

$$\alpha_{sup} = \frac{Nu \cdot \lambda_{sup}}{d_e} = \frac{18,69 \cdot 0,042}{0,0102} = 76,04 \frac{W}{m^2 K} \quad (107)$$

Koeficijent prolaza topline zone II:

$$k_{e,II} = \frac{1}{\frac{1}{\alpha_{sup}} + \left(\sum R_i + \frac{1}{\alpha_w} \right)} \quad [W/(m^2 K)] \quad (108)$$

$$k_{e,II} = \frac{1}{\frac{1}{76,04} + \left(0,0002724 + \frac{1}{2892} \right)} = 72,62 \frac{W}{m^2 K}$$

Specifični toplinski tok u zoni II:

$$q_{e,II} = k_{e,II} \cdot \Delta \theta_{m,II} = 72,62 \cdot 27,15 = 1972 \frac{W}{m^2} \quad (109)$$

Potrebna površina izmjene topline u zoni II:

$$A_{e,II} = \frac{\Phi_{sup}}{q_{e,II}} = \frac{2,16}{1,972} = 1,093 \text{ m}^2 \quad [\text{m}^2] \quad (110)$$

Ukupna potrebna površina izmjene topline:

$$A_e = A_{e,I} + A_{e,II} = 1,195 + 1,093 = 2,288 \text{ m}^2 \quad [\text{m}^2] \quad (111)$$

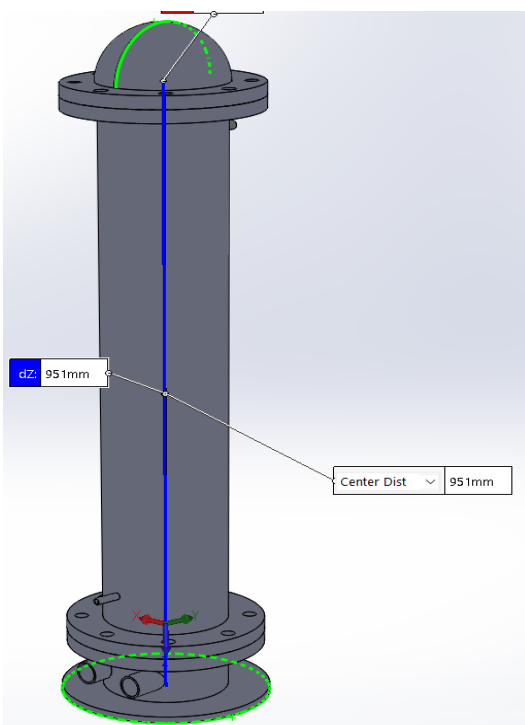
Transformirana specifična gustoća toplinskog toka:

$$q_{e,tr} = \frac{\phi_k}{A_e} = \frac{10,06 \cdot 10^3}{2,288} = 4397 \frac{\text{W}}{\text{m}^2} \quad [\text{W/m}^2] \quad (111)$$

Dobivena transformirana specifična gustoća toplinskog toka gotovo je jednaka pretpostavljenoj vrijednosti od 4400.

Dimenzije kondenzatora:

- Promjer plašta: $D = 159,3 \text{ mm}$
- Duljina cijevi: $L = 811 \text{ mm}$



Slika 34. 3D prikaz kondenzatora (računalni program "SolidWorks")

7.1.3. Proračun pada tlaka

Pad tlaka na strani vode računa se prema izrazu [12]:

$$\Delta p = \left(\xi \cdot \frac{L}{d_i} + \xi_{in} + 1 + \frac{\xi_{in} + 1}{n_p} \right) \cdot n_p \cdot \frac{\rho_w \cdot w_w^2}{2} \quad [\text{Pa}] \quad (111)$$

ξ označava faktor linijskog otpora cijevi i iznosi:

$$\xi = \frac{0,3164}{Re^{0,25}} = \frac{0,3164}{5773^{0,25}} = 0,0363 \quad [-] \quad (111)$$

Faktor lokalnog hidrauličkog otpora (ulaz vode u cijevi) ξ_{in} iznosi:

$$\xi_{in} = 0,5 \quad [-]$$

Ukupni pad tlaka na strani vode iznosi:

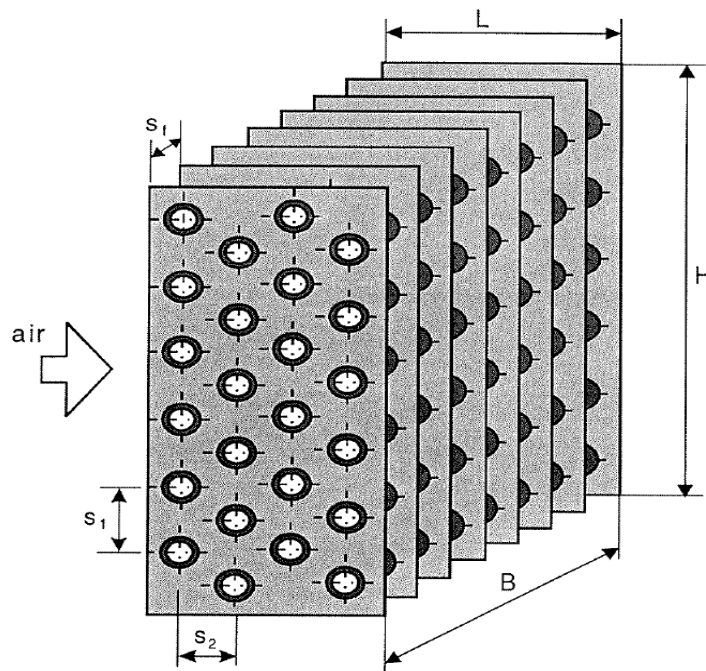
$$\Delta p = \left(0,0363 \cdot \frac{0,811}{0,0078} + 0,5 + 1 + \frac{0,5 + 1}{4} \right) \cdot 4 \cdot \frac{991,03 \cdot 0,462^2}{2} = 2390 \text{ Pa}$$

7.2. Isparivač

Proračun isparivača proveden je iterativno u računalnom programu „Microsoft Excel“ prema [16].

Ulazni podaci za proračun:

- Toplinski učin isparivača: $\Phi_{isp} = 9,59 \text{ kW}$
- Temperatura zraka na ulazu u isparivač: $\theta_{zr,ul} = 2 \text{ }^\circ\text{C}$
- Temperatura zraka na izlazu iz isparivača: $\theta_{zr,izl} = -1 \text{ }^\circ\text{C}$
- Temperatura isparavanja: $\theta_{isp} = -8 \text{ }^\circ\text{C}$



Slika 35. Prikaz konstrukcijskih parametara lamelnog isparivača [16]

Odabrani konstrukcijski parametri:

- Vanjski promjer cijevi: $d_e = 0,0102 \text{ m}$
- Debljina stijenke cijevi: $\delta = 0,0012 \text{ m}$
- Unutarnji promjer cijevi: $d_i = 0,0078 \text{ m}$
- Vertikalni razmak cijevi: $s_1 = 0,026 \text{ m}$
- Horizontalni razmak cijevi: $s_2 = 0,022 \text{ m}$
- Razmak između lamela: $s_f = 0,003 \text{ m}$
- Debljina lamela: $f_t = 0,0005 \text{ m}$
- Broj redova cijevi: $i_r = 2$
- Broj cijevi u jednom redu: $i_t = 36$
- Broj ulaznih cijevi: $i_{in} = 6$
- Materijal cijevi: čelik
- Materijal lamela: čelik

Površina na vanjskoj stijenci cijevi između rebara:

$$A_{mt} = \pi \cdot d_e \cdot \left(1 - \frac{f_t}{s_f}\right) = \pi \cdot 0,0102 \cdot \left(1 - \frac{0,0005}{0,003}\right) = 0,027 \frac{m^2}{m} \quad (112)$$

Površina rebra po metru cijevi:

$$A_f = 2 \cdot \frac{s_1 \cdot s_2 - \pi \cdot \frac{d_e^2}{4}}{s_f} = 2 \cdot \frac{0,026 \cdot 0,022 - \pi \cdot \frac{0,0102^2}{4}}{0,003} = 0,327 \frac{m^2}{m} \quad (113)$$

Vanjska površina prijelaza topline za 1m cijevi:

$$A_{e1} = A_{mt} + A_f = 0,027 + 0,327 = 0,354 \frac{m^2}{m} \quad (114)$$

Unutarnja površina prijelaza topline za 1m cijevi:

$$A_{i1} = \pi \cdot d_i = \pi \cdot 0,0078 = 0,025 \frac{m^2}{m} \quad (115)$$

Omjer vanjske i unutarnje površine prijelaza topline:

$$\beta = \frac{A_{e1}}{A_{i1}} = \frac{0,354}{0,025} = 14,43 \quad [-] \quad (116)$$

Visina izmjenjivača:

$$H = s_1 \cdot i_t = 0,026 \cdot 36 = 0,936 \text{ m} \quad (117)$$

Dubina izmjenjivača:

$$L = s_2 \cdot i_r = 0,022 \cdot 2 = 0,044 \text{ m} \quad (118)$$

Srednja logaritamska temperaturna razlika:

$$\Delta\theta_m = \frac{\theta_{zr,ul} - \theta_{zr,izl}}{\ln \frac{\theta_{zr,ul} - \theta_{isp}}{\theta_{zr,izl} - \theta_{isp}}} = \frac{2 - (-1)}{\ln \frac{2 - (-8)}{-1 - (-8)}} = 8,41 \text{ } ^\circ\text{C} \quad (119)$$

Srednja temperatura zraka:

$$\theta_{zr,m} = \theta_{isp} + \Delta\theta_m = -8 + 8,41 = 0,41 \text{ } ^\circ\text{C} \quad (120)$$

7.2.1. Prijelaz topline na strani radne tvari

Termodinamička svojstva radne tvari pri temperaturi isparavanja prema [13]:

| | | | |
|--------------------------------|----------------|----------------------|-------------------|
| Gustoća | ρ_{RT} | 700 | kg/m ³ |
| Specifični toplinski kapacitet | c_{RT} | 4,46 | kJ/(kgK) |
| Toplinska vodljivost | λ_{RT} | 0,54 | W/(mK) |
| Dinamička viskoznost | μ_{RT} | $2,99 \cdot 10^{-4}$ | Pas |
| Kinematicka viskoznost | ν_{RT} | $4,28 \cdot 10^{-7}$ | m ² /s |

Maseni protok radne tvari:

$$q_{m,RT} = 0,006644 \frac{kg}{s}$$

Volumni protok radne tvari:

$$q_{v,RT} = \frac{q_{m,RT}}{\rho_{RT}} = \frac{0,006644}{700} = 9,49 \cdot 10^{-6} \frac{m^3}{s} \quad (121)$$

Brzina radne tvari u cijevima:

$$w_{RT} = \frac{q_{v,RT}}{i_{in} \cdot \pi \cdot \frac{d_i^2}{4}} = \frac{9,49 \cdot 10^{-6}}{6 \cdot \pi \cdot \frac{0,0078^2}{4}} = 0,033 \frac{m}{s} \quad (122)$$

Reynoldsov broj:

$$Re = \frac{w_{RT} \cdot d_i}{\nu_{RT}} = \frac{0,033 \cdot 0,0078}{4,28 \cdot 10^{-7}} = 604 \quad [-] \quad (123)$$

Koeficijent prijelaza topline na strani radne tvari:

$$\alpha_{RT} = \alpha_{RT1} \cdot \left[1 + \left(\frac{\alpha_{RT2}}{\alpha_{RT1}} \right)^{1,5} \right]^{\frac{2}{3}} \quad [W/(m^2 K)] \quad (124)$$

Koeficijent α_{RT1} računa se prema izrazu:

$$\alpha_{RT1} = B_{RT} \cdot \frac{w_{RT}^{0,8}}{d_i^{0,2}} \quad [W/(m^2 K)] \quad (125)$$

Koeficijent B_{RT} ovisi o termodinamičkim svojstvima radne tvari i iznosi:

$$B_{RT} = 0,023 \cdot \rho_{RT}^{0,8} \cdot c_{RT}^{0,4} \cdot \lambda_{RT}^{0,6} \cdot \mu_{RT}^{-0,4} \quad [-] \quad (126)$$

$$B_{RT} = 0,023 \cdot 700^{0,8} \cdot 4460^{0,4} \cdot 0,54^{0,6} \cdot (2,99 \cdot 10^{-4})^{-0,4} = 2221$$

Koeficijent α_{RT1} iznosi:

$$\alpha_{RT1} = B_{RT} \cdot \frac{w_{RT}^{0,8}}{d_i^{0,2}} = 2221 \cdot \frac{0,033^{0,8}}{0,00787^{0,2}} = 383,7 \frac{W}{m^2 K}$$

Koeficijent α_{RT2} računa se prema izrazu:

$$\alpha_{RT2} = 2,2 \cdot p_{isp}^{0,21} \cdot q_i^{0,7} \quad [W/(m^2 K)] \quad (127)$$

Prepostavljeni specifični toplinski tok q_i :

$$q_i = 3320 \frac{W}{m^2}$$

Uz prepostavljeni toplinski tok koeficijent α_{RT2} iznosi:

$$\alpha_{RT2} = 2,2 \cdot p_{isp}^{0,21} \cdot q_i^{0,7} = 2,2 \cdot 3,15^{0,21} \cdot 3320^{0,7} = 816,3 \frac{W}{m^2 K}$$

Koeficijent prijelaza topline na strani radne tvari iznosi:

$$\alpha_{RT} = 383,7 \cdot \left[1 + \left(\frac{816,3}{383,7} \right)^{1,5} \right]^{\frac{2}{3}} = 983,4 \frac{W}{m^2 K}$$

7.2.2. Prijelaz topline na strani zraka

Termodinamička svojstva suhog zraka za temperaturu $\theta_{zr,m}$:

| | | | |
|--------------------------------|----------------|----------------------|-------------------|
| Gustoća | ρ_{zr} | 1,274 | kg/m ³ |
| Specifični toplinski kapacitet | c_{zr} | 1005,7 | kJ/(kgK) |
| Toplinska vodljivost | λ_{zr} | 0,024 | W/(mK) |
| Dinamička viskoznost | μ_{zr} | $1,72 \cdot 10^{-5}$ | Pas |
| Kinematička viskoznost | ν_{zr} | $1,35 \cdot 10^{-5}$ | m ² /s |

Uz pretpostavku relativne vlažnosti zraka od 80% i tlaka od 1,0 bar vrijednost entalpije i sadržaja vlage zraka na ulazu u isparivač iznose [14] [17]:

$$x_{zr,ul} = 3,536 \frac{g}{kg}$$

$$h_{zr,ul} = 10,89 \frac{kJ}{kg}$$

Faktor onečišćenja na strani zraka:

$$R_o = 0,001 \frac{m^2 K}{W}$$

Faktor onečišćenja na strani radne tvari:

$$R_i = 0 \frac{m^2 K}{W}$$

Toplinski otpor cijevi:

$$R_t = \frac{\delta_t}{\lambda_t} = \frac{0,0012}{46,5} = 2,58 \cdot 10^{-5} \frac{m^2 K}{W}$$

gdje je λ_t toplinska vodljivost materijala cijevi:

$$\lambda_t = 46,5 \frac{W}{mK} \quad [\text{W/(mK)}]$$

Temperatura vanjske stijenke cijevi:

$$\theta_s = \theta_{isp} + \left(\frac{1}{\alpha_{RT}} + R_i + R_t \cdot \frac{d_i}{d_m} + R_o \cdot \frac{1}{\beta} \right) \quad [\text{°C}] \quad (128)$$

gdje je d_m srednji promjer cijevi:

$$d_m = \frac{d_e + d_i}{2} = \frac{0,0102 + 0,0078}{2} = 0,009 m \quad (129)$$

Temperatura vanjske stijenke cijevi iznosi:

$$\theta_s = -8 + \left(\frac{1}{983,4} + 0 + 2,58 \cdot 10^{-5} \cdot \frac{0,0078}{0,009} + 0,001 \cdot \frac{1}{14,43} \right) = -4,32 \text{ °C}$$

Temperatura zraka uz stijenku bit će jednaka temperaturi stijenke, a ona odgovara temperaturi zasićenja za određene vanjske uvjete. Entalpija i sadržaj vlage na toj temperaturi iznose [14]:

$$x_s = 2,66 \frac{g}{kg}$$

$$h_s = 2,28 \frac{kJ}{kg}$$

Sad je moguće izračunati svojstva zraka na izlazu iz isparivača (sadržaj vlage i specifična entalpija):

$$x_{zr,izl} = x_{zr,ul} - (x_{zr,ul} - x_s) \cdot \left(\frac{\theta_{zr,ul} - \theta_{zr,izl}}{\theta_{zr,ul} - \theta_s} \right) \quad [g/kg] \quad (130)$$

$$x_{zr,izl} = 3,356 - (3,356 - 2,66) \cdot \left(\frac{2 - (-1)}{2 - (-4,32)} \right) = 3,119 \frac{g}{kg}$$

$$h_{zr,izl} = 1,005 \cdot \theta_{zr,izl} + x_{zr,izl} \cdot (2500 + 1,863 \cdot \theta_{zr,izl}) \quad [kJ/kg] \quad (131)$$

$$h_{zr,izl} = 1,005 \cdot (-1) + \frac{3,119}{10^3} \cdot (2500 + 1,863 \cdot (-1)) = 6,79 \frac{kJ}{kg}$$

Unutarnja površina izmjene topline:

$$A_i = \frac{\Phi_{isp}}{q_i} = \frac{9,59 \cdot 10^3}{3320} = 2,887 m^2 \quad (132)$$

Ukupna duljina cijevi:

$$L_{ov} = \frac{A_i}{A_{i1}} = \frac{2,887}{0,025} = 117,817 m \quad (133)$$

Duljina cijevi u jednom redu:

$$L_1 = \frac{L_{ov}}{i_r} = \frac{117,87}{2} = 58,909 m \quad (134)$$

Širina izmjenjivača:

$$B = \frac{L_1}{i_t} = \frac{58,909}{36} = 1,636 m \quad (135)$$

Maseni protok zraka:

$$q_{m,zr} = \frac{\Phi_{isp}}{h_{zr,ul} - h_{zr,izl}} = \frac{9,59}{10,89 - 6,79} = 2,335 \frac{kg}{s} \quad [kg/s] \quad (136)$$

Specifični volumen ulaznog zraka:

$$\begin{aligned} v_{zr,ul} &= \frac{R_{zr} \cdot T_{zr,ul}}{p_{zr}} (1 + 1,6078 \cdot x_{zr,ul}) \quad [m^3/kg] \quad (137) \\ v_{zr,ul} &= \frac{287,1 \cdot (273,15 + 2)}{10^5} \left(1 + 1,6078 \cdot \frac{3,536}{10^3} \right) = 0,794 \frac{m^3}{kg} \end{aligned}$$

Volumni protok zraka:

$$q_{v,zr} = q_{m,zr} \cdot v_{zr,ul} = 2,335 \cdot 0,794 = 1,855 \frac{m^3}{s} \quad (138)$$

Najmanja površina između cijevi i rebara kroz koju prolazi zrak:

$$\begin{aligned} A_Z &= L_1 \cdot (s_1 - d_e) \cdot \left(1 - \frac{f_t}{s_f} \right) \quad [m^2] \quad (139) \\ A_Z &= 58,909 \cdot (0,026 - 0,0102) \cdot \left(1 - \frac{0,0005}{0,003} \right) = 0,776 m^2 \end{aligned}$$

Brzina kroz najmanji presjek:

$$w = \frac{q_{v,zr}}{A_Z} = \frac{1,855}{0,776} = 2,39 \frac{m}{s} \quad (140)$$

Za slučaj kad je $d_e < 16 mm$, vrijednost Nusselt-ovog broja računa se prema izrazu:

$$Nu = C_1 \cdot \left(\frac{L}{d_{ekv}} \right)^m \cdot Re^n \quad [-] \quad (141)$$

Ekvivalentni promjer:

$$d_{ekv} = 2 \cdot \frac{(s_1 - d_e) \cdot (s_f - f_t)}{s_1 - d_e + s_f - f_t} \quad [m] \quad (142)$$

$$d_{ekv} = 2 \cdot \frac{(0,026 - 0,0102) \cdot (0,003 - 0,0005)}{0,026 - 0,0102 + 0,003 - 0,0005} = 0,00432 m$$

Reynolds-ov broj:

$$Re = \frac{w \cdot d_{ekv}}{\nu_{zr}} = \frac{2,69 \cdot 0,00432}{1,35 \cdot 10^{-5}} = 763 \quad [-] \quad (143)$$

Eksponenti n i m :

$$n = 0,45 + 0,0066 \cdot \left(\frac{L}{d_{ekv}} \right) \quad [-] \quad (144)$$

$$n = 0,45 + 0,0066 \cdot \left(\frac{0,044}{0,000432} \right) = 0,517 \quad [-]$$

$$m = -0,28 + 0,08 \cdot \left(\frac{Re}{1000} \right) \quad [-] \quad (145)$$

$$m = -0,28 + 0,08 \cdot \left(\frac{763}{1000} \right) = -0,219 \quad [-]$$

Koeficijent C_1 :

$$C_1 = C_{1A} \cdot C_{1B} \quad [-] \quad (146)$$

Koeficijent C_{1A} ovisi o odnosu $\frac{L}{d_{ekv}}$ i za $\frac{L}{d_{ekv}} = 10,19$ iznosi:

$$C_{1A} = 0,323595 \quad [-]$$

Koeficijent C_{1B} računa se kao:

$$C_{1B} = 1,36 - 0,24 \cdot \left(\frac{Re}{1000} \right) \quad [-] \quad (147)$$

$$C_{1B} = 1,36 - 0,24 \cdot \left(\frac{763}{1000} \right) = 1,176806$$

$$C_1 = 0,323595 \cdot 1,176806 = 0,380809 \quad [-]$$

Nusselt-ov broj iznosi:

$$Nu = 0,380809 \cdot \left(\frac{0,044}{0,0043} \right)^{-0,113} \cdot 763^{0,585} = 7,10 \quad [-]$$

Koeficijent prijelaza topline na strani zraka:

$$\alpha_{zr} = 1,1 \cdot Nu \cdot \frac{\lambda_{zr}}{d_{ekv}} = 1,1 \cdot 7,10 \cdot \frac{0,024}{0,0043} = 44,11 \frac{W}{m^2 K} \quad (148)$$

Budući da je $x_{zr,ul} > x_{zr,izl}$ na vanjskoj površini izmjenjivača dolazi do stvaranja kondenzata što poboljšava izmjenu topline pa je dobiveni koeficijent prijelaza topline potrebno pomnožiti faktorom ξ_w , koji iznosi:

$$\xi_w = 1 + 2500 \cdot \frac{x_{zr,ul} - x_s}{\theta_{zr,ul} - \theta_s} \quad [-] \quad (149)$$

$$\xi_w = 1 + 2500 \cdot \frac{\frac{3,536 - 2,66}{10^3}}{2 - (-4,32)} = 1,347$$

Uvećani koeficijent prijelaza topline:

$$\alpha_{zr,w} = \alpha_{zr} \cdot \xi_w = 44,11 \cdot 1,347 = 59,43 \frac{W}{m^2 K} \quad (150)$$

Koeficijent prijelaza topline sveden na unutarnji promjer cijevi:

$$\alpha_{zr,i} = \alpha_{zr,w} \cdot \frac{A_f \cdot E \cdot C_k + A_{mt}}{A_{i1}} \quad [W/(m^2 K)] \quad (151)$$

Koeficijent otpora između cijevi i rebara:

$$C_k = 0,98 \quad [-]$$

Učinkovitost rebara:

$$E = \frac{\tanh(m_f \cdot h_f)}{m_f \cdot h_f} \quad [-] \quad (152)$$

Faktor m_f računa se kao:

$$m_f = \sqrt{\frac{2 \cdot \alpha_{zr,w}}{f_t \cdot \lambda_{Al}}} = \sqrt{\frac{2 \cdot 59,43}{0,0005 \cdot 46,5}} = 71,5 m^{-1} \quad (153)$$

Toplinska vodljivost materijala rebara:

$$\lambda_c = 46,5 \frac{W}{mK} \quad [W/(mK)]$$

Izvedena visina rebara:

$$h_f = 0,5 \cdot d_e \cdot (\rho_f - 1) \cdot (1 + 0,35 \cdot \ln(\rho_f)) \quad [m] \quad (154)$$

Za šahovski raspored cijevi vrijedi:

$$A_f = s_1 = 0,026 \text{ m} \quad (155)$$

$$B_f = \sqrt{\left(\frac{s_1}{2}\right)^2 + s_2^2} = \sqrt{\left(\frac{0,026}{2}\right)^2 + 0,022^2} = 0,0256 \text{ m} \quad (156)$$

$$\rho_f = 1,27 \cdot \left(\frac{B_f}{d_e}\right) \cdot \sqrt{\frac{A_f}{B_f} - 0,3} \quad [-] \quad (157)$$

$$\rho_f = 1,27 \cdot \left(\frac{0,0256}{0,0102}\right) \cdot \sqrt{\frac{0,026}{0,0256} - 0,3} = 2,7$$

Izvedena visina rebra iznosi:

$$h_f = 0,5 \cdot 0,0102 \cdot (2,7 - 1) \cdot (1 + 0,35 \cdot \ln(2,7)) = 0,0116 \text{ m}$$

Učinkovitost rebra iznosi:

$$E = \frac{\tanh(m_f \cdot h_f)}{m_f \cdot h_f} = \frac{\tanh(71,5 \cdot 0,0116)}{71,5 \cdot 0,0116} = 0,819 \quad [-]$$

Koeficijent prijelaza topline sveden na unutarnji promjer cijevi:

$$\alpha_{zr,i} = 59,43 \cdot \frac{0,327 \cdot 0,891 \cdot 0,98 + 0,027}{0,025} = 701,04 \frac{W}{m^2 K}$$

Koeficijent prolaza topline sveden na unutarnju površinu:

$$k_i = \frac{1}{\frac{1}{\alpha_{zr,i}} + R_o \cdot \frac{1}{\beta} + R_t \cdot \frac{d_i}{d_m} + R_i + \frac{1}{\alpha_{RT}}} \quad [\text{W}/(\text{m}^2 \text{K})] \quad (158)$$

$$k_i = \frac{1}{\frac{1}{701,04} + 0,001 \cdot \frac{1}{14,43} + 2,58 \cdot 10^{-5} \cdot \frac{0,0078}{0,009} + 0 + \frac{1}{983,4}} = 394,5 \frac{W}{m^2 K}$$

Specifični toplinski tok:

$$q_{i,stv} = k_i \cdot \Delta \theta_m = 394,5 \cdot 8,41 = 3318 \frac{W}{m^2} \quad (159)$$

Stvarni specifični toplinski tok gotovo je jednak pretpostavljenom od 3320 W/m^2 .

Stvarna unutarnja površina izmjene topline:

$$A_{i,stv} = \frac{\Phi_{isp}}{q_{i,stv}} = \frac{9,59 \cdot 10^3}{3,318} = 2,889 \text{ m}^2 \quad (160)$$

Koeficijent prolaza topline sveden na vanjsku površinu:

$$k_e = \frac{k_i}{\beta} = \frac{394,5}{14,43} = 27,34 \frac{W}{m^2 K} \quad (161)$$

Vanjska površina izmjene topline:

$$A_e = A_{i,stv} \cdot \beta = 2,889 \cdot 14,43 = 41,681 \text{ m}^2 \quad (162)$$

Potrebna širina izmjenjivača:

$$B_{potr} = B \cdot \frac{q_i}{q_{i,stv}} = 1,422 \cdot \frac{3320}{3318} = 1,637 \text{ m} \quad (163)$$

Čeona brzina zraka:

$$w_f = \frac{q_{v,zr}}{B \cdot H} = \frac{1,855}{1,637 \cdot 0,936} = 1,21 \frac{m}{s} \quad (164)$$

Dimenzije isparivača:

- Visina: $H = 936 \text{ mm}$
- Širina: $B = 1637 \text{ mm}$
- Dubina: $L = 44 \text{ mm}$

7.2.3. Proračun pada tlaka

Pad tlaka za šahovski raspored cijevi računa se kao:

$$\Delta p = 0,233 \cdot i_r \left(\frac{s_2}{s_f - f_t} \right) \cdot (w \cdot \rho_{zr})^{1,8} \quad [\text{Pa}] \quad (165)$$

$$\Delta p = 0,233 \cdot 2 \cdot \left(\frac{0,022}{0,003 - 0,0005} \right) \cdot (21,21 \cdot 1,274)^{1,8} = 8,64 \text{ Pa}$$

Zbog kompaktne konstrukcije dizalice topline, isparivač je izведен iz tri međusobno spojene sekcije.



Slika 36. 3D prikaz isparivača (računalni program "SolidWorks")

7.3. Spremnik ogrjevne vode

Volumen spremnika tople vode iznosi 10 – 20 litara po kW ogrjevnog učina. Budući da potrebni ogrjevni učin za grijanje prostora iznosi 30,364 kW, volumen akumulacijskog spremnika tople vode približno iznosi:

$$V_{spr} = 15 \cdot 30,364 = 15 \cdot 30,364 = 455,46 \text{ l} \quad (166)$$

Odabran je akumulacijski spremnik proizvođača „Centrometal“, model „CAS 501“, sljedećih dimenzija [18]:

- Visina: 1670 mm
- Vanjski promjer: 850 mm
- Volumen: 475 l



Slika 37. Spremnik "Centrometal CAS 501"

7.4. Spremnik PTV-a

Za izračunati potrebni kapacitet izvora topline za zagrijavanje PTV-a od 2,013 kW dobiva se energija akumulirana u spremniku:

$$Q_{spr} = Z_a \cdot \Phi_{PTV} = 2 \cdot 2,013 = 4,026 \text{ kWh} \quad (167)$$

Volumen spremnika prema [8] može se izračunati kao:

$$V_{spr} = 24,5 \cdot Q_{PTV} \cdot b \quad [\text{l}] \quad (168)$$

gdje je b faktor dodatka zbog mrtvog prostora ispod grijane površine spremnika i iznosi $b = 1,1$.

Potrebni volumen spremnika iznosi:

$$V_{spr} = 24,5 \cdot 4,026 \cdot 1,1 = 108,50 \text{ l} \quad (169)$$

Odabran je spremnik proizvođača „Centrometal“, model „TB 120“, sljedećih dimenzija [19]:

- Visina: 1020 mm
- Vanjski promjer: 640 mm

- Volumen: 121 l



Slika 38. Spremnik "Centrometal TB 120"

7.5. Cjevovodi dizalice topline (krug radne tvari)

Ulagne veličine potrebne za dimenzioniranje cjevovoda su:

- gustoća radne tvari,
- maseni protok radne tvari.
- pretpostavljena brzina strujanja.

Na temelju ovih veličina moguće je izračunati volumni protok radne tvari:

$$q_{v,RT} = \frac{q_{m,RT}}{\rho_{RT}} \quad [\text{m}^3/\text{s}] \quad (170)$$

Potrebni unutarnji promjer cijevi:

$$d_{u,potr.} = \sqrt{\frac{4 \cdot q_{v,RT}}{w_{u,pretp.} \cdot \pi}} \quad [\text{m}] \quad (171)$$

Nakon izračuna potrebnog promjera, odabire se cijev standardnih dimenzija, a stvarna brzina strujanja računa se kao:

$$w_{stv.} = \frac{q_{v,RT}}{\frac{d_{u,stv.}^2 \cdot \pi}{4}} \quad [\text{m/s}] \quad (172)$$

Tablica 15. Dimenzije cjevovoda u krugu apsorber-pumpa-generator-apsorber

| | Od apsorbera do pumpe | Od pumpe do generatora | Od generatora do PV | Od PV do apsorbera |
|--|-------------------------------------|-------------------------------------|-------------------------------------|-------------------------------------|
| Gustoća [kg/m ³] | 823,1 | 823,1 | 778,7 | 840,4 |
| Maseni protok [kg/s] | 0,03012 | 0,03012 | 0,0238 | 0,02348 |
| Pretpostavljena brzina strujanja [m/s] | 0,3 | 0,3 | 0,3 | 0,3 |
| Volumni protok [m ³ /s] | $3,66 \cdot 10^{-5}$ | $3,66 \cdot 10^{-5}$ | $3,02 \cdot 10^{-5}$ | $2,79 \cdot 10^{-5}$ |
| Potrebbni unutarnji promjer cijevi [mm] | 12,46 | 12,46 | 11,31 | 10,89 |
| Odabrana cijev | DN10 (Φ17,2x1,8mm) | DN10 (Φ17,2x1,8mm) | DN10 (Φ17,2x1,8mm) | DN10 (Φ17,2x1,8mm) |
| Stvarna brzina strujanja [m/s] | 0,25 | 0,25 | 0,21 | 0,19 |

Tablica 16. Dimenzije cjevovoda u krugu generator-kondenzator-isparivač-apsorber

| | Od generatora do kondenzatora | Od kondenzatora do PV | Od PV do isparivača | Od isparivača do apsorbera |
|--|--------------------------------------|------------------------------|------------------------------|-----------------------------------|
| Gustoća [kg/m ³] | 10,45 | 612 | 700 | 2,59 |
| Maseni protok [kg/s] | 0,006644 | 0,006644 | 0,006644 | 0,006644 |
| Prepostavljena brzina strujanja [m/s] | 8 | 0,3 | 0,3 | 8 |
| Volumni protok [m ³ /s] | $6,36 \cdot 10^{-4}$ | $1,09 \cdot 10^{-5}$ | $9,49 \cdot 10^{-6}$ | $2,57 \cdot 10^{-3}$ |
| Potrebni unutarnji promjer cijevi [mm] | 10,06 | 5,26 | 4,92 | 20,21 |
| Odabrana cijev | DN8 (Φ13,5x1,8mm) | DN6 (Φ10,2x1,6mm) | DN6 (Φ10,2x1,6mm) | DN20 (Φ26,9x2,3mm) |
| Stvarna brzina strujanja [m/s] | 8,26 | 0,28 | 0,25 | 6,57 |

7.6. Cjevovod kruga ogrjevne vode

Ogrjevna voda iz akumulacijskog spremnika zagrijava se u kondenzatoru i apsorberu. Budući da su kondenzator i apsorber spojeni paralelno, voda iz spremnika preko razdjelnika se usmjerava u kondenzator odnosno apsorber.

7.6.1. Spremnik ogrjevne vode – razdjelnik dizalice topline

Gustoća vode:

$$\rho_w = 991,2 \frac{kg}{m^3}$$

Maseni protok vode:

$$q_{m,w} = \frac{\Phi_k + \Phi_{aps}}{c_w \cdot \Delta \theta_w} = \frac{10,06 + 22,94}{4,18 \cdot 5} = 1,579 \frac{kg}{s} \quad (173)$$

Volumni protok vode:

$$q_{v,w} = \frac{q_{m,RT}}{\rho_{RT}} = \frac{1,579}{991,2} = 0,0016 \frac{m^3}{s} \quad (174)$$

Pretpostavljena brzina strujanja:

$$w_{w,pretp.} = 0,8 \frac{m}{s} \quad (175)$$

Potrebni unutarnji promjer cijevi:

$$d_{u,potr.} = \sqrt{\frac{4 \cdot q_{v,w}}{w_{w,pretp.} \cdot \pi}} = \sqrt{\frac{4 \cdot 0,0016}{0,8 \cdot \pi}} = 0,0504 m \quad (176)$$

Odabrana je čelična cijev DN50 ($\Phi 60,3 \times 2,9 \text{ mm}$).

Stvarna brzina strujanja:

$$w_{w,stv.} = \frac{q_{v,w}}{\frac{d_u^2 \cdot \pi}{4}} = \frac{0,0016}{\frac{0,0545^2 \cdot \pi}{4}} = 0,68 \quad [\text{m/s}] \quad (177)$$

7.6.2. Razdjelnik dizalice topline – kondenzator

Gustoća vode:

$$\rho_w = 991,2 \frac{kg}{m^3}$$

Maseni protok vode:

$$q_{m,w} = \frac{\Phi_k}{c_w \cdot \Delta \theta_w} = \frac{10,06}{4,18 \cdot 5} = 0,481 \frac{kg}{s} \quad (178)$$

Volumni protok vode:

$$q_{v,w} = \frac{q_{m,RT}}{\rho_{RT}} = \frac{0,481}{991,2} = 0,000486 \frac{m^3}{s} \quad (179)$$

Pretpostavljena brzina strujanja:

$$w_{w,pretp.} = 0,8 \frac{m}{s} \quad (180)$$

Potrebni unutarnji promjer cijevi:

$$d_{u,potr.} = \sqrt{\frac{4 \cdot q_{v,w}}{w_{w,pretp.} \cdot \pi}} = \sqrt{\frac{4 \cdot 0,000486}{0,8 \cdot \pi}} = 0,0278 m \quad (181)$$

Odabrana je čelična cijev DN25 ($\Phi 33,7 \times 2,6 \text{mm}$).

Stvarna brzina strujanja:

$$w_{w,stv.} = \frac{q_{v,w}}{\frac{d_u^2 \cdot \pi}{4}} = \frac{0,000486}{\frac{0,0285^2 \cdot \pi}{4}} = 0,761 \frac{m}{s} \quad (182)$$

7.6.3. Razdjelnik dizalice topline –apsorber

Gustoća vode:

$$\rho_w = 991,2 \frac{kg}{m^3}$$

Maseni protok vode:

$$q_{m,w} = \frac{\Phi_{aps}}{c_w \cdot \Delta \theta_w} = \frac{22,94}{4,18 \cdot 5} = 1,098 \frac{kg}{s} \quad (183)$$

Volumni protok vode:

$$q_{v,w} = \frac{q_{m,RT}}{\rho_{RT}} = \frac{1,098}{991,2} = 0,001107 \frac{m^3}{s} \quad (184)$$

Pretpostavljena brzina strujanja:

$$w_{w,pretp.} = 0,8 \frac{m}{s} \quad (185)$$

Potrebni unutarnji promjer cijevi:

$$d_{u,potr.} = \sqrt{\frac{4 \cdot q_{v,w}}{w_{w,pretp.} \cdot \pi}} = \sqrt{\frac{4 \cdot 0,001107}{0,8 \cdot \pi}} = 0,042 \text{ m} \quad (186)$$

Odabrana je čelična cijev DN40 (Φ44,5x2,6mm).

Stvarna brzina strujanja:

$$w_{w,stv.} = \frac{q_{v,w}}{\frac{d_u^2 \cdot \pi}{4}} = \frac{0,001107}{\frac{0,0393^2 \cdot \pi}{4}} = 0,913 \frac{m}{s} \quad (187)$$

7.7. Cirkulacijska pumpa ogrjevne vode

Ukupni pad tlaka u cjevovodu sastoji se od:

- pada tlaka uslijed trenja:

$$\Delta p_{tr} = \lambda \cdot \frac{L}{D} \cdot \frac{\rho \cdot w^2}{2} \quad [\text{Pa}] \quad (188)$$

- lokalnog pada tlaka:

$$\Delta p_{lok} = \xi \cdot \frac{\rho \cdot w^2}{2} \quad [\text{Pa}] \quad (189)$$

Ukupni pad tlaka u cjevovodu može se pisati kao:

$$\Delta p_c = \left(\sum \lambda \cdot \frac{L}{D} + \sum \xi \right) \cdot \frac{\rho \cdot w^2}{2} = \sum RL + \sum Z \quad [\text{Pa}] \quad (190)$$

Pretpostavljen je koeficijent trenja od $\lambda = 0,02$.

U tablici 17. prikazan je proračun pada tlaka u cjevovodu ogrjevne vode.

Tablica 17. Proračun pada tlaka u cjevovodu ogrjevne vode

| Toplinski učinak [kW] | Maseni protok [kg/s] | Duljina [m] | Promjer cijevi [m] | Brzina u cijevima [m/s] | R [Pa/m] | L*R [Pa] | $\Sigma \xi$ | Z [Pa] | L*R+Z [Pa] |
|-----------------------|----------------------|-------------|--------------------|-------------------------|----------|----------|--------------|--------|-------------|
| 33 | 1,579 | 6 | 0,0512 | 0,774 | 116 | 969 | 21 | 6235 | 6931 |

Izračunati pad tlaka u kondenzatoru iznosi $\Delta p_{kond} = 2390 \text{ Pa}$.

Pretpostavljen je pad tlaka u apsorberu od $\Delta p_{aps} = 10000 \text{ Pa}$.

Ukupni pad tlaka iznosi:

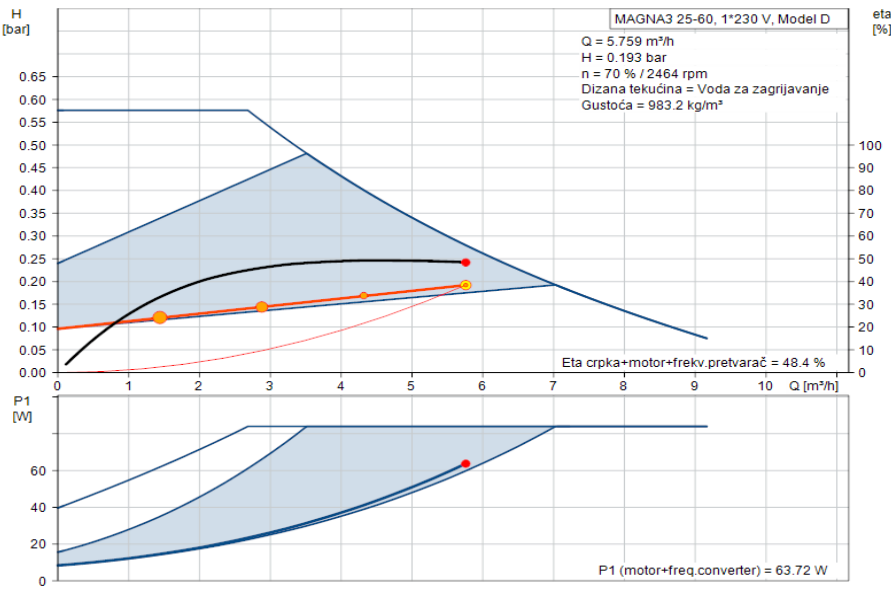
$$\Delta p = \Delta p_c + \Delta p_{kond} + \Delta p_{aps} \quad [\text{Pa}] \quad (191)$$

$$\Delta p = 6931 + 2390 + 10000 = 19321 \text{ Pa}$$

Odarvana je cirkulacijska pumpa proizvođača „Grundfos“, tip „MAGNA3 25-60“ [20].



Slika 39. Cirkulacijska pumpa „Grundfos MAGNA3 25-60“ [20]



Slika 40. Karakteristika cirkulacijske pumpe "Grundfos MAGNA3 25-60" [20]

7.8. Solucijska pumpa

Potrebna visina dobave solucijske pumpe iznosi:

$$h = \frac{\Delta p}{\rho \cdot g} = \frac{(19,3 - 3,15) \cdot 10^5}{823,1 \cdot 9,81} = 200,01 \text{ m} \quad (192)$$

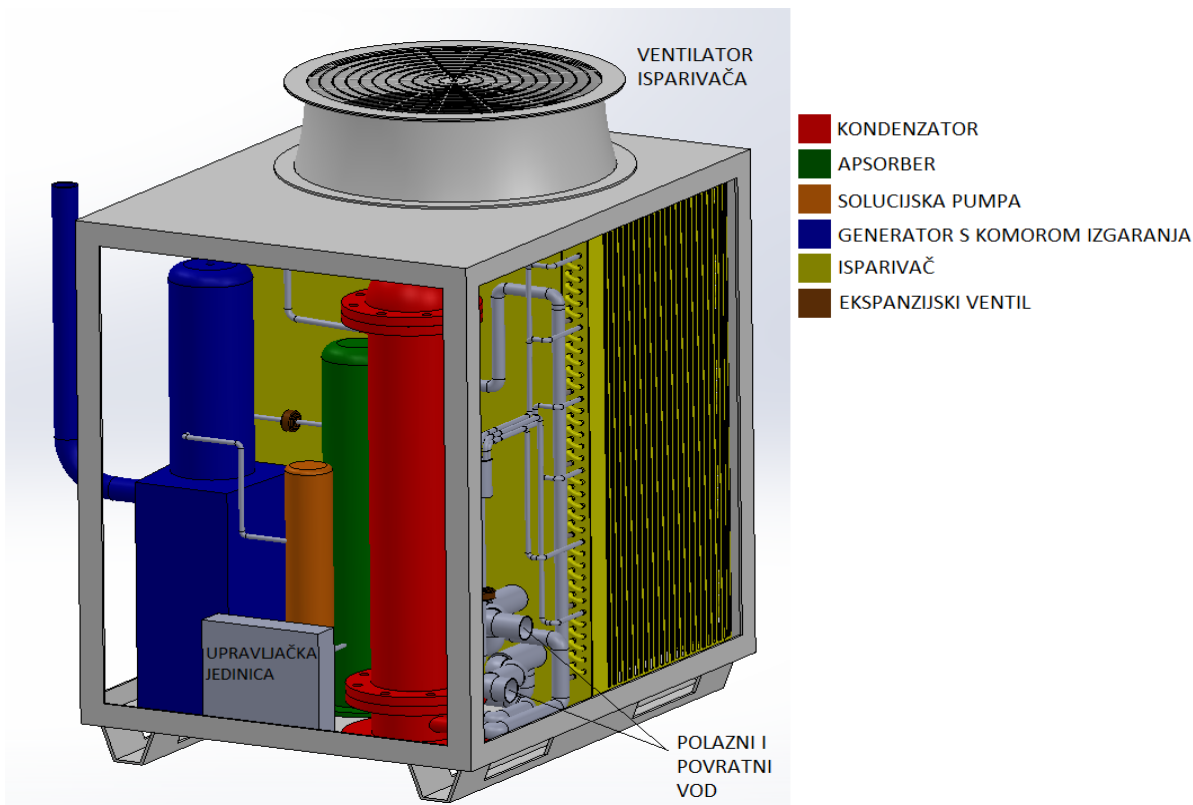
U apsorpcijskim dizalicama topline za otopinu amonijaka i vode obično se koriste membranske pumpe. U ovom slučaju odabrana je višestupanjska vertikalna pumpa za vodu. Odabrana je pumpa proizvođača „Lowara“ serija „1SV“, maksimalne visine dobave vode 220 m [21]. Pumpa je izrađena od materijala otpornog na otopinu amonijaka i vode.



Slika 41. Solucijska pumpa "Lowara 1SV" [21]

7.9. Opis sustava

Na slici ispod prikazan je 3D prikaz dimenzionirane dizalice topline.



Slika 42. 3D prikaz sklopa dizalice topline (računalni program „SolidWorks“)

Apsorpcijska dizalica topline zrak-voda kompaktne je izvedbe, dimenzija (V/Š/D) 1371/840/1185 mm. Toplinski učin u radnoj točki A2/W45 iznosi 33 kW. Svi cjevovodi izrađeni su od čeličnih cijevi.

Isparivač je lamelnog tipa, ukupne duljine 1637 mm. Zbog kompaktne izvedbe isparivač je izведен od tri sekcije, od kojih dvije duljine 534 mm i jedna duljine 570 mm, međusobno spojene cijevnim lukovima. Na početku i kraju svake sekcije nalazi se čelična cijevna stijena debljine 5 mm. Oko isparivača nalazi se zaštitna rešetka. Dovod zraka je odozgo, a između isparivača i ostalih komponenti nalazi se pregrada, kako bi zrak strujao samo prema isparivaču. Radna tvar nakon prigušenja putem razdjelnika odlazi u cijevi isparivača.

Kondenzator je izведен kao vertikalni izmjenjivač s cijevima u plaštu („shell and tube“), a detalji konstrukcije vidljivi su u poglavljju 7.1.

Budući da nije proveden proračun svih komponenti, kao npr. generatora i apsorbera, prilikom konstruiranja korištene su okvirne dimenzije komponenti na temelju sličnih uređaja ili iskustveni podaci. Primjerice, za apsorber se u literaturi navodi podatak o obujmu u ovisnosti o toplinskom učinu, a te vrijednosti kreću se od $75\text{-}200 \text{ kW/m}^3$. Ovdje je izведен apsorber obujma cca. $0,32 \text{ m}^3$.

Kao što je već rečeno, apsorber i kondenzator spojeni su paralelno, tj. tok ogrjevne vode se dijeli prema apsorberu i prema kondenzatoru.

Izvana je konstrukcija zatvorena limenom oplatom, do isparivača, koja nije prikazana na datom modelu.

8. TEHNOEKONOMSKA I ENERGIJSKA ANALIZA PRIMJENE KOMPRESIJSKE I APSORPCIJSKE DIZALICE TOPLINE U REŽIMU GRIJANJA I HLAĐENJA

Godišnja potrebna toplinska energija za grijanje i hlađenje, izračunate u poglavlju 6., iznose $Q_{H,nd} = 40480,89 \text{ kWh/god}$ i $Q_{c,nd} = 5417,38 \text{ kWh/god}$.

Budući da se dizalica topline koristi i za pokrivanje potreba PTV-a, u računalnom programu „KI Expert Plus“ izračunata je godišnja potrebna toplinska energija za pripremu PTV-a koja iznosi 2825 kWh i to:

- 1888,50 kWh – u sezoni grijanja
- 936,5 kWh – izvan sezone grijanja

Potreba za PTV-om je ravnomjerno raspoređena po mjesecima.

Sezona grijanja traje od listopada do travnja, a sezona hlađenja od lipnja do rujna. Svibanj je prijelazni mjesec.

Pomoću već spomenutog računalnog programa „KI Expert Plus“ moguće je izračunati ukupnu godišnju potrošnju energije kompresijske dizalice topline, budući da unutar programa postoji definirana takva konfiguracija termotehničkog sustava. Dobiven je iznos godišnje električne energije za pogon dizalice topline u sezoni grijanja od $14198,19 \text{ kWh/god}$ uz sezonsku učinkovitost dizalice topline od $SPF = 3,16$. U sezoni hlađenja ukupna godišnja električna energija za pogon dizalice topline iznosi $2029,62 \text{ kWh/god}$.

| Mjesec | Naziv | $Q_{H,gen,out}$ (Sobni) [kWh] | $Q_{H,gen,out}$ (GVIK) [kWh] | $Q_{H,gen,out}$ [kWh] | $Q_{W,gen,out}$ [kWh] | $Q_{HW,gen,out}$ [kWh] |
|-----------------|--------------------------------|-------------------------------|------------------------------|-----------------------|-----------------------|------------------------|
| Siječanj | Podsustav proizvodnje grijanja | 9484,81 | 0,00 | 9484,81 | 252,81 | 9737,62 |
| Veljača | Podsustav proizvodnje grijanja | 7309,86 | 0,00 | 7309,86 | 228,35 | 7538,21 |
| Ožujak | Podsustav proizvodnje grijanja | 5397,55 | 0,00 | 5397,55 | 252,81 | 5650,37 |
| Travanj | Podsustav proizvodnje grijanja | 2468,30 | 0,00 | 2468,30 | 244,66 | 2712,96 |
| Svibanj | Podsustav proizvodnje grijanja | 237,94 | 0,00 | 237,94 | 252,81 | 490,76 |
| Lipanj | Podsustav proizvodnje grijanja | 0,00 | 0,00 | 0,00 | 244,66 | 244,66 |
| Srpanj | Podsustav proizvodnje grijanja | 0,00 | 0,00 | 0,00 | 252,81 | 252,81 |
| Kolovoz | Podsustav proizvodnje grijanja | 0,00 | 0,00 | 0,00 | 252,81 | 252,81 |
| Rujan | Podsustav proizvodnje grijanja | 0,00 | 0,00 | 0,00 | 244,66 | 244,66 |
| Listopad | Podsustav proizvodnje grijanja | 3165,95 | 0,00 | 3165,95 | 252,81 | 3418,76 |
| Studen | Podsustav proizvodnje grijanja | 6135,96 | 0,00 | 6135,96 | 244,66 | 6380,61 |
| Prosinac | Podsustav proizvodnje grijanja | 9433,84 | 0,00 | 9433,84 | 252,81 | 9686,65 |
| UKUPNO = | | 43634,21 | 0,00 | 43634,21 | 2976,69 | 46610,90 |

Slika 43. Toplinska energija na izlazu iz podsustava proizvodnje bez uračunatih gubitaka

| $E_{H,hp,in}$ [kWh] | $E_{W,hp,in}$ [kWh] | $E_{HW,hp,in}$ [kWh] |
|---------------------|---------------------|----------------------|
| 13013,10 | 1185,09 | 14198,19 |

Slika 44. Potrebna električna energija za pogon kompresijske dizalice topline u sezoni grijanja

| $SPF_{HW,hp}$ [kWh] | $Q_{HW,renew,in}$ [kWh] |
|---------------------|-------------------------|
| 3,16 | 31825,32 |

Slika 45. Sezonska učinkovitost kompresijske dizalice topline i proizvedena obnovljiva energija

Za proračun godišnje potrošnje energije apsorpcijske dizalice topline korišteni su podaci o toplinskem učinu i djelotvornosti preuzeti iz [10], a koji su prikazani u poglavlju 5.2.

Jednadžba koja opisuje ovisnost toplinskog učina o temperaturi vanjskog zraka, a korištena pri analizi u sezoni grijanja glasi [10]:

$$\Phi(T) = 33,576 + 0,6164T - 0,0043T^2 - 0,001T^3 + 2 \cdot 10^{-6} \cdot T^4 + 8 \cdot 10^{-7} \cdot T^5 \quad [\text{kW}] \quad (193)$$

gdje je T vanjska temperatura u °C.

Toplinski učin za sezonu hlađenja:

$$\Phi(T) = 21,676 - 0,4199T + 0,02T^2 - 0,0001T^3 \quad [\text{kW}] \quad (194)$$

Djelotvornost korištenja plina u grijanju (Gas Utilization Efficiency - GUE) u ovisnosti o vanjskoj temperaturi prikazana je jednadžbom:

$$GUE(T) = 1,3338 + 0,0242T - 0,0002T^2 - 4 \cdot 10^{-5} \cdot T^3 + 10^{-7} \cdot T^4 + 3 \cdot 10^{-8} \cdot T^5 \quad [-] \quad (195)$$

Za sezonu hlađenja izraz ima oblik:

$$GUE(T) = 0,7891 - 0,0075T + 0,0005T^2 - 10^{-5} \cdot T^3 \quad [-] \quad (196)$$

Vrijednosti su računate za srednje mjesecne temperature zraka prikazane u tablici 9.

Nazivna električna snaga odabrane apsorpcijske dizalice topline iznosi 0,9 kW [10], a potrošnja električne energije prepostavljena je kao fiksna te je modelirana na temelju broja sati rada u pojedinom mjesecu.

Za izračun troškova električne energije korišten je informativni izračun dostupan na [22]. Korišten je tarifni model „bijeli“ s udjelom potrošnje po visokoj tarifi od 80%, odnosno 20% po niskoj tarifi.

Tablica 18. Cijena električne energije

| Energija | |
|----------------|---------------|
| VT | 0,49 HRK/kWh |
| NT | 0,24 HRK/kWh |
| Prijenos | |
| VT | 0,11 HRK/kWh |
| NT | 0,05 HRK/kWh |
| Distribucija | |
| VT | 0,24 HRK/kWh |
| NT | 0,12 HRK/kWh |
| Opskrba | 7,40 HRK/mj |
| Mjerno mjesto | 10,00 HRK/mj |
| Naknada za OIE | 0,105 HRK/kWh |
| PDV | 13% |

Za troškove plina korišten informativni izračun prema [23]. Prema godišnjoj potrošnji plina kućanstvo spada pod tarfini model „TM3“ (raspon godišnje potrošnje plina 25001-50000 kWh).

Tablica 19. Cijena plina

| | |
|-------------------------|----------------|
| Cijena plina za TM3 | 0,2323 HRK/kWh |
| Fiksna mjesecna naknada | 25,00 HRK/mj |
| PDV | 25% |

Izračunate vrijednosti godišnje potrošnje energije po mjesecima prikazane su u sljedećim tablicama.

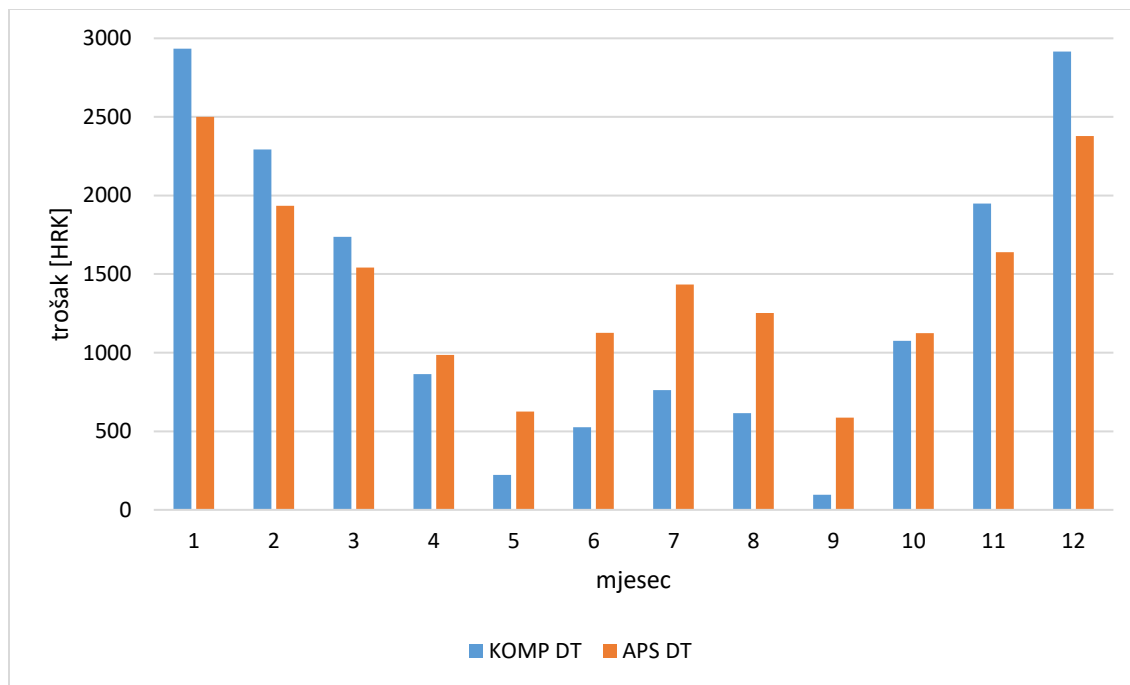
Tablica 20. Godišnja potrošnja energije kompresijske dizalice topline po mjesecima

| Mjesec | Potrebna toplinska energija za grijanje i PTV [kWh] | Potrošnja električne energije [kWh] | Trošak električne energije [HRK] |
|---------------|---|-------------------------------------|----------------------------------|
| siječanj | 8961 | 3003 | 2934 |
| veljača | 6898 | 2342 | 2293 |
| ožujak | 5280 | 1769 | 1737 |
| travanj | 2591 | 868 | 863 |
| svibanj | 628 | 208 | 221 |
| lipanj | 1631 | 521 | 525 |
| srpanj | 2391 | 764 | 761 |
| kolovoz | 1922 | 614 | 616 |
| rujan | 248 | 79 | 96 |
| listopad | 3246 | 1088 | 1076 |
| stудени | 5932 | 1988 | 1949 |
| prosinac | 8905 | 2984 | 2916 |
| Ukupno | 48723 | 16228 | 15988 |

Tablica 21. Godišnja potrošnja energije plinske apsorpcijske dizalice topline po mjesecima

| Mjesec | Potrebna toplinska energija za grijanje/hlađenje i PTV [kWh] | GUE | Potrošnja električne energije [kWh] | Potrošnja plina [kWh] | Trošak električne energije [HRK] | Trošak plina [HRK] | Ukupni trošak [HRK] |
|---------------|--|----------|-------------------------------------|-----------------------|----------------------------------|--------------------|---------------------|
| siječanj | 8961 | 1,305 | 474 | 6869 | 480 | 2021 | 2500 |
| veljača | 6899 | 1,388 | 428 | 5035 | 436 | 1498 | 1934 |
| ožujak | 5280 | 1,487 | 474 | 3551 | 480 | 1062 | 1542 |
| travanj | 2591 | 1,539 | 459 | 1683 | 465 | 520 | 985 |
| svibanj | 628 | 1,542 | 474 | 407 | 480 | 146 | 625 |
| lipanj | 1631 | 0,752 | 459 | 2169 | 465 | 661 | 1126 |
| srpanj | 2391 | 0,752 | 474 | 3177 | 480 | 954 | 1433 |
| kolovoz | 1922 | 0,752 | 474 | 2555 | 480 | 773 | 1253 |
| rujan | 248 | 0,751 | 459 | 330 | 465 | 121 | 587 |
| listopad | 3246 | 1,539 | 474 | 2109 | 480 | 644 | 1123 |
| stудени | 5932 | 1,507 | 459 | 3935 | 465 | 1174 | 1639 |
| prosinac | 8905 | 1,381 | 474 | 6448 | 480 | 1900 | 2379 |
| Ukupno | 48723 | - | 5585 | 38269 | 5654 | 11474 | 17128 |

Ukupni godišnji pogonski troškovi apsorpcijske dizalice topline za oko 7% su viši u odnosu na pogonske troškove kompresijske dizalice.



Slika 46. Usporedba godišnjih pogonskih troškova kompresijske i apsorpcijske dizalice topline

Iz gornjeg dijagrama vidljivo je kako apsorpcijska dizalica topline ima niže pogonske troškove u sezoni grijanja (oko 10%, uključujući prijelazno razdoblje). Međutim, u sezoni hlađenja troškovi rada kompresijske dizalice daleko su niži (preko 50%).

U nastavku su prikazani troškovi nabave ova dva tipa dizalice kao i ostali prateći troškovi koji su uzeti jednaki za oba tipa.

Tablica 22. Troškovnik plinske apsorpcijske dizalice topline "Robur GAHP-AR" [24]

| Opis | Cijena [HRK] |
|---|--------------|
| Plinska apsorpcijska dizalica topline Robur GAHP-AR, nazivnog učina grijanja 35,3 kW | 88000,00 |
| Antivibracijske podloške | 850,00 |
| Navojna kuglasta slavina DN(32) (5/4") | 750,00 |
| Okrugli bimetalni termometar za Φ 80 s navojnim priključkom 1/2" sa stražnje strane, komplet s kolčakom za ugradnju u cjevovod te spojnim i brtvenim materijalom. 0 - 120 °C | 58,00 |
| Automatski odzračni lončić | 3300,00 |
| Odvajač nečistoća | 750,00 |
| Mikroprocesorski daljinski upravljač | 2950,00 |
| Kompenzator cijevni fleksibilni, za vodu, navojni s holenderima | 500,00 |

| | |
|--|------------------|
| Slavina za punjenje i pražnjenje s kapom, lancem i nastavkom za gumeno crijevo | 180,00 |
| Navojni nepovratni ventil sa zapornim ventilom nazivnog tlaka PN16 | 630,00 |
| Vanjski temperaturni osjetnik | 200,00 |
| Manometar za vodu komplet s cijevi, s trokrakom manometarskom kuglastom slavinom DN 15 (R 1/2") Φ 80, komplet s kolčakom te spojnim i brtvenim materijalom za ugradnju na instalaciju tople/hladne vode, 0 – 6 bar | 360,00 |
| Troškovi puštanja u rad | 1750,00 |
| Ukupni troškovi | 100278,00 |

Tablica 23. Troškovnik reverzibilne dizalice topline zrak/voda "Viessmann ENERGICAL 27" [25]

| Opis | Cijena [HRK] |
|---|------------------|
| Reverzibilna dizalica topline zrak/voda za grijanje i hlađenje Viessman ENERGICAL INVERTER 27 | 97865,20 |
| Antivibracijski set od gume – set od 4 antivibracijske nožice na koje se monitira jedinica | 912,00 |
| Zaštita od smrzavanja | 1330,00 |
| Preklopni troputni ventil za PTV | 4233,20 |
| Osjetnik PTV-a | 418,00 |
| Daljinski digitalni upravljač | 1626,40 |
| Ukupni troškovi | 106384,80 |

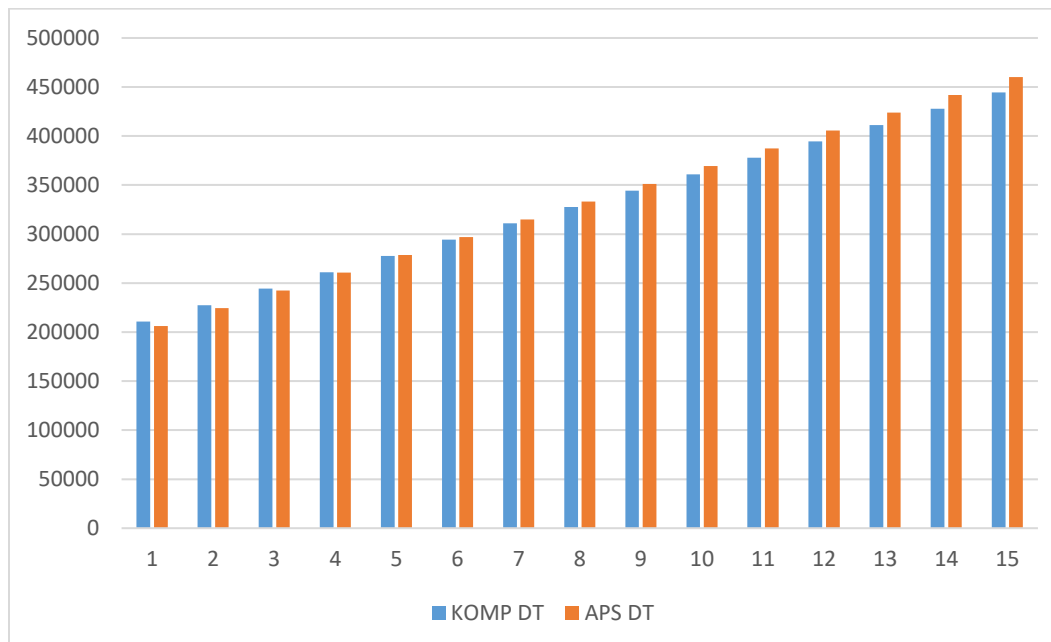
Tablica 24. Ostali troškovi

| Opis | Cijena [HRK] |
|---|--------------|
| Ventilokonvektori (14 kom) | 42000 |
| Troškovi cijevnog razvoda | 9000 |
| Troškovi armature (cirkulacijske pumpe, ventili) | 10000 |
| Akumulacijski spremnici | 6800 |
| Instalaterski radovi | 20000 |
| Ukupno | 87800 |

Tablica 25. Usporedba troškova kompresijske i apsorpcijske dizalice topline

| | Kompresijska dizalica topline | Plinska apsorcijska dizalica topline |
|---|----------------------------------|---|
| Investicijski troškovi [HRK] | 194185 | 188078 |
| Pogonski troškovi el. en. za grijanje [HRK] | 13990 | 3764 |
| Pogonski troškovi plina za grijanje [HRK] | 0 | 8964 |
| Pogonski troškovi el. en. za hlađenje [HRK] | 1998 | 1890 |
| Pogonski troškovi plina za hlađenje [HRK] | 0 | 2510 |
| Ukupni pogonski troškovi [HRK] | 15988 | 17128 |
| Troškovi održavanja [HRK] | 700 | 1000 |
| Ukupni troškovi u prvoj godini [HRK] | 210873 | 206206 |
| Ukupni troškovi nakon 15 godina [HRK] | 444505 | 459998 |

Uz razliku investicijskih troškova od oko 5% u korist apsorcijske i pogonskih troškova od oko 7% u korist kompresijske dizalice topline, nakon 15 godina ukupni troškovi kompresijske dizalice su oko 3% niži.

**Slika 47.** Usporedba troškova kompresijske i apsorcijske dizalice topline za razdoblje od 15 godina

9. POPIS MATERIJALA

| Redni br. | Naziv | Jed. mjera | Količina |
|-----------|--|------------|----------|
| 1 | Kondenzator Kondenzator otopine NH ₃ /H ₂ O. Izmjenjivač s cijevima u plaštu („shell and tube“), vertikalne izvedbe, 4 prolaza na strani vode. Proračunska temperatura kondenzacije: 48°C. Proračunska temperatura isparavanja: -8°C. Temperaturni režim vode: 40/45 °C. Plašt duljine 811 mm, promjera DN150x4,5. 88 cijevi promjera DN 6. Prikљučci za vodu DN50. | kom | 1 |
| 2 | Isparivač Isparivač otopine NH ₃ /H ₂ O. Lamelni izmjenjivač, promjer cijevi DN 6, 2 reda cijevi, 36 cijevi u redu, 6 ulaznih cijevi. Izveden iz tri međusobno spojene sekcije, od kojih dvije duljine 534 mm i jedna duljine 570 mm. Proračunska temperatura kondenzacije: 48°C. Proračunska temperatura isparavanja: -8°C. Proračunska temperatura zraka: 2/-1 °C. | kom | 1 |
| 3 | Generator Proračunski toplinski učin: 23,35 kW. Proračunska temperatura generatora: 150°C. | kom | 1 |
| 4 | Apsorber Toplinski učin apsorbera: 22,94 kW. Proračunska temperatura apsorbera: 46°C Proračunska temperatura kondenzacije: 48°C. Proračunska temperatura isparavanja: -8°C. Temperaturni režim vode: 40/45°C | kom | 1 |
| 5 | Solucijska pumpa Pumpa otopine NH ₃ /H ₂ O. Zahtijevana visina dobave: 200m. Vertikalna višestupanjska pumpa za vodu. Proizvođač: „Lowara“, tip: 1SV | kom | 1 |
| 6 | VPNT Ventil s plovkom na niskotlačnoj strani | kom | 2 |
| 7 | Spremnik potrošne tople vode Proizvođač: „Centrometal“ Tip: TB120 Zapremina: 120 l | kom | 1 |
| 8 | Spremnik ogrjevne vode Proizvođač: „Centrometal“, tip: TB120 Zapremina: 120 l | kom | 1 |
| 9 | Cirkulacijska pumpa ogrjevne vode Zahtijevana visina dobave: Proizvođač: „Grundfos“, tip: MAGNA3 25-60 | kom | 1 |
| 10 | Troputni ventil | kom | 2 |
| 11 | Razdjelnik ogrjevne vode | kom | 2 |

| | | | |
|----|---|---------|---|
| 12 | Čelična cijev Za cjevovod od spremnika ogrjevne vode do dizalice topline. DN 50 | m | 6 |
| 13 | Čelična cijev Za cjevovod ogrjevne vode prema apsorberu. DN 40 | m | 1 |
| 14 | Čelična cijev Za cjevovod ogrjevne vode prema kondenzatoru. DN 25 | m | 1 |
| 15 | Čelična cijev Za cjevovod od isparivača prema apsorberu. DN 20 | m | 2 |
| 16 | Čelična cijev Za cjevovod od generatora prema kondenzatoru. DN 8 | m | 1 |
| 17 | Čelična cijev Za cjevovode: - od generatora prema apsorberu - od apsorbera prema generatoru DN 10 | m | 3 |
| 18 | Čelična cijev Za cjevovod od kondenzatora prema isparivaču. DN 6 | m | 2 |
| 18 | Razdjelnik radne tvari Razdjelnik otopine NH ₃ /H ₂ O. Ugrađuje se prije isparivača. | kom | 1 |
| 19 | Ventilator Ventilator isparivača. Zahtijevana dobava zraka: 1,86 m ³ /s. Proračunski pad tlaka: 8,64 Pa. | kom | 1 |
| 20 | Automatika upravljački moduli, senzori, termostati | komplet | 1 |

10. ZAKLJUČAK

Iako su kompresijske dizalice topline u široj primjeni nego apsorpcijske, posebice kad se govori o manjim objektima kao što su obiteljske kuće, ovim radom se pokazalo kako su apsorpcijski sustavi s ekonomskog gledišta podjednako isplativi, posebice kad govorimo o sezoni grijanja, gdje je analizom dobivena ušteda od oko 10% u korist apsorpcijske dizalice. Međutim, u sezoni hlađenja kompresijska dizalica topline zrak-voda ima znatno niže pogonske troškove. Potrošnja električne energija za pogon apsorpcijske dizalice topline u analizi je pretpostavljena, a dobiven je oko 3 puta manji iznos potrošnje nego je to slučaj kod kompresijske dizalice. U literaturi se navodi kako je razlika u potrošnji i do 10 puta, stoga bi u stvarnosti ušteda apsorpcijskim sustavom mogla biti još veća.

Budući da predmetna obiteljska kuća nema adekvatnu toplinsku izolaciju, prije ugradnje bilo kojeg od dva sustava (kompresijska ili apsorpcijska dizalica topline) bilo bi poželjno najprije izvesti kvalitetnu toplinsku izolaciju objekta.

Također, prije implementacije jednog od sustava bilo bi zanimljivo napraviti usporedbu s nekim od konvencionalnih načina grijanja.

Literatura

- [1] V. Soldo i L. Boban, *Dizalice topline s OIE*, Zagreb: FSB, 2020.
- [2] K. E. Herold, R. Radermacher i S. A. Klein, *Absorption Chillers and Heat Pumps*, CRC Press, 1996.
- [3] V. Burek (Tehnokom d.o.o.), »Povećanje energetske učinkovitosti primjenom plinskih apsorpcijskih dizalica topline«.
- [4] »Sustavi grijanja u zgradarstvu - metoda proračuna toplinskog opterećenja prema EN 12831,« FSB - podloge za predavanja.
- [5] M. Andrassy, I. Balen, I. Boras, D. Dović, Ž. H. Borković, K. Lenić, D. Lončar, B. Pavković, V. Soldo, B. Sučić i S. Švaić, *Priručnik za energetsko certificiranje zgrada*, Zagreb: Program Ujedinjenih naroda za razvoj - UNDP, 2010.
- [6] VDI 2078: Berechnung der Kühllast klimatisierter Räume, Dusseldorf: Verein Deutscher Ingenieure, 1996.
- [7] »Proračun dobitaka topline - ljeto,« FSB - podloge za predavanja.
- [8] Reknagel, Špregner, Šramek i Čeperković, *Grejanje i klimatizacija*, Vrnjačka Banja: Interklima, 2004.
- [9] D. E. M. Maradiaga, *Modelling and Data Validation for the Energy Analysis of Absorption Refrigeration Systems*, Tarragona: Doctoral Thesis, Universitat Rovira, Department of Mechanical Engineering, 2013.
- [10] »Dokumentacija Robur GAHP-AR (mariterm-servis.hr),« [Mrežno].
http://www.mariterm-servis.hr/Administration/_Upload/Documents/GAHP-AR%20hr%20MODIFICIRANA.pdf.

- [11] V. Soldo, S. Novak i I. Horvat, *Algoritam za proračun potrebne energije za grijanje i hlađenje prostora zgrade prema HRN EN ISO 13790*, Zagreb, 2017.
- [12] R. Ciconkov, »6. Condensers,« u *Refrigeration Solved Examples*.
- [13] Thermophysical Properties of NH₃+H₂O Solutions for the Industrial Design of Absorption Refrigeration Equipment, Zurich: M. Conde Engineering, 2004.
- [14] B. Halasz, A. Galović i I. Boras, Toplinske tablice, Zagreb: FSB, 2013.
- [15] »Peace Software,« [Mrežno].
https://www.peacesoftware.de/einigewerte/nh3_e.html.
- [16] R. Ciconkov, »7. Evaporators,« u *Refrigeration Solved Examples*.
- [17] »Psychrometric calculator,« [Mrežno].
<https://www.psychrometric-calculator.com/humidairweb.aspx>.
- [18] »Centrometal - akumulacijski spremnici,« [Mrežno].
<https://www.centrometal.hr/akumulacijski-spremnici/>.
- [19] »Centrometal - bojleri potrošne tople vode,« [Mrežno].
<https://www.centrometal.hr/portfolio/tb/>.
- [20] »Grundfos,« [Mrežno]. <https://www.grundfos.com/hr>.
- [21] »LOWARA a xylem brand,« [Mrežno]. <https://www.xylem.com/en-uk/brands/lowara/>.
- [22] »Informativni izračun - kućanstvo (el. energija),« [Mrežno].
<http://mojracun.hep.hr/kalkulator/>.
- [23] »Informator za kupce plina iz kategorije kućanstvo koji koriste opskrbu u obvezi javne usluge,« [Mrežno]. <https://www.hera.hr/hr/iplin/>.
- [24] *Troškovnik Robur GAHP-AR*, Tehnokom d.o.o..

[25] »Viessmann cjenik,« [Mrežno].

[https://www.termomedia.hr/images/katalozi/Viessmann_cjenik.pdf.](https://www.termomedia.hr/images/katalozi/Viessmann_cjenik.pdf)

Prilozi

- I. CD-R disk
- II. Tehnička dokumentacija
 - a. Hidraulička shema spajanja sustava
 - b. Dispozicijski crtež apsorpcijske dizalice topline